Кафедра гематологии, трансфузиологии, трансплантологии им.Б.В.Афанасьева

ПСПбГМУ им.академика И.П.Павлова

Острые лейкозы и МДС/МПЗ у детей

Детские болезни. Гематология детского возраста.

Вопрос 1: какое злокачественное заболевание занимает первое место в структуре детской онкологической заболеваемости у пациентов от 0 до 14 лет?

- Лимфомы
- Лейкозы
- Опухоли ЦНС
- Опухоли костей
- Рак желудка

предрасполагают к возникновению острого лейкоза у детей?

- Наследственные заболевания
- Отягощенный семейный анамнез
- Вредные факторы внешней среды
- Частые ОРВИ

Вопрос 3: жалобы, которые предъявляет ребенок с ОЛ?

- Слабость
- Боль в ногах
- Отсутствие жалоб
- Лихорадка
- Затруднение дыхания
- Кровоточивость

Вопрос 4: клинические проявления ОЛ, выявляемые при осмотре

- Высыпания на коже
- Увеличение л/у, селезенки, печени,
- Хрипы в легких
- Гиперплазия десен
- Увеличение яичек
- Отсутствие клинических проявлений

Вопрос 5: прогноз для жизни у детей с ОЛ



Эпидемиология

ОЛЛ

ОМЛ

Болезнь Ходжкина

Неходжкинские лимфомы

Опухоли ЦНС

Нейробластома

Ретинобластома

Нефробластома

Гепатобластома

Остеогенная саркома

Саркома Юинга

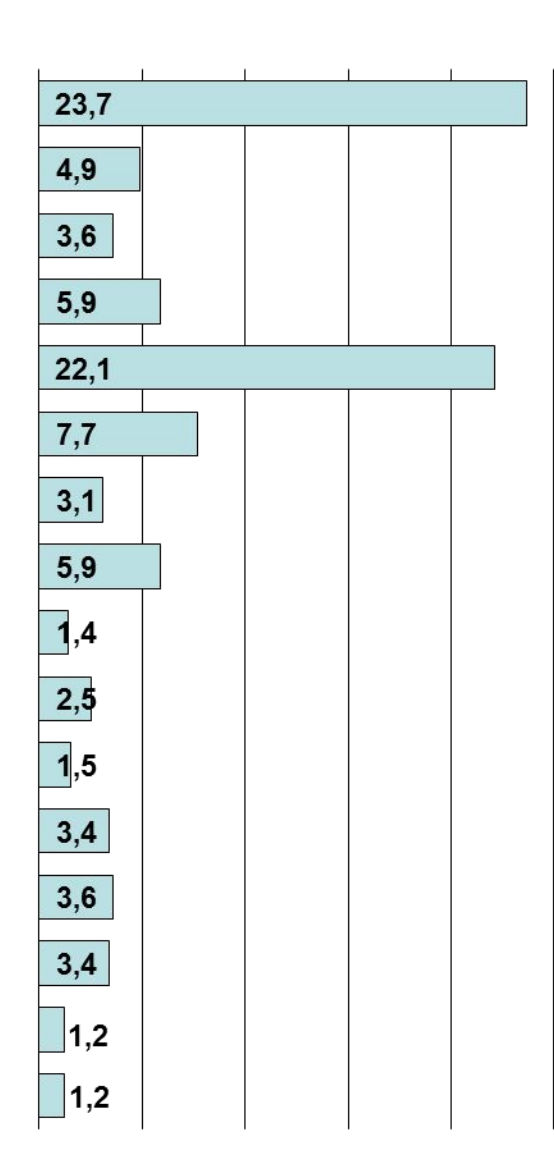
Рабдомиосаркома

Саркомы мягких тканей

ГКО

Рак щитовидной железы

Меланома



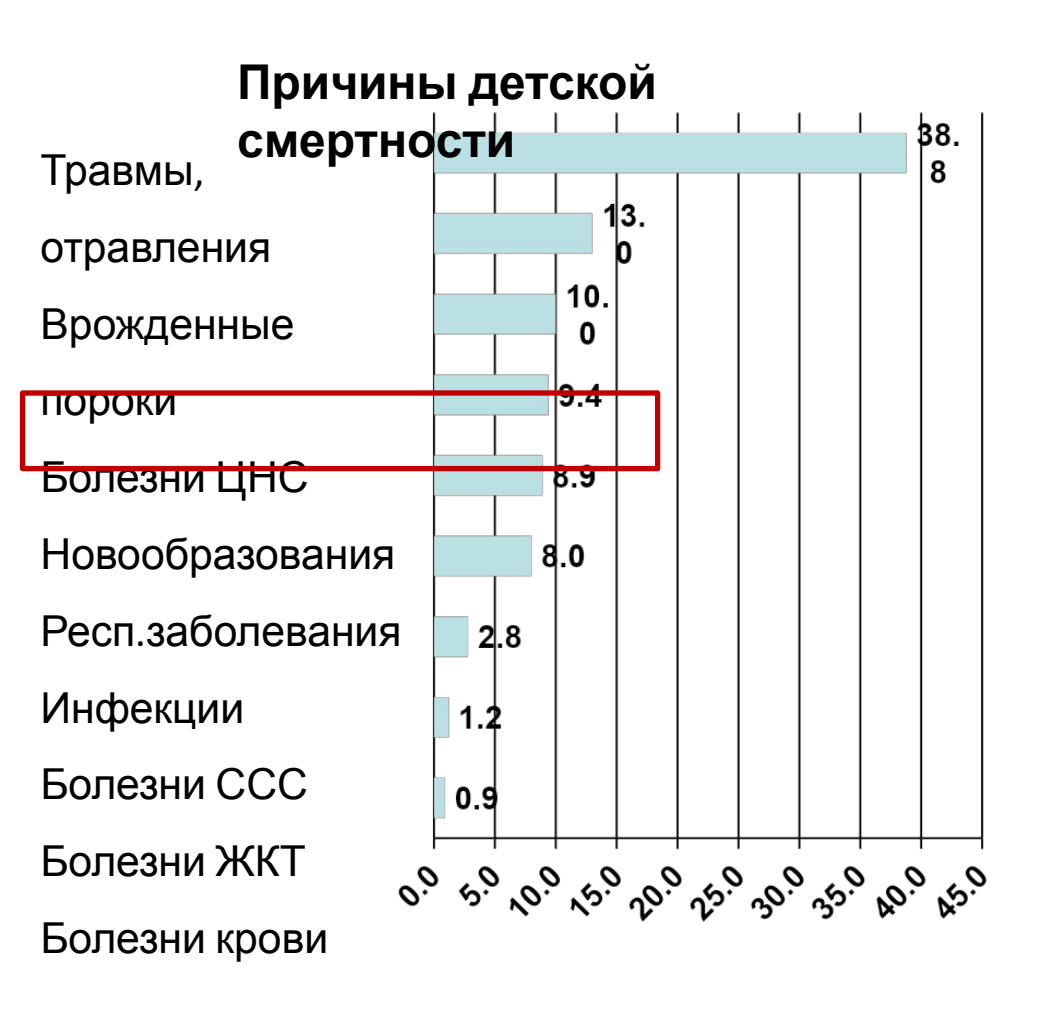


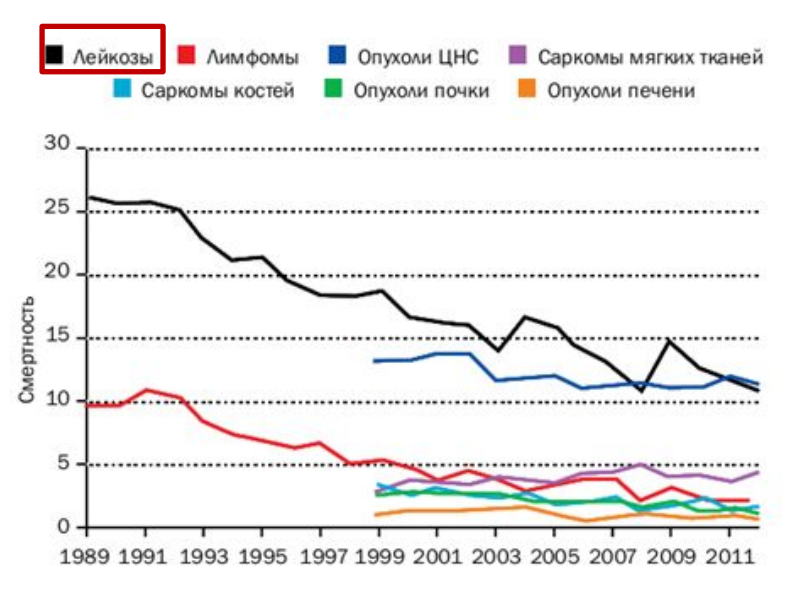
- Более 25% от всех опухолей
- 45-50 случаев на 1 млн. населения в год
- Пик заболеваемости в возрасте 2-5 лет
- Чаще болеют мальчики
- Тенденция к росту заболеваемости





Смертность





- Четвертая по частоте причина смерти у детей
- Острые лейкозы самая частая причина смерти от новообразования

Лейкозогенез (история изучения)

Генетические причины:

1896	Hartenstien Врожденный лейкоз у коров		
1931	Особенность наследования ОЛ мышей		
1937	Videbaek Семейные исследования		
1964	MacMahon and Levy Близнецовые		
	исследования		
1957	Krivit and Good Трисомия 21		
1960	Nowell and Hungerford Ph+ xpoмocoma		
1973	Rowley t9:22		

Инфекционные причины

1951 Gross Вирус, вызывающий

лейкоз у млекопитающих

1964 Epstein ЭБВ ассоциированная

лимфома

1967 Churchill Птичий вирус 1993 GreavesЭпидемиологические

доказательства

Радиационные причины:

1944 Curie Ученые

исследовавшие радиацию

1955 Японцы, выжившие после

атомной бомбардировки

1955 Simpson Лимфома и лейкоз

после облучения

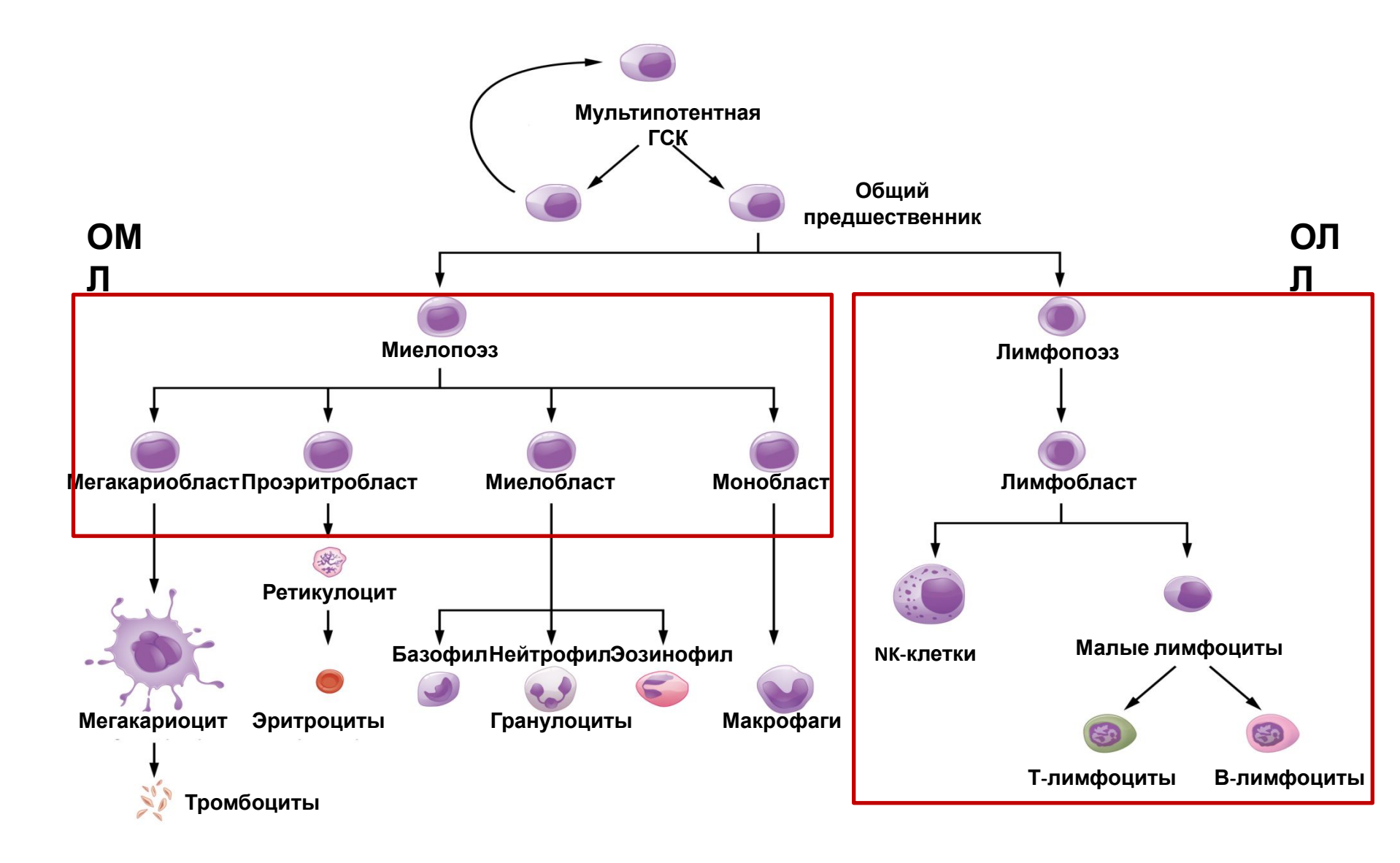
Факторы риска

- Генетические
- 1. Синдром Дауна (в 10-20 раз чаще, в 600 раз чаще развитие ОМЛ М7)
- 2. Анемия Фанкони
- 3. Нейрофиброматоз
- 4. Атаксия-телеангиоэктазия
- 5. Ли-Фраумени синдром
- 6. Полиморфизм ксенобиотических метаболических ферментов

Факторы риска

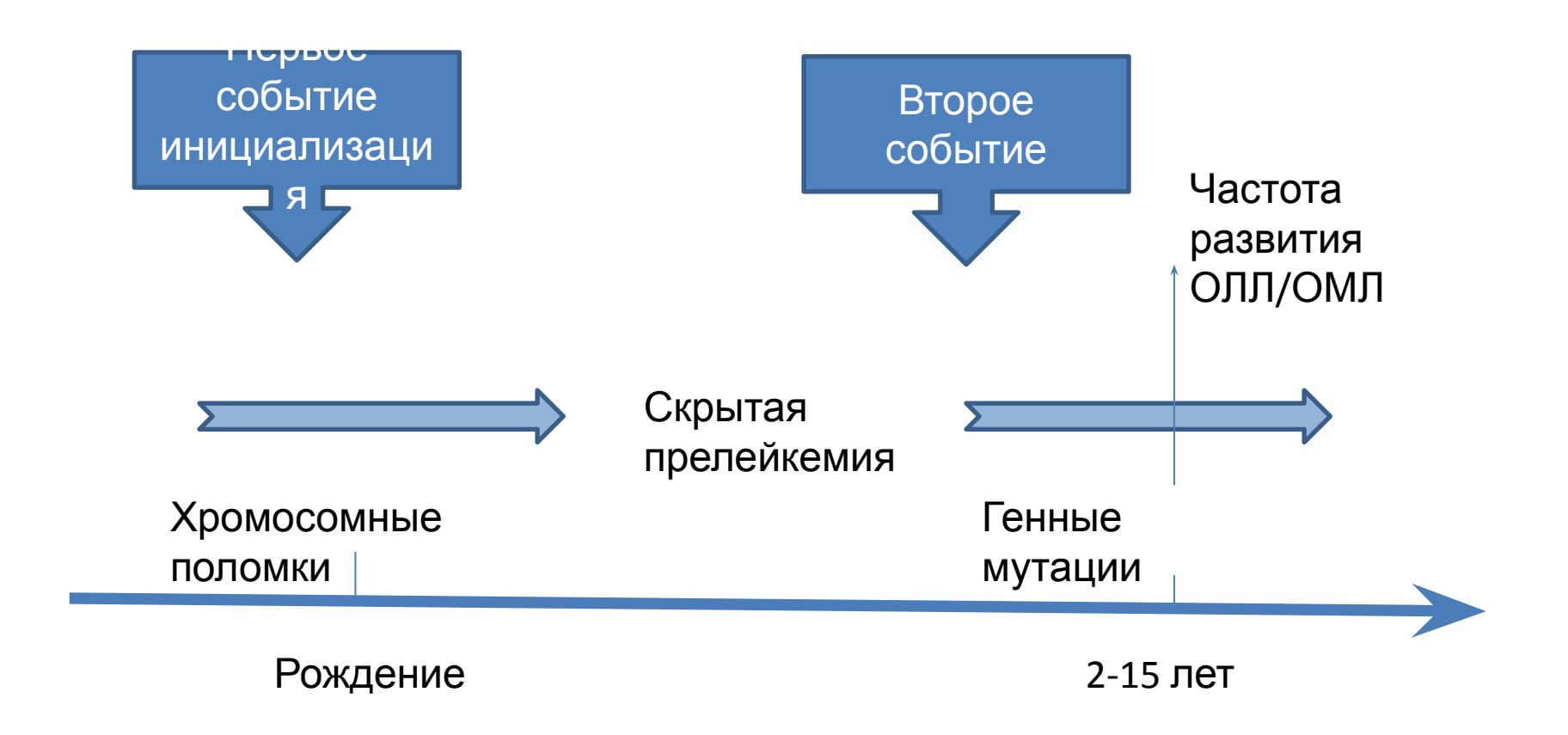
- Внешние
- 1. Ионизирующая радиация
- 2. Неионизирующая радиация (ЭМИ)
- 3. Пестициды
- 4. Алкоголь, никотин
- 5. инфекции

Происхождение лейкозных клеток

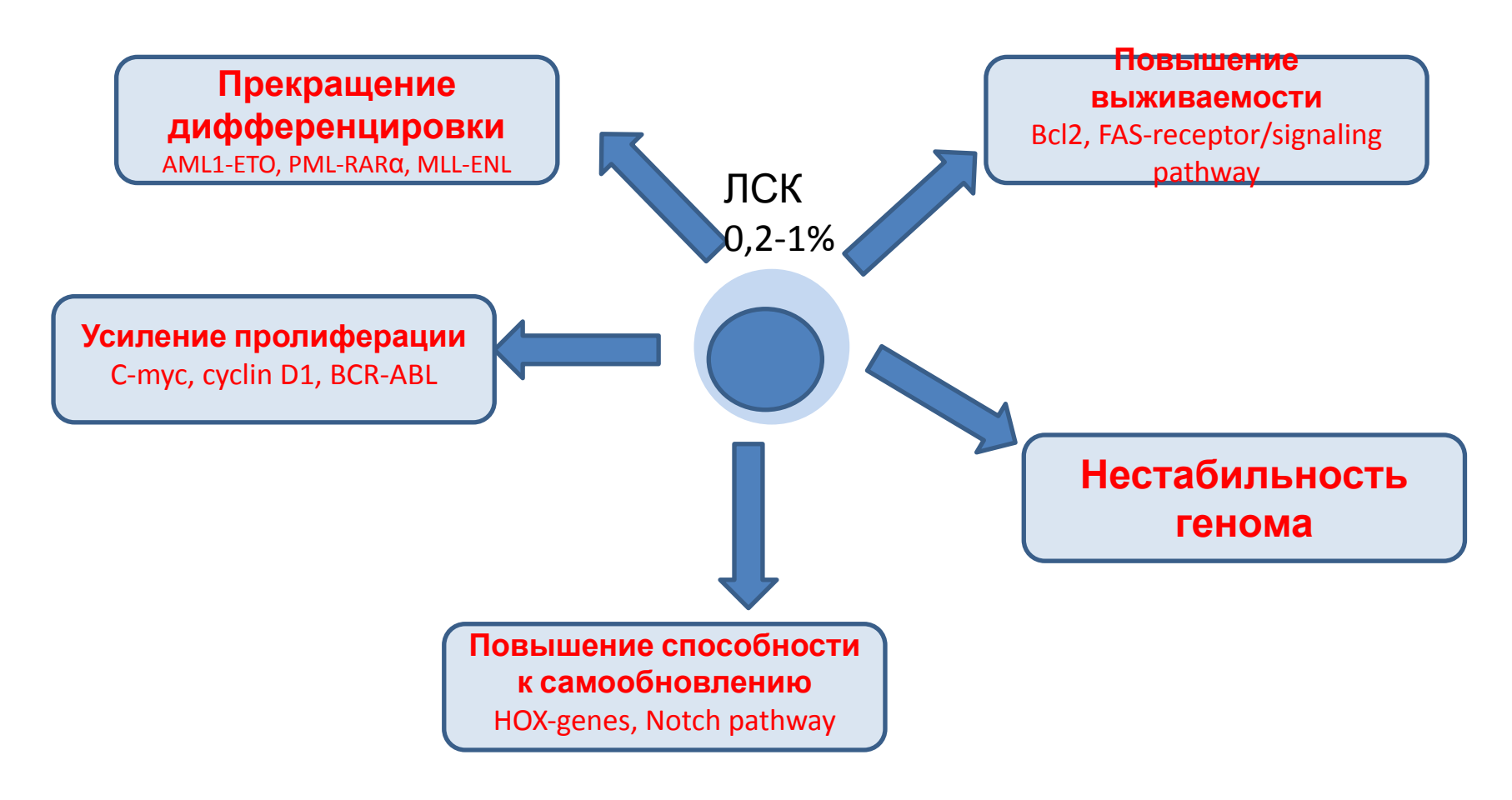


Лейкемогенез

Inaba H, Greaves M, Mullighan CG. Acute lymphoblastic leukaemia. Lancet. 2013;381(9881):1943-55

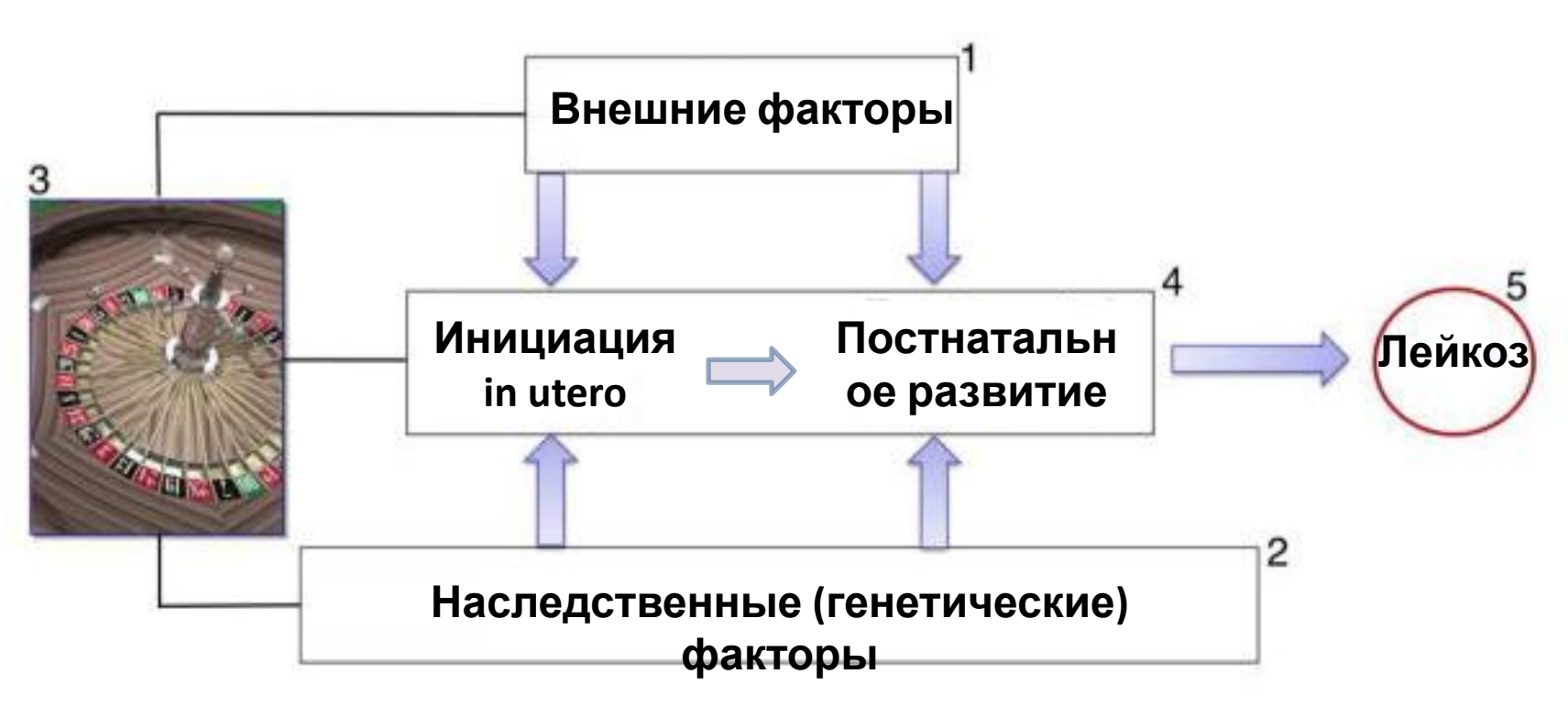


Пути дерегуляции, ведущие к образованию лейкозных клеток



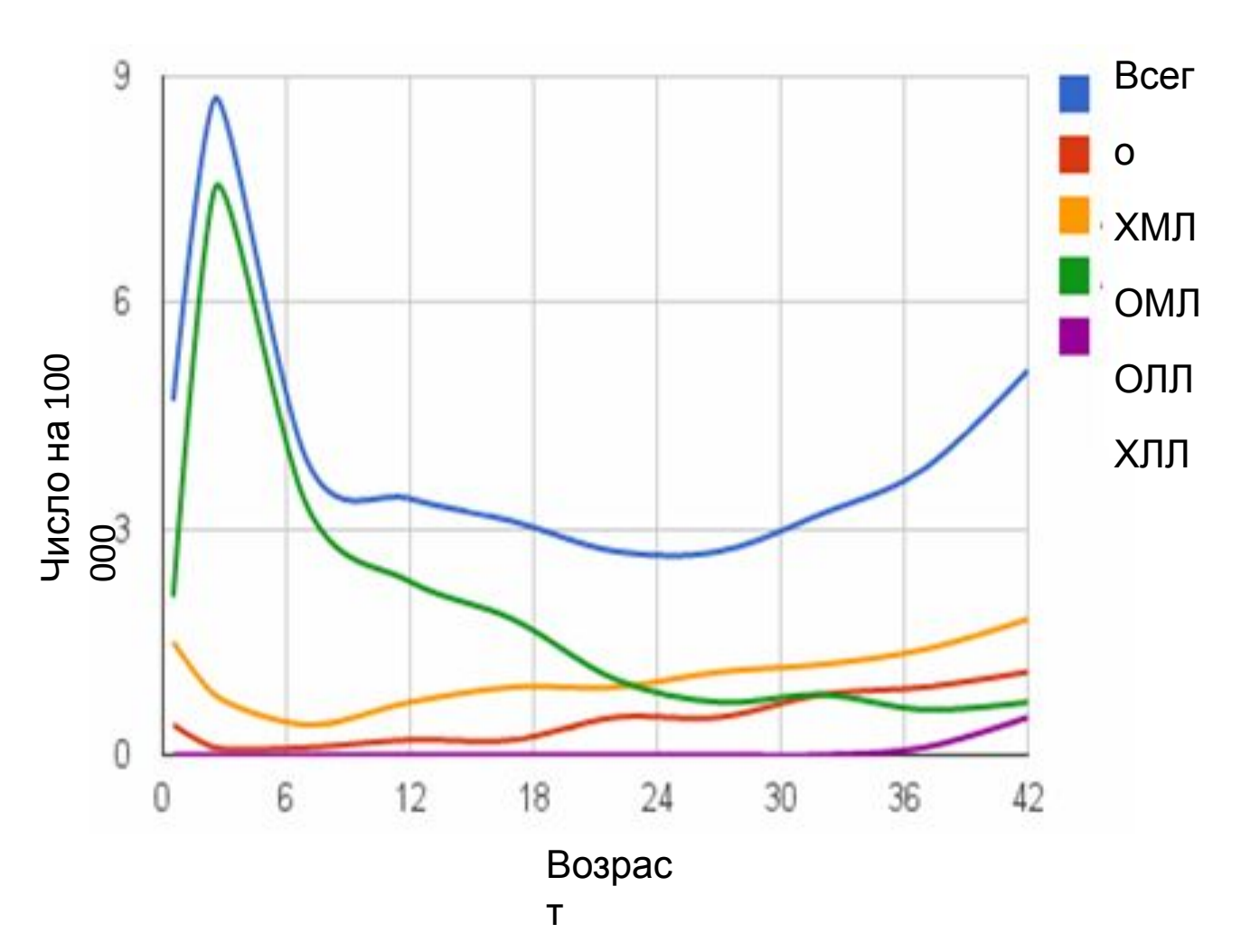
Passegue E., Weissman I. Normal and leukemic hematopoiesis/ Proc Natl Acad Sci ,USA 2003

Патогенез



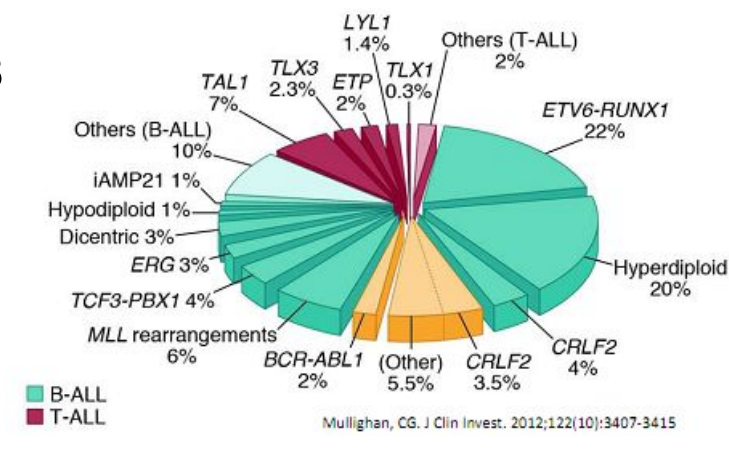
- 1. Факторы: инфекция, стресс, хроническое воспаление
- 2. Полиморфизмы генов
- 3. Случайная мутация
- 4. Скрытая фаза («предлейкоз»)

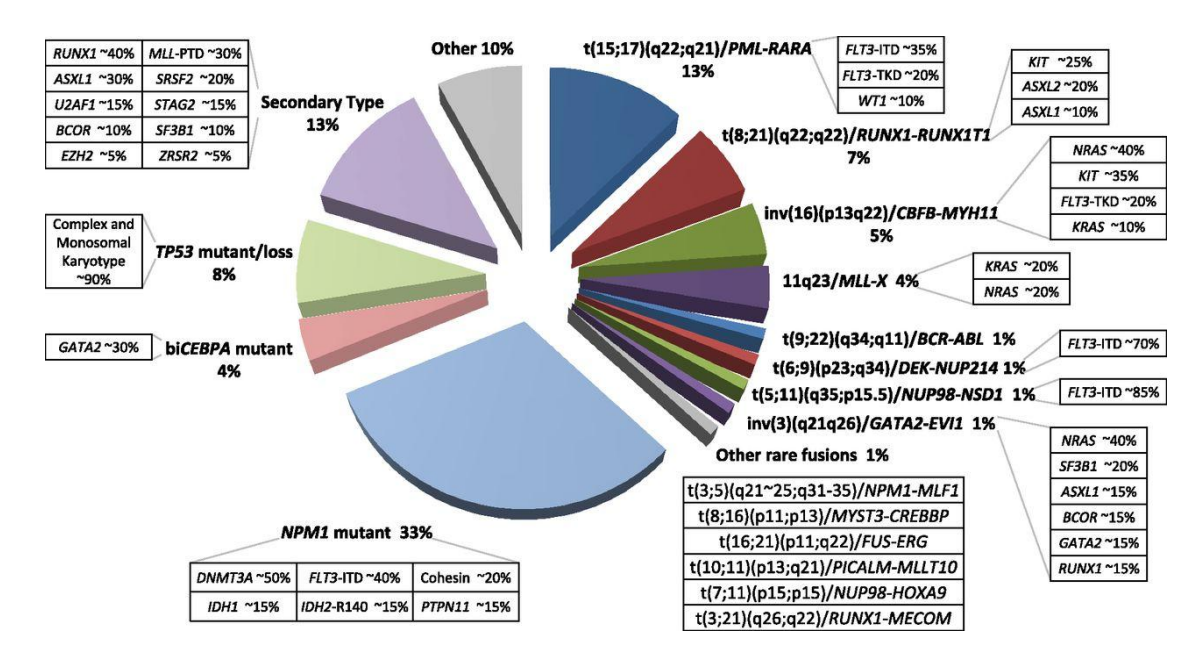
Возрастная структура заболеваемости



Классификация

- 1. Острый лимфобластный лейкоз
 - В-клеточный
 - Т-клеточный
- 1. Острый миелоидный лейкоз
- 2. Бифенотипический лейкоз





Переход от морфологической к молекулярно- биологической классификации

Клинические симптомы

Бласты

Замещение гемопоэза

Анемия

- слабость
- бледность
- тахикардия, одышка

Нейтропения

- частые инфекции (OP3, фарингиты)
- пиодермия

Тромбоцитопения

- сыпь, синяки
- кровотечения
- кровоизлияния в склеры

Инфильтрация

Печень/селезенка

- гепатоспленомегалия
- боли в животе

Костный мозг

- костные боли, хромота
- боли в суставах Кожа

- СЫПЬ
- лейкемиды

ЦНС

- головные боли
- рвота

Яички

увеличение

Секреция цитокинов

Общие симптомы

- лихорадка
- утомляемость
- потеря веса
- анорексия
- потливость
- мышечные боли
- отечность

Полиморфная клиническая картина, неспецифичность СИМПТОМОВ

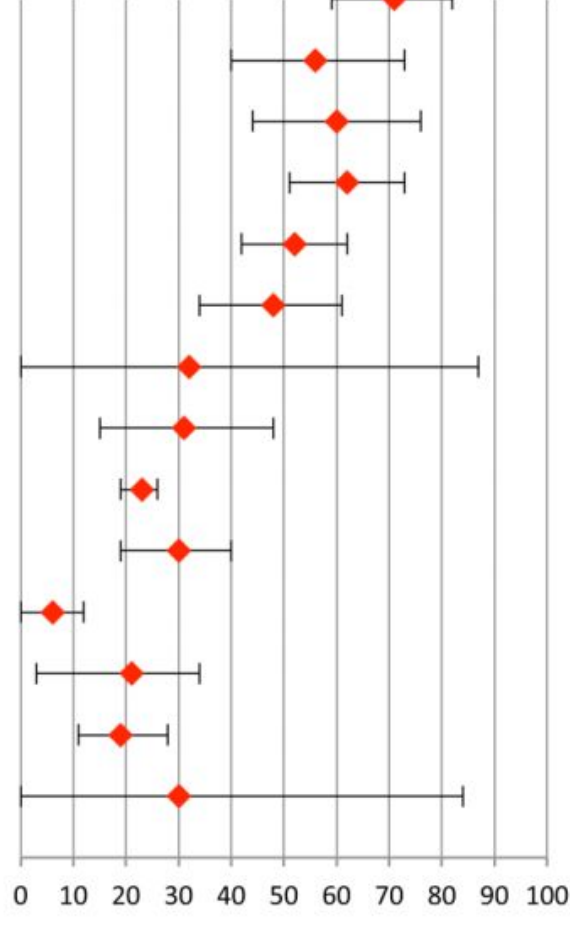




Клиническая картина

Частота (%, ДИ)





Данные мета-анализа (33 исследования, более 3000 пациентов).

Более 50% случаев:

- 1. Гепатомегалия (64%)
- 2. Спленомегалия (61%)
- 3. Бледность (54%)
- 4. Лихорадка (53%)
- 5. Синяки (52%)

Более 30% случаев:

- 1. Инфекции (49%)
- 2. Утомляемость (46%)
- 3. Костные боли (43%)
- 4. Гепатоспленомегалия (42%)
- 5. Петехии/экхимозы (41%)
- 6. Лимфаденопатия (41%)

Увеличение живота

Clarke RT, et al. Arch Dis Child 2016;101:894-901.

Специфическая инфильтрация

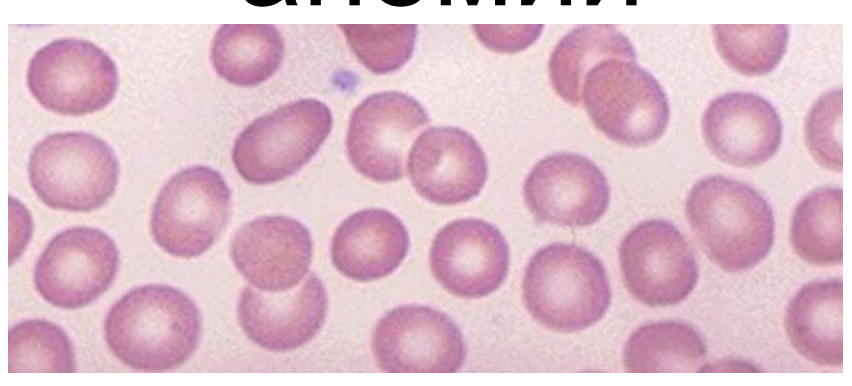


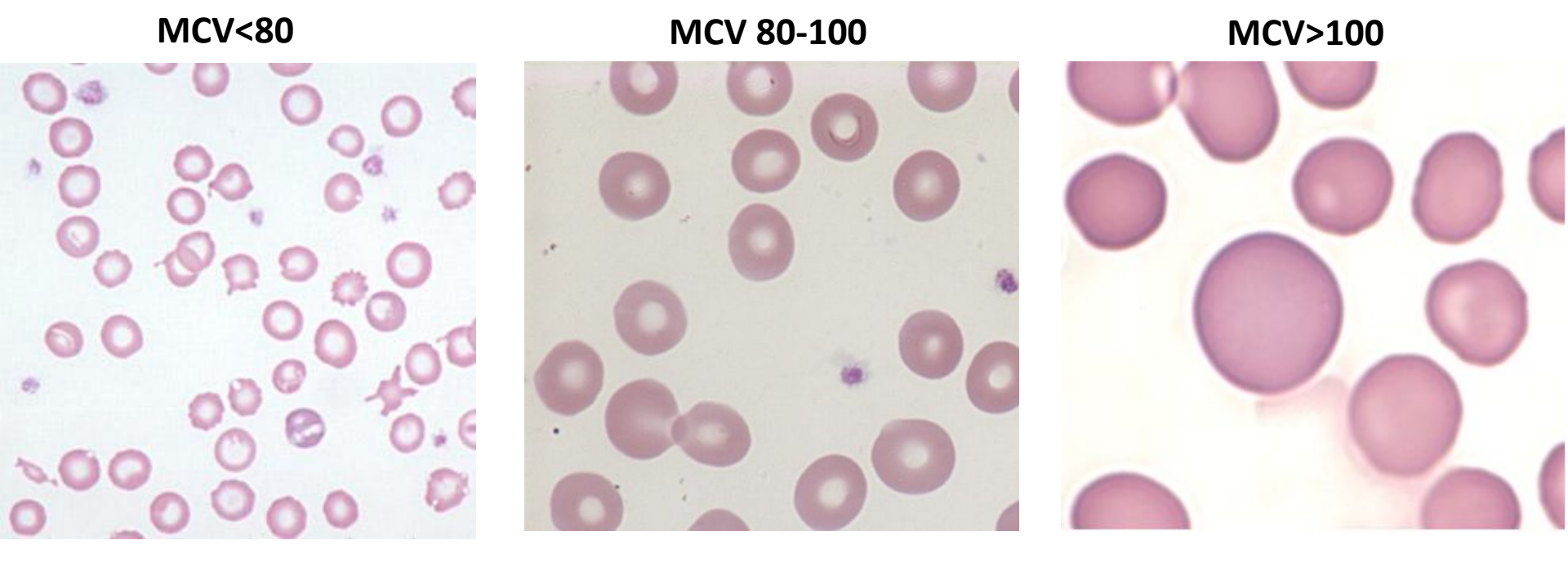
Инфильтрация десен при монобластном ОМЛ



Кожные инфильтраты

Интерпретация ОАК при анемии





Интерпретация ОАК при

АНЕМИИ Осмотр, ОАК, ретикулоциты,

Микроцитарна

- Железодефицит
- Алиментарный
- Хроническая кровопотеря
- Талассемия (α или β)
- Отравление свинцом
- Хроническое заболевания/инфекция
- Алиментарный дефицит
- Сидеробластная анемия



- Исследование железа (ферритин,ОЖСС, трансферрин и т.д.)
- Электрофорез гемоглобина •
- Семейный анамнез
- Пробная терапия железом

морфомогия Нормоцитарна

- Ранняя стадия железодефицита
- Острая кровопотеря
- Гемолиз
- Дефект ферментов
- Дефект мембраны
- Красноклеточная аплазия
- Врожденная или приобретенная АА
- Опухоль
- Почечная недостаточность
- Гиперспленизм
- Ятрогенная Ферменты эритроцитов
- Осмотическая устойчивость
- Проба Кумбса
- Электрофорез гемоглобина

Макроцитарна

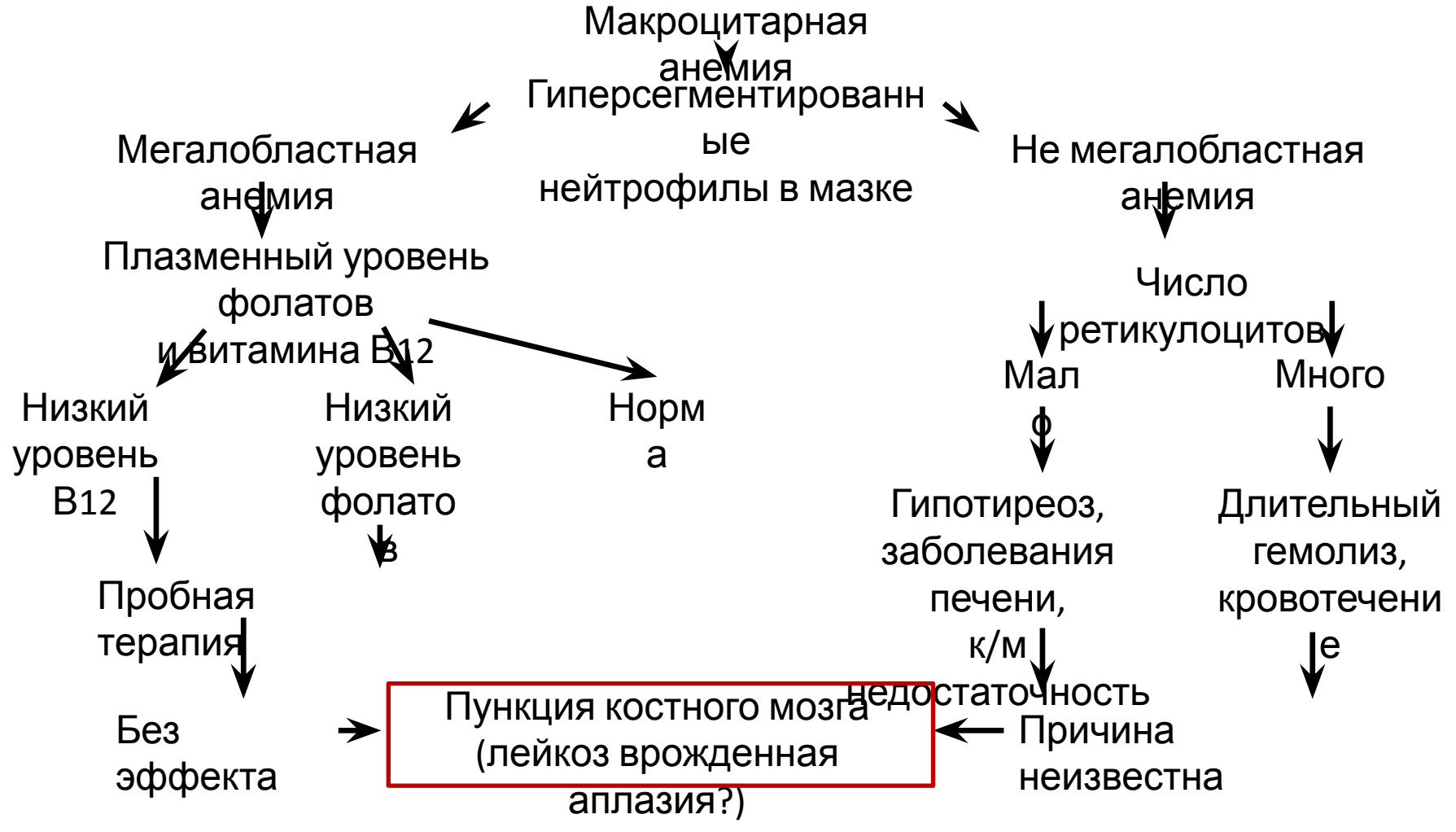
- Здоровый новорожденный
- Спленэктомия
- Заболевание печени
- Врожденная или приобретенная АА
- Гипотиреоз
- Синдром Дауна
- МДС
- Дефицит фолатов
- Дефицит В12



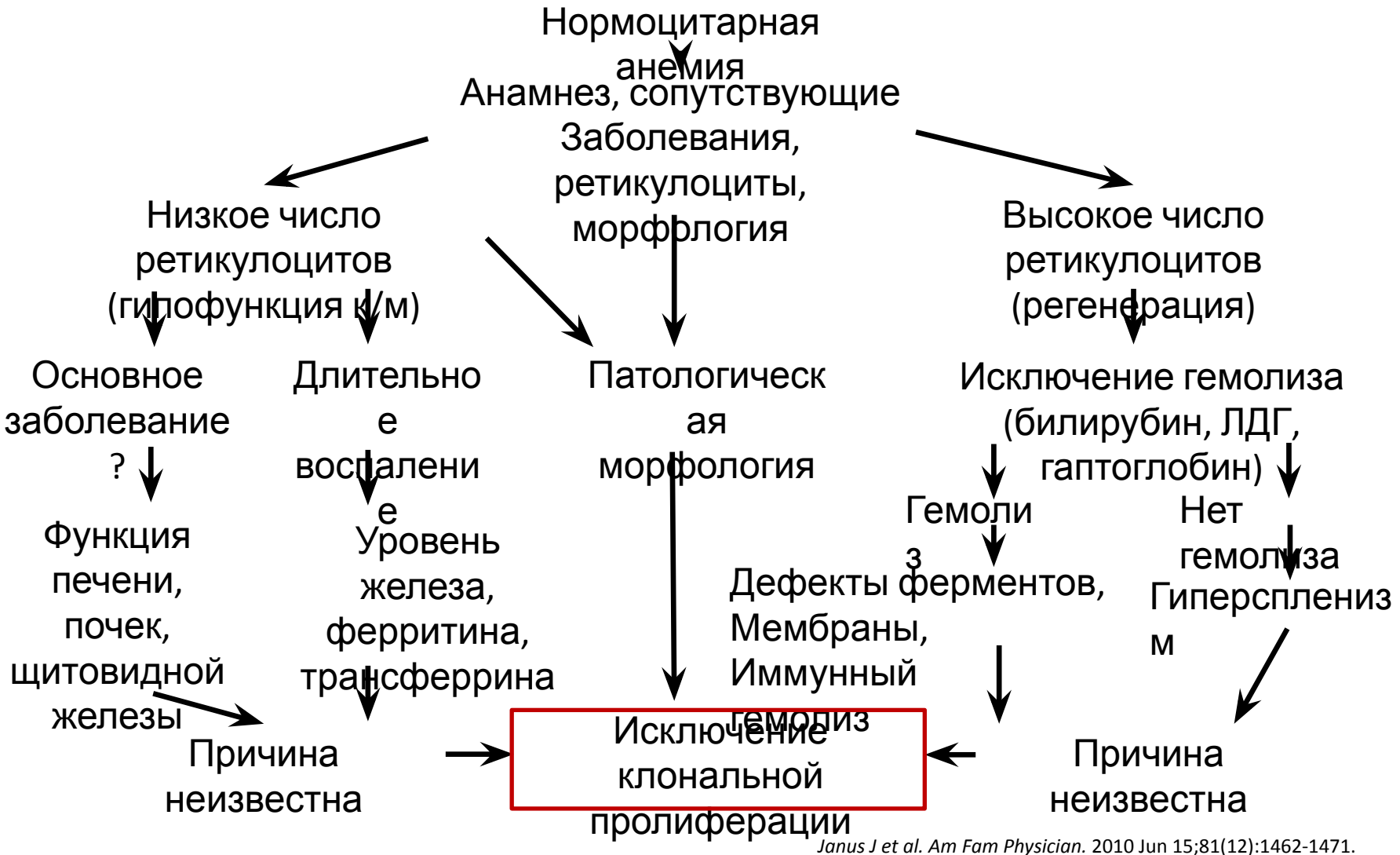
- Б/х анализ крови
- Гормоны щитовидной железы
- Электрофорез гемоглобина
- Фолиевая кислота, В12
- Миелограмма

Миелограмма Handbook of Pediatric Hematology and Oncology, 2nd ed (2012) - Hastings, Torkildson, Agrawal

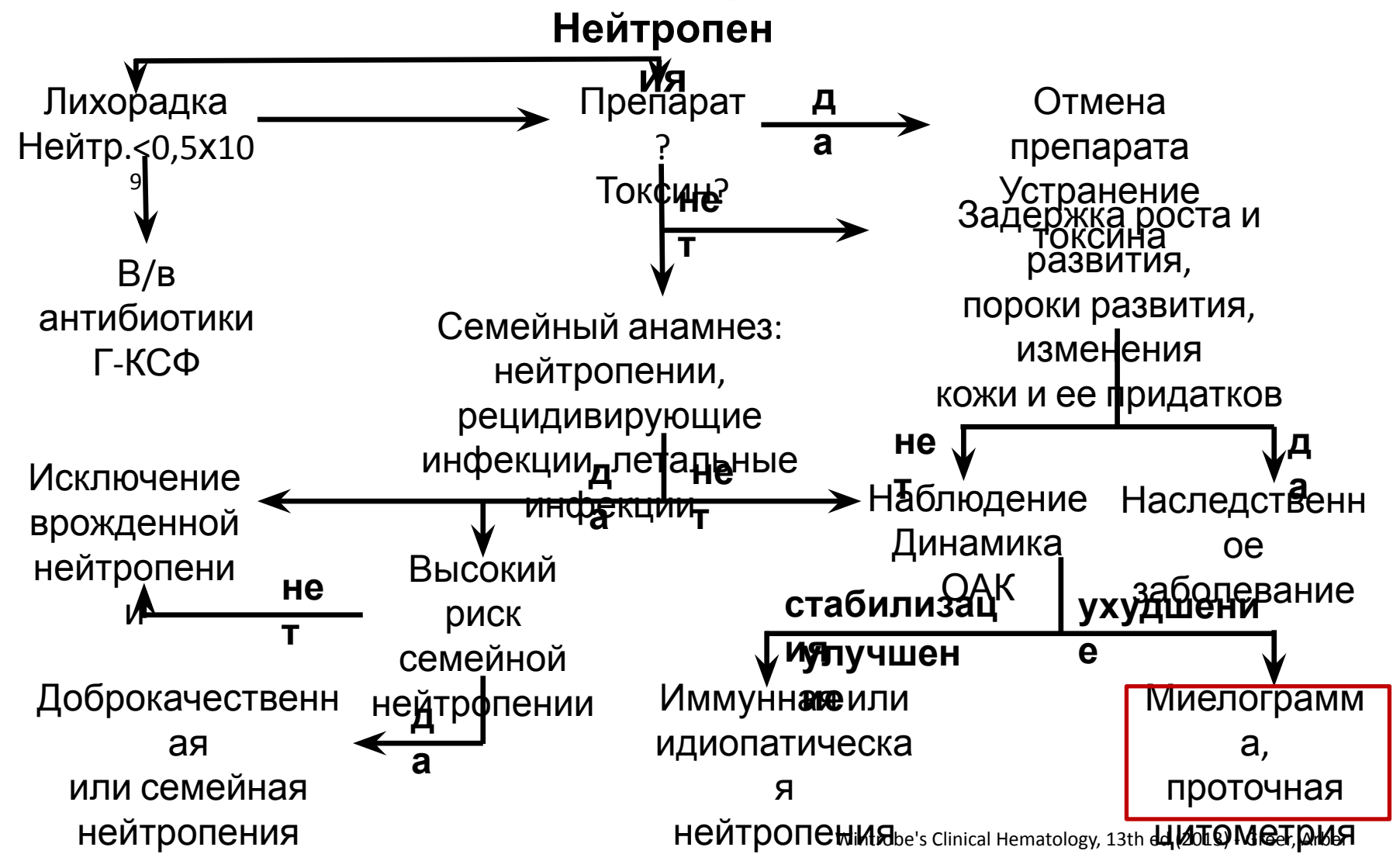
Алгоритм действий при макроцитарной анемии



Алгоритм действий при нормоцитарной анемии



Диагностический алгоритм для детей с нейтропенией



Причины приобретенной нейтропении

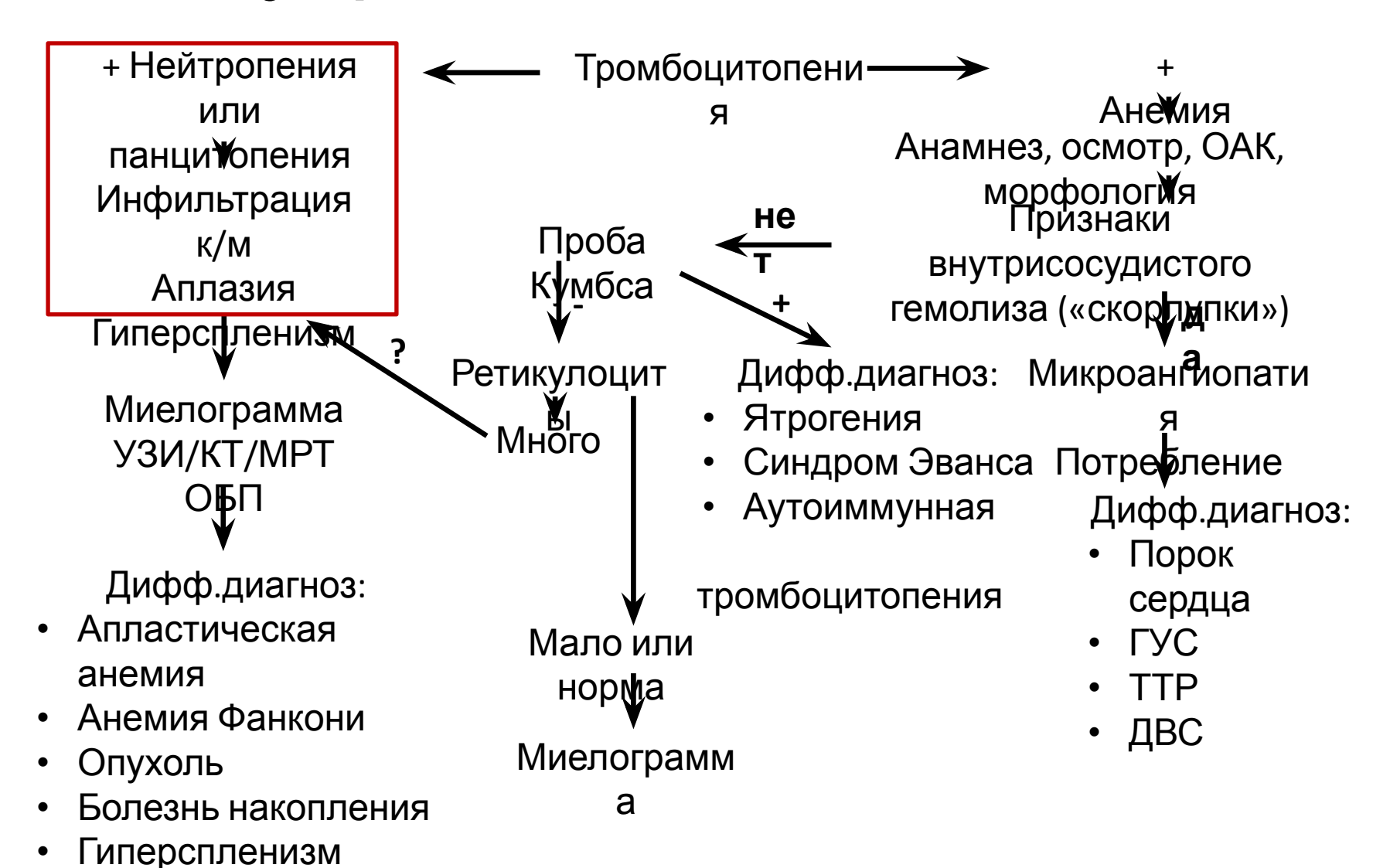
Причина	Патогенез	Частота	Дополнительные находки
Идиопатическ ая нейтропения	Снижение или неэффективность продукции нейтрофилов	Часто	Обычно бессимптомная Дифф.диагноз с врожденными формами
Инфекция	Вирусная миелосупрессия, вируса ассоциированная иммунная нейтропения Миелосупрессия на фоне бактериальной инфекции (эндотоксины)	Часто Относительно редко	ЭБВ, парворирус, ВПГ 6 типа, другие вирусы Тяжелая бактериальная инфекция
Лекарственна я	Прямая миелосупрессия Иммунное разрушение	Часто Редко	Основное заболевание
Аутоиммунна	Первичная (сходство мишеней)	Часто	Часто сопутствующий моноцитоз
Я	Вторичная (СКВ, синдром Эванса)		
Секвестрация	Гиперспленизм	Спленомегали	Различные причины спленомегалии
-		Я	
Замещение костного мозга	Инфильтрация костного мозга опухолевыми клетками, гранулемами, миелофиброз	Редко	Зависят от первичного заболевания
Аллоиммунно е поражение	Сенсибилизация материнскими антигенами Перенос материнских аਸ਼ਿੰਸਿਊਸ਼ੈ ^k of ^{Pedia}	Редко atric Hematology and Onc	Несовместимость по антигенам Материнские антитела cology, 2nd ed (2012) - Hastings, Torkildson, Agrawal

Изолированная тромбоцитопения

Анамнез, осмотр, ОАК, число тромбоцитов, Изолированна Мазок Нормальны тромбоцитопен**й**я — Морфология →Крупные тромбоциты тромбоцитов синдром Бернара-Сулье не синдром Якобсена Пороки и/или 귃 болезнь Виллебранда лимфадунопатия развития доброкачественная Норм Миелограмм макротромбоцитопения Мелкие тромбоциты Дифф.диагноз: Дифф.диагноз: синдром Вискотта-АИТП Опухоль Олдрича Инфекция (ВИЧ, вирусная Дифф.диагноз: ВЭБ, ЦМВ) ятрогенная анемия Фанкони Болезнь аутоиммунна порок сердца накопления синдром Казабаха-Гиперспленизм апластическа Меррита

2Hemus and Oncology, 2nd ed (2012) - Hastings, Torkildson, Agrawal

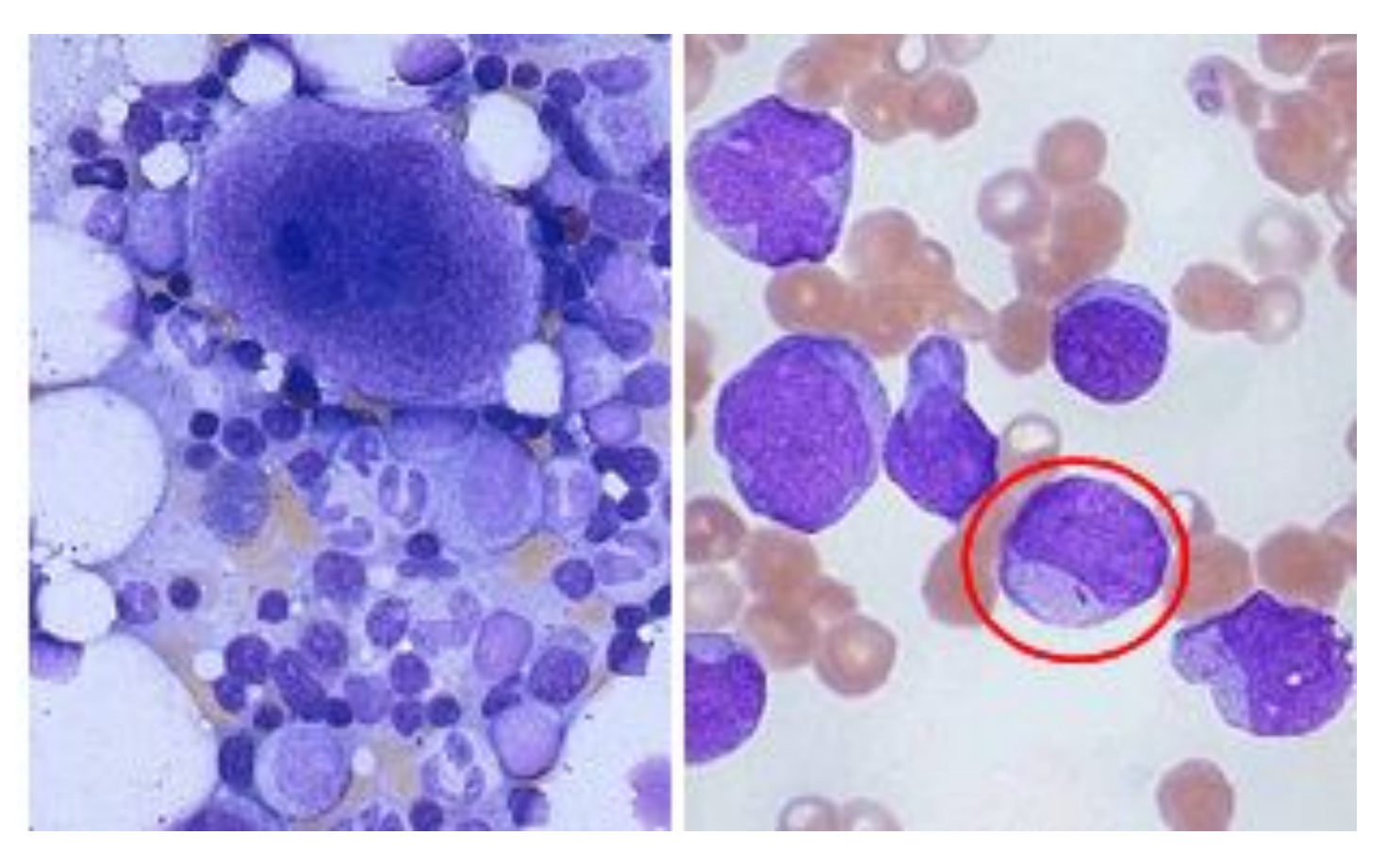
Двухростковая цитопения



Алгоритм дифференциального диагноза аплазии



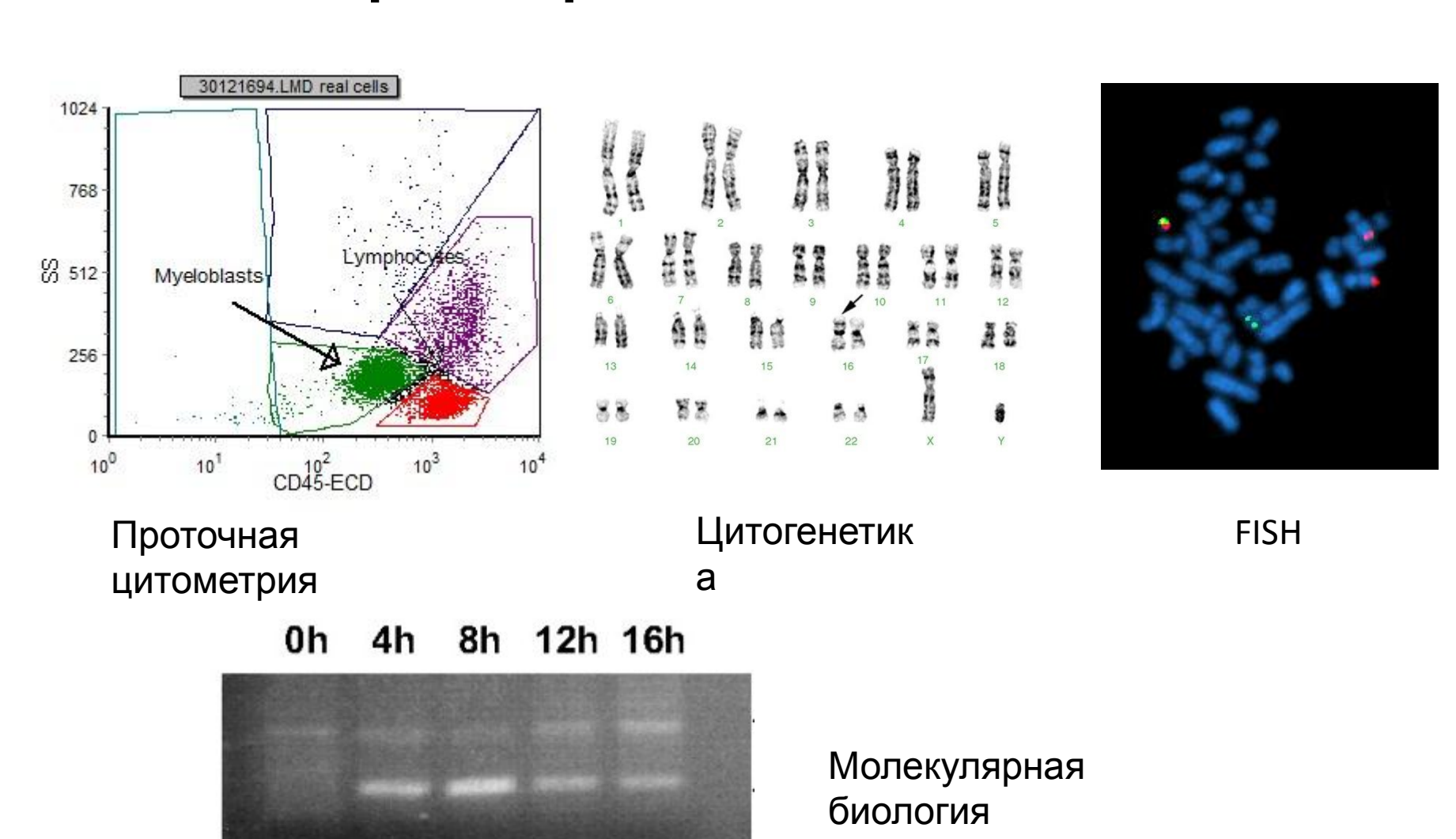
Морфологическая диагностика

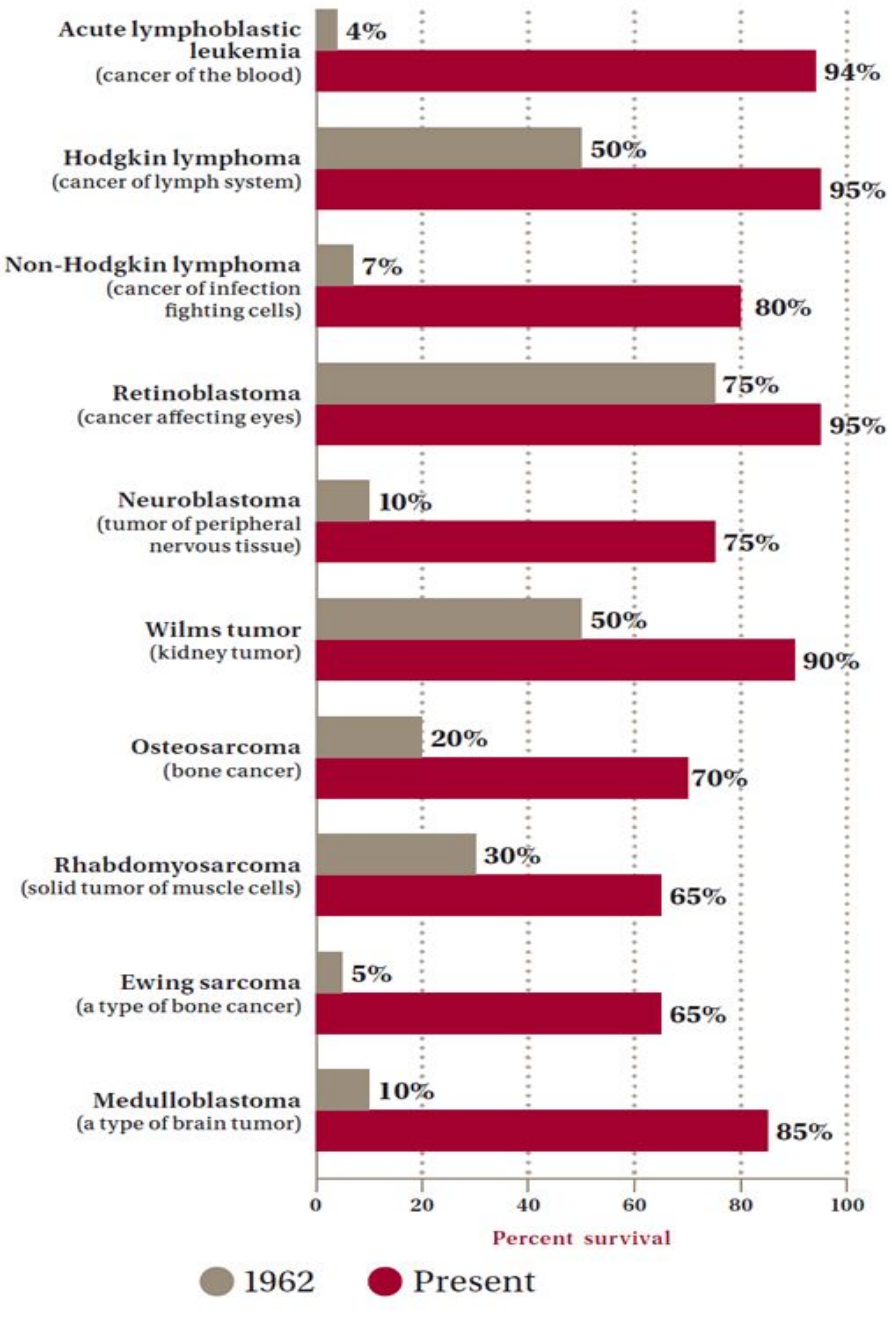


Нормальный костный мозг

ОЛЛ

Лабораторная диагностика





*Cancer survival of five years or greater based on national averages from 2001-2007.

Пятилетняя выживаемость детей с онкологическими заболеваниями – 1962 vs 2012

St.Jude Children's Hospital, 50 Years. Funding cures. Saving children.

1962-2012

Терапия лейкоза (исторические вехи)

• Терапия:

1947 Farber Anti-folate metabolite MTX

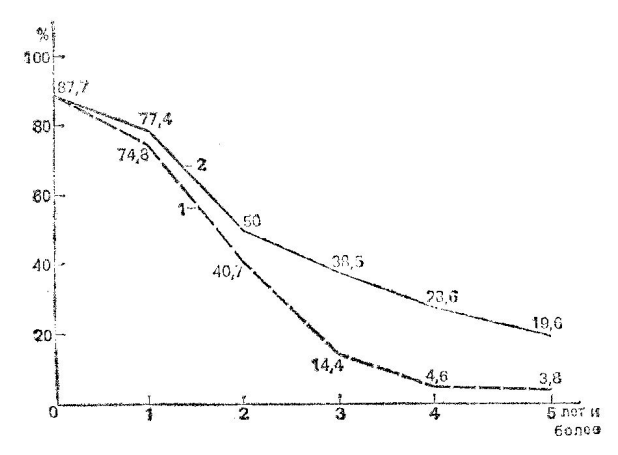
– 1953 Burchenal 6-MP

– 1959 Cyclophosphamide

– 1962 Vincristine

3% 5 year DFS ALL with sequential therapy

 В начале 90х в России 3,8% (Алексеев Н.А., Воронцов И.М. Лейкозы у детей. 1988г.)





Терапия лейкоза (исторические вехи)

Зарубежный опыт терапии острых лейкозов 60-90 прошлого века

Дональд Пинкель (1962-1970 гг.), руководитель клиники Сент-Джуд, г.Мемфис (СШ Разработка программного подхода к терапии лейкозов у детей.



Индукция

990.

Интенсификаци -

Консолидаци

Профилактик а нейролейкоза

Поддерживающая терапия

Индукционная терапия: длительное применений ГК (преднизолона) в комбинации с винкристином.

Поддерживающая терапия: длительное применение комбинации : 6-МП и метотрексата.

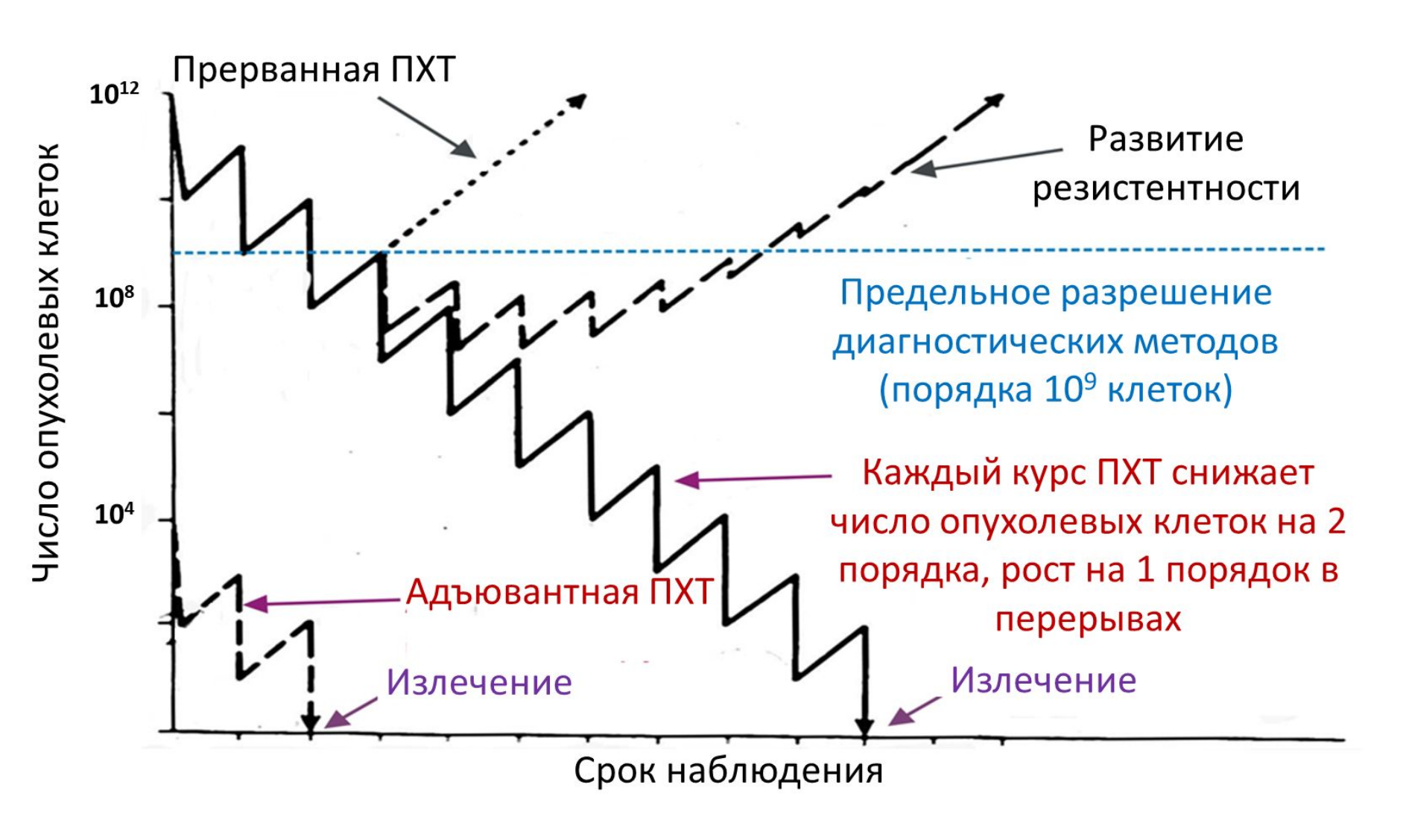
Профилактика нейролейкоза: эндолюмбальное ведение цитостатиков и краниальное облучение.

Бессобытийная выживаемость детей с ОЛЛ выросла с 3-9% до 50% (1972 год)

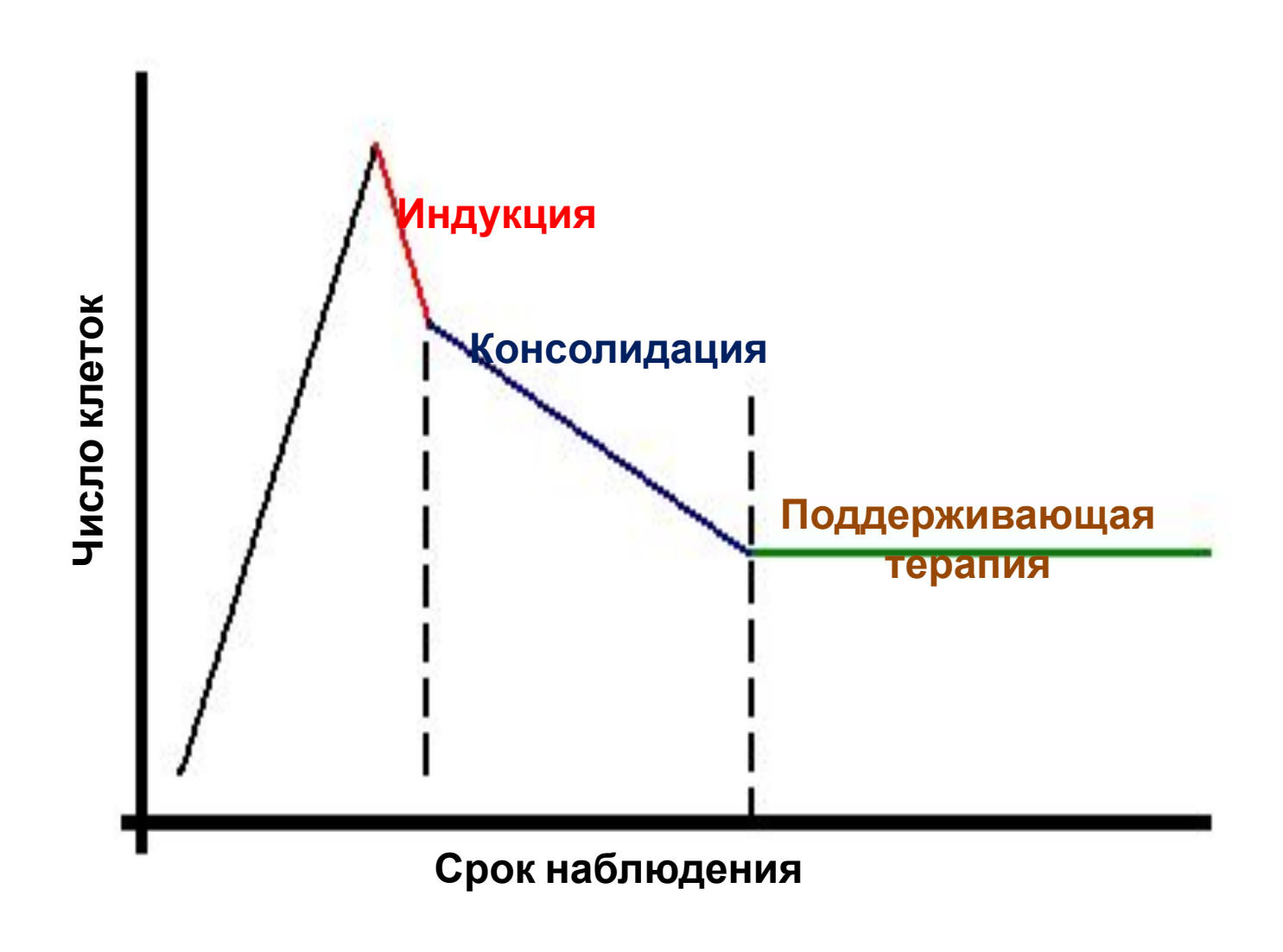
1980 Ингибиторы топоизомеразы

Таргетная терапия

Кинетика опухоли на фоне ПХТ



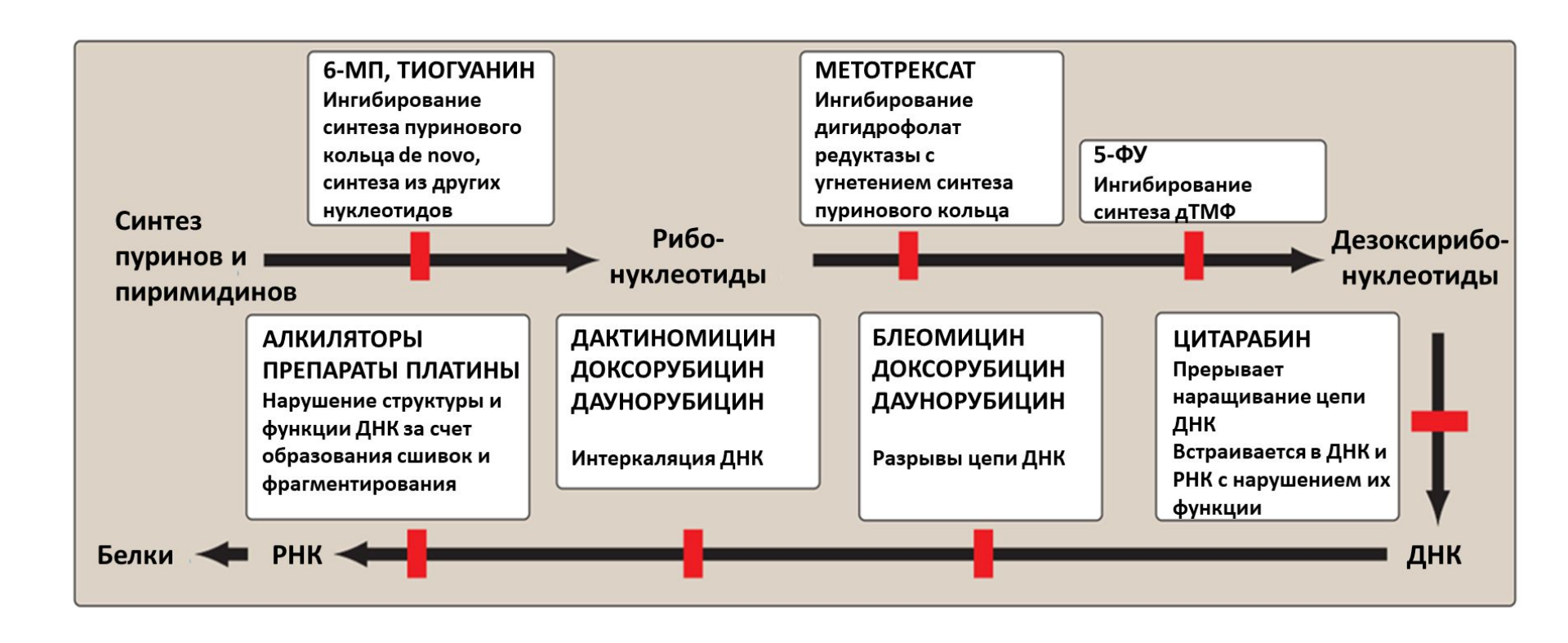
Фазы режимов химиотерапии



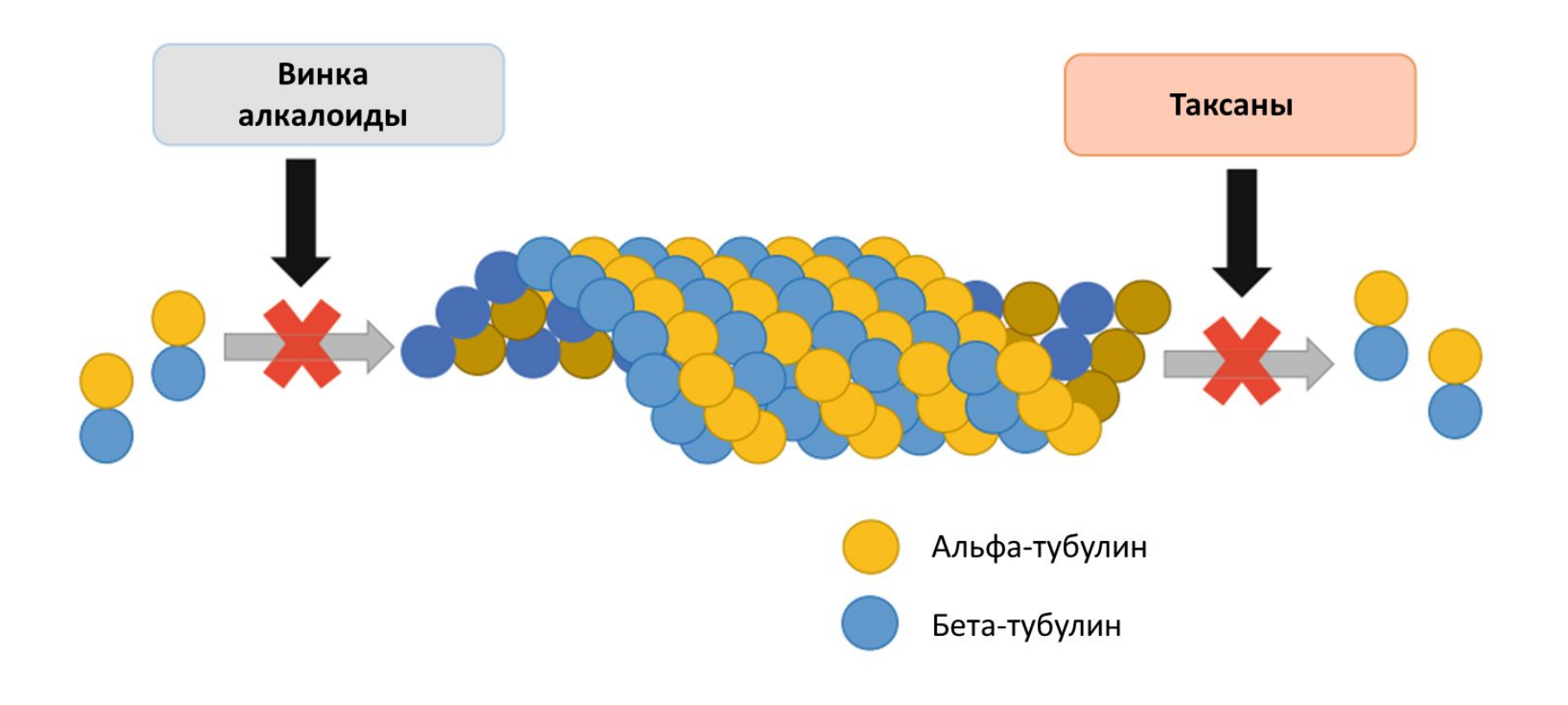
Принципы формирования режима комбинированной терапии

- Все препараты используемые в рамках режима должны быть активны при монотерапии
- Отсутствие перекрестной токсичности
- Различные механизмы действия
- Различные механизмы резистентности
- Оптимальные дозы и тайминг, направленные на обеспечение максимальной интенсивности и плотности дозы
- Индивидуальные изменения дозы, призванные снизить токсичность и обеспечить соответствие таймингу

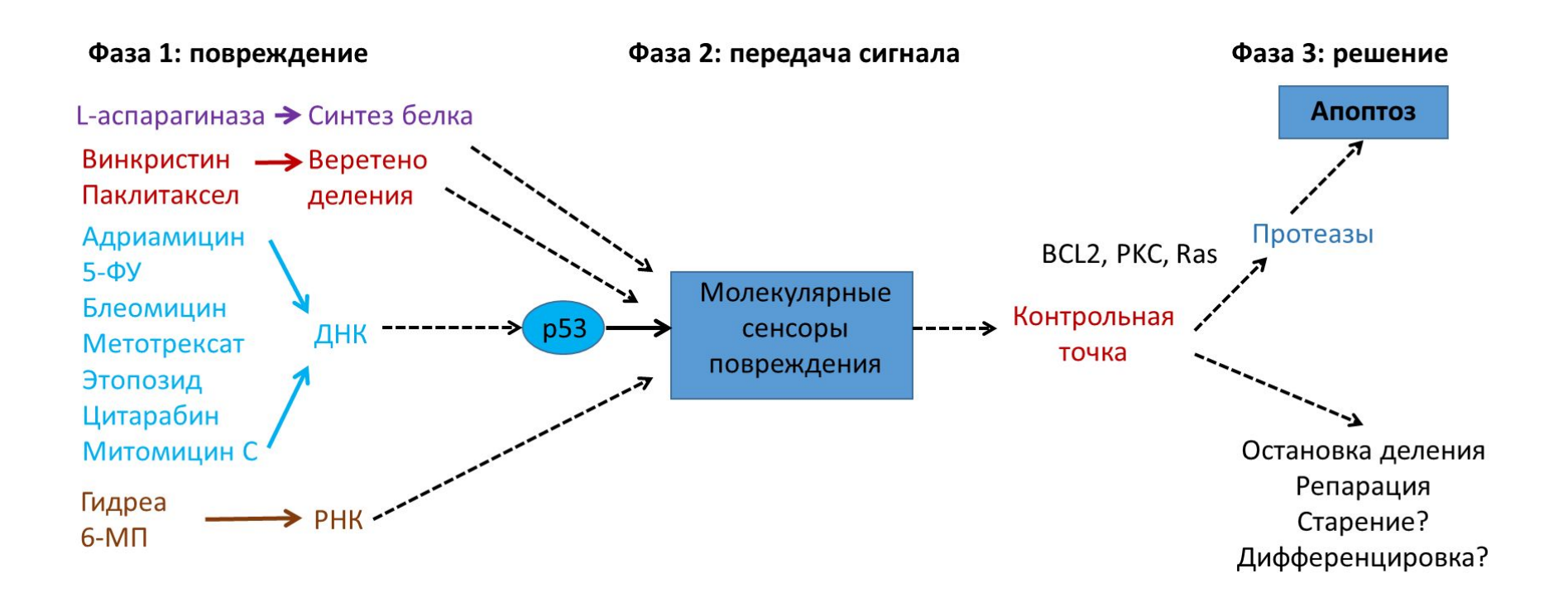
Мишени «классических» цитостатиков



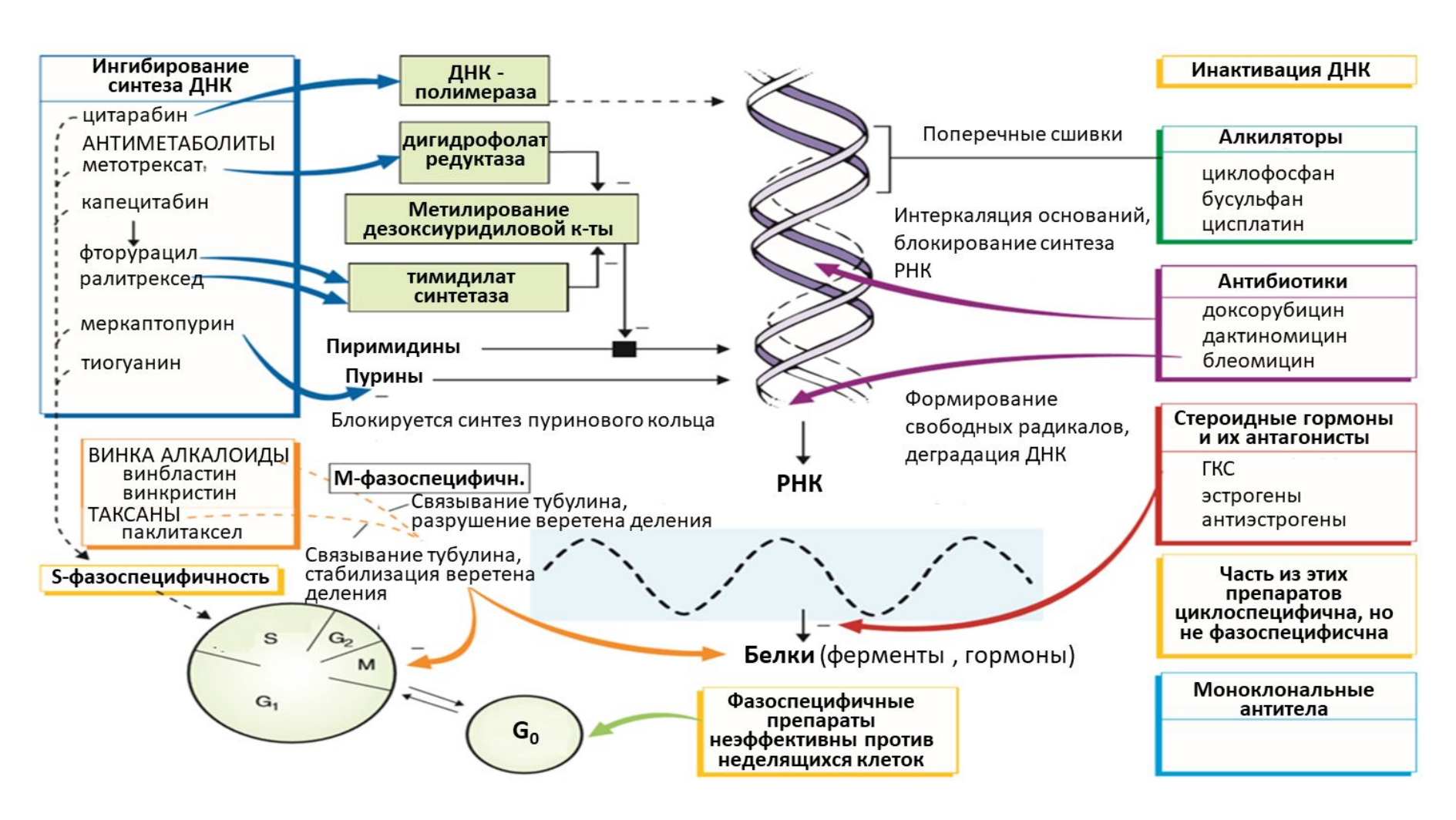
Механизм действия антитубулиновых препаратов



Цитотоксическое действие химиопрепаратов



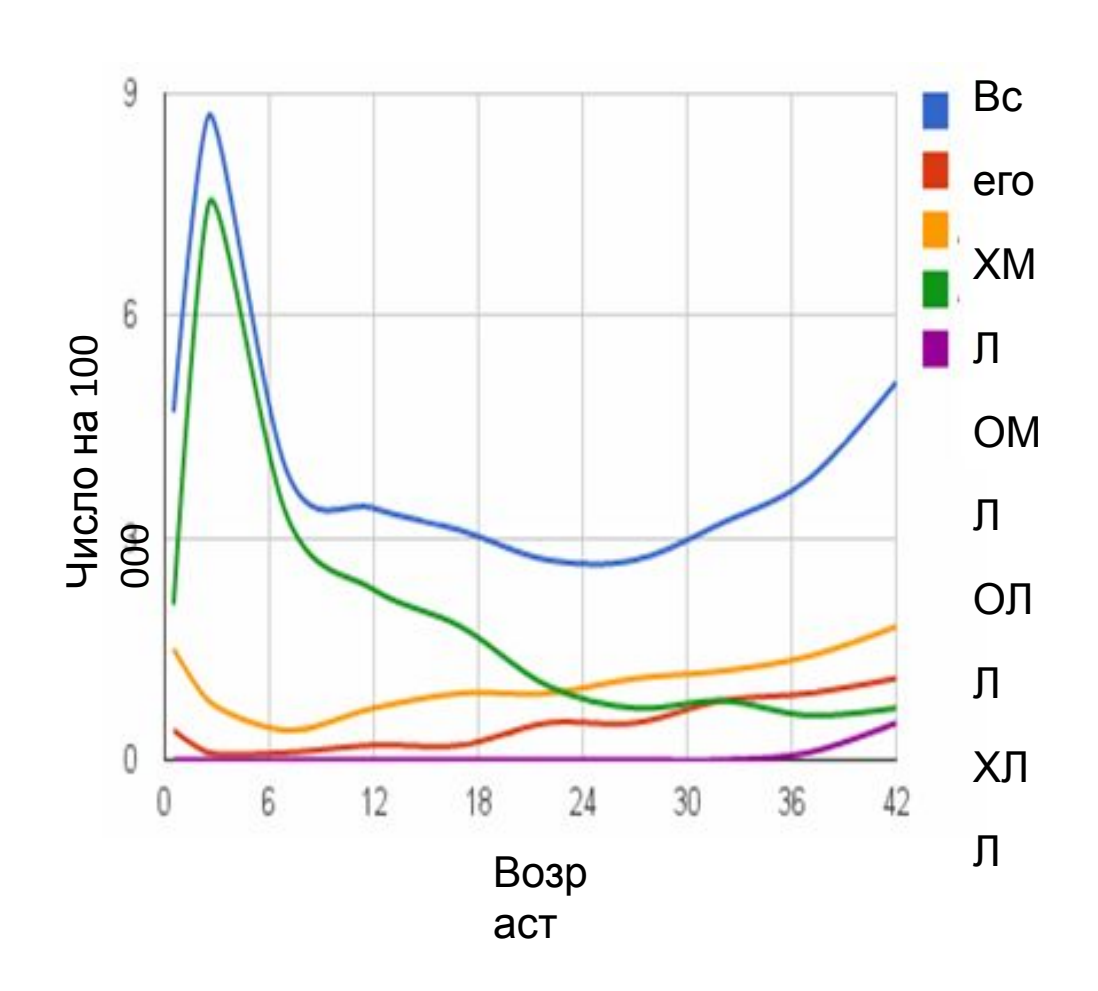
Фазоспецифичность химиопрепаратов



Эволюция концепции противоопухолевой терапии



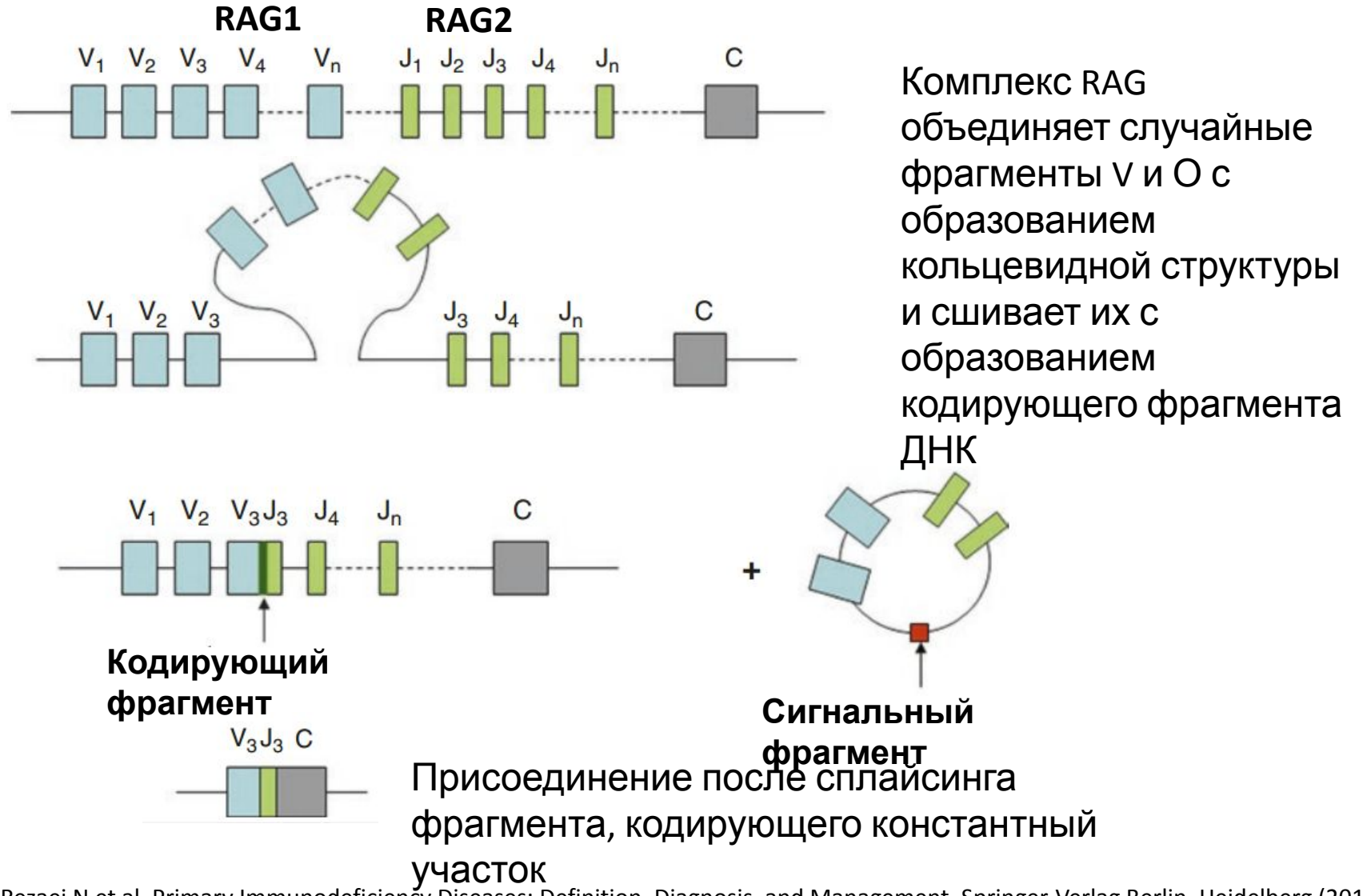
ОЛЛ – самое распространенное злокачественное заболевание у детей.



SEER 18, 1975-2015, ages 0-45

- ОЛЛ составляет 25% от всех опухолей
- 75% от всех гемобластозов
- 3 случая на 100000 детского населения в год
- Младенческий пик заболеваемости в возрасте 2-5 лет
- Чаще болеют мальчики: 1,6:1 для В-линейного и 4:1 для Т-линейного

Механизм VDJ рекомбинации



Rezaei N et al. Primary Immunodeficiency Diseases: Definition, Diagnosis, and Management. Springer-Verlag Berlin, Heidelberg (2017).

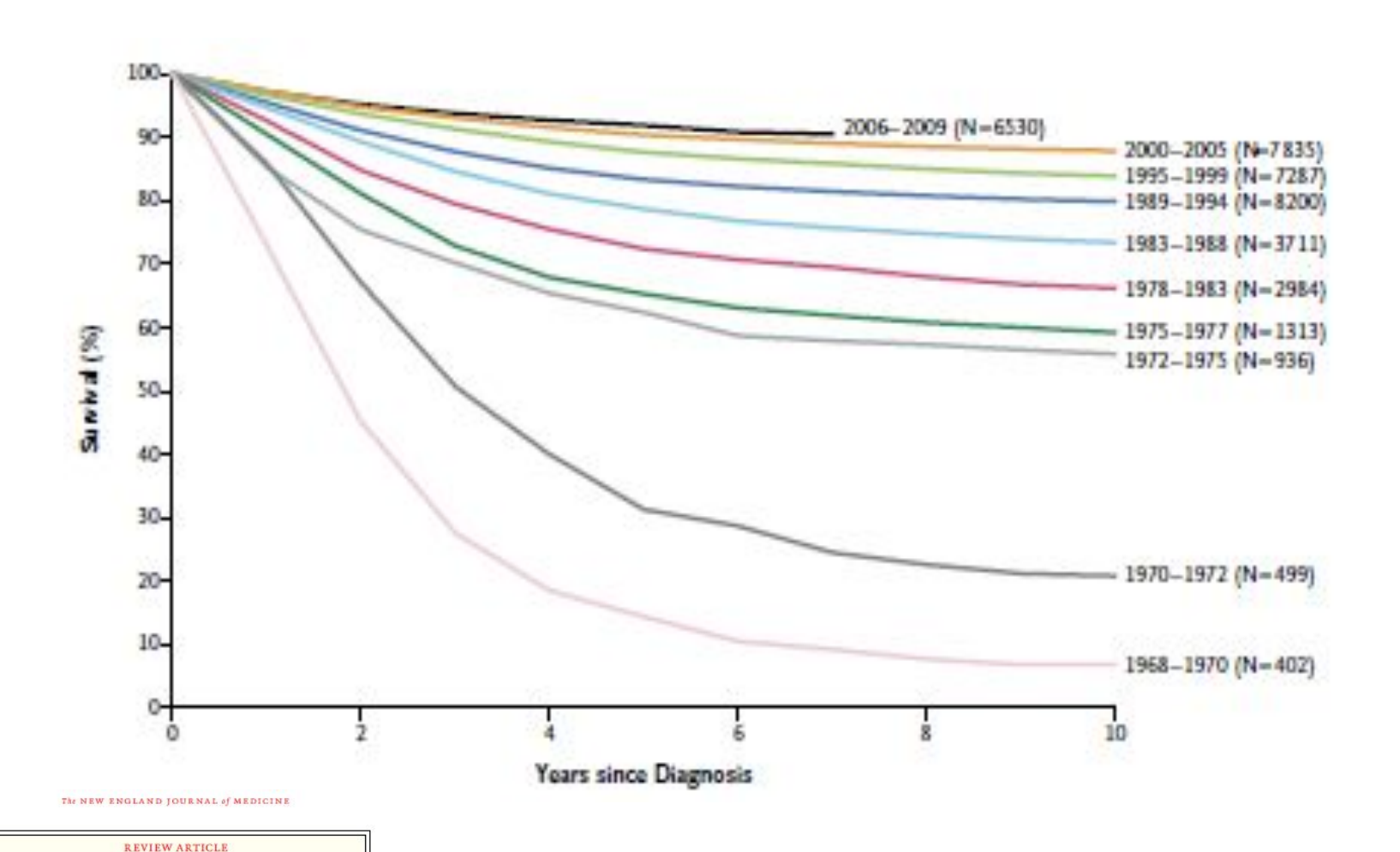
Принципы терапии

- ОЛЛ
- Интенсивная многокомпонентный химиотерапия (4-6 месяцев). Большее применение ГК, L-аспарагиназы
- Профилактика нейролейкемии (ранняя и интенсивная)
- Продолжительная поддерживающая терапия (2-3 года)
- ТГСК у 5% детей

Риск-адаптированная терапия

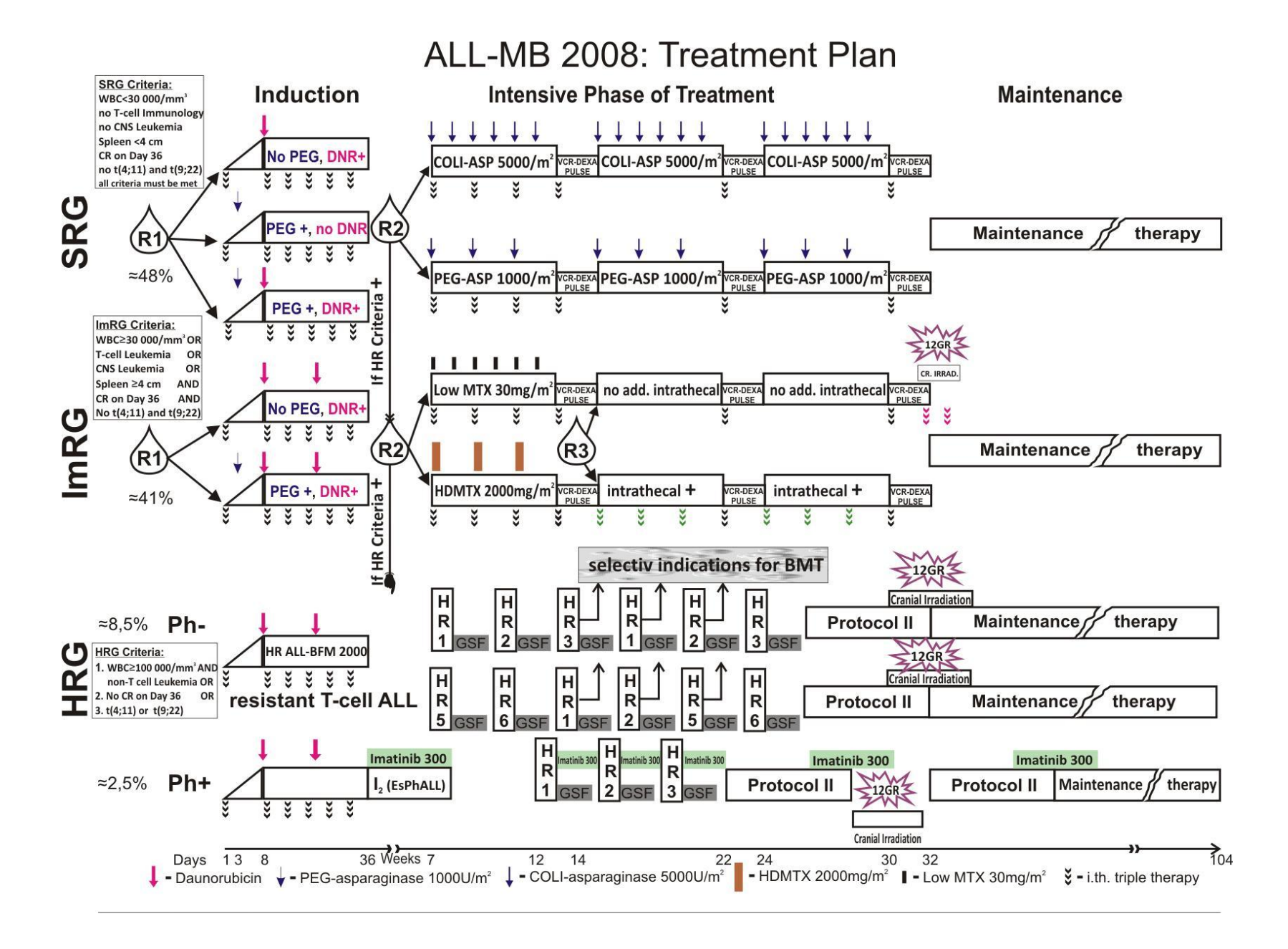
Общая выживаемость детей с ОЛЛ

(данные ССG и СОG исследований 1968-2009гг)

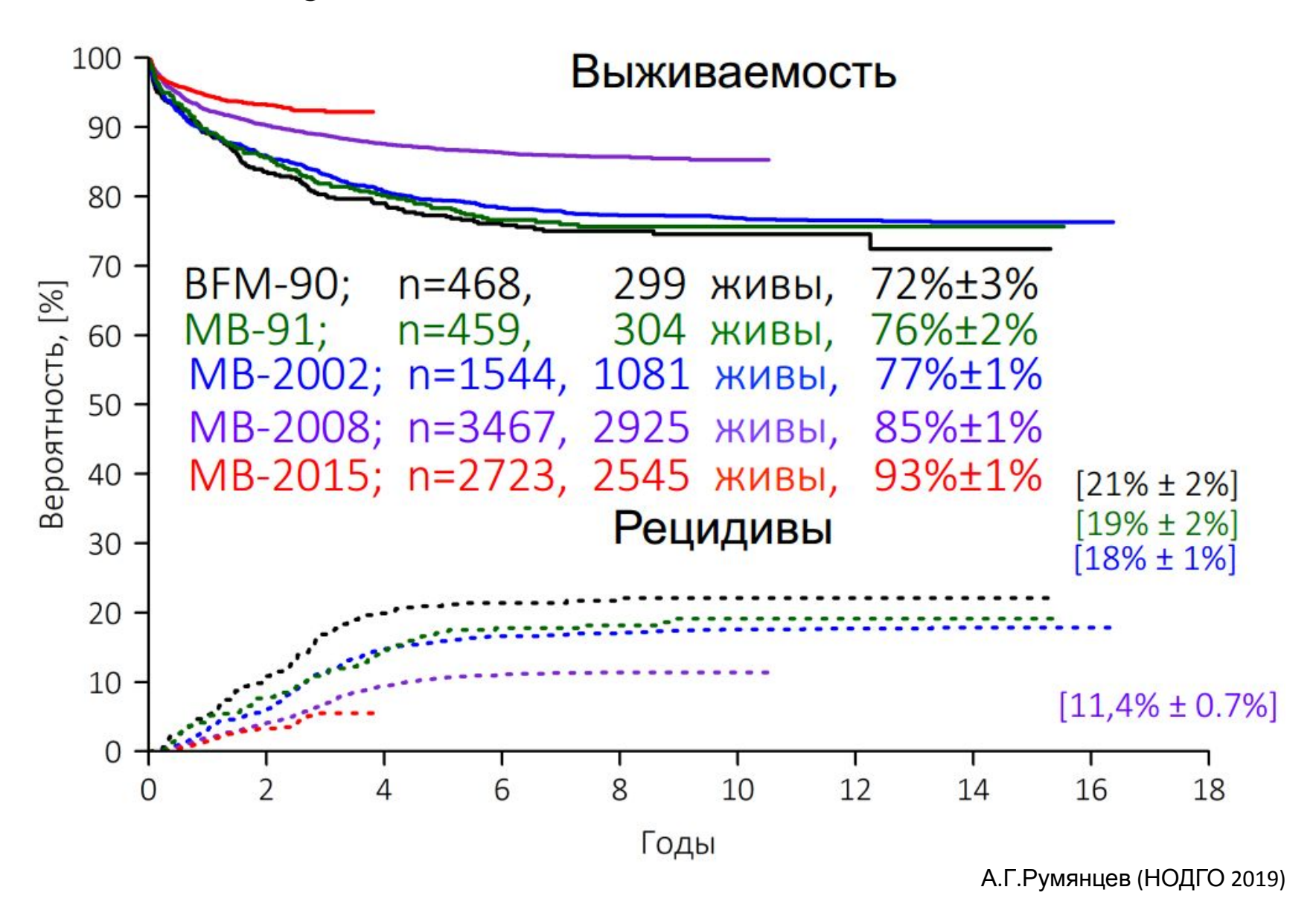


Dan L Longo, M.D., Editor

Acute Lymphoblastic Leukemia in Children

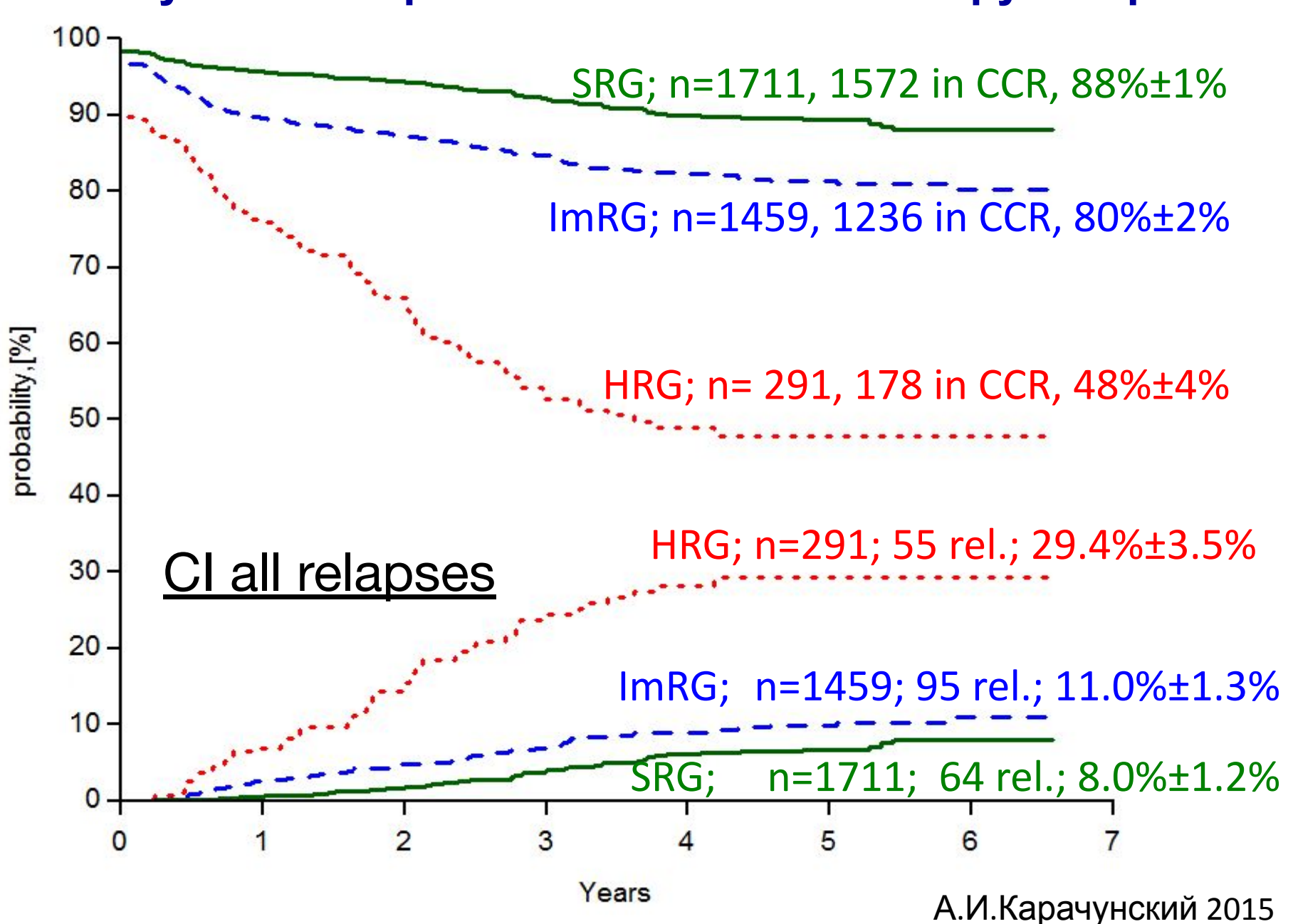


Результаты лечения ОЛЛ



ALL-MB 2008:

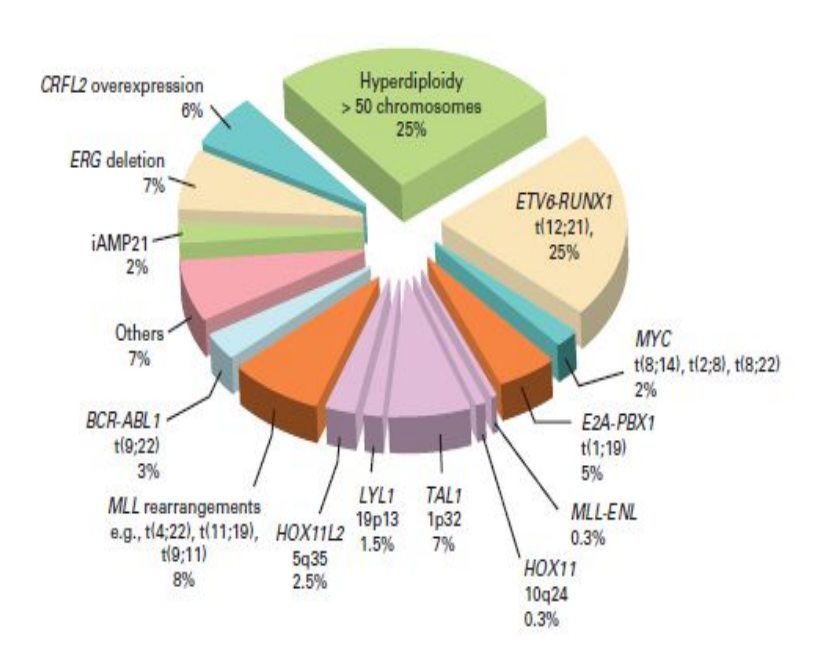
Результаты терапии в зависимости от группы риска



Прогностические факторы ОЛЛ у детей

Фактор	Благоприятные	Неблагоприятные
Возраст	>1 года и < 10 лет	<1 года и >10 лет
Пол	Женский	Мужской
Инициальный лейкоцитоз	< 50 x10 9/л	> 50 x 10 9/л
Иммунофенотип	Common ОЛЛ	Про-В, ТлинейныйОЛЛ
Поражение ЦНС	HET	ДА
Генетические аномалии	Гипердиплоидность, t(12;21) TEL/AML,	Гиподиплоидность, t(9;22), t(4;11) реанжировка MLL
Ранний ответ на терапию	Да на 7 и 15 день	Нет на 7 и 15 день
Статус ремиссии после индукции	Полная ремиссия	Отсутствие ремиссии
МОБ	< 0,01% через 6-8 нед терапии	> 0,01% через 6-8 нед терапии

Молекулярно-биологические факторы прогноза ОЛЛ



Хороший прогноз

предшественники

t(12;21)(p13;q22) ETV6-RUNX1

Trisomies 4 and 10 t(1;19)(q23;p13) TCF3-PBX1

T-

ТЛІРЕДШЕСТВЕННИК І

И

HOX11 rearrangement MLL-ENL

NOTCH/FBXW7 mutations

Плохой прогноз

предшественник Infaction osomal amplification of Исhromosome 21

t(4;11)(q21;q23) MLL-AF4

t(9;22)(q34;q11.2) BCR-ABL1

t(8;14)(q23;q32.3)

Hypodiploidy < 44 chromosomes CRLF2 overexpression

1KZF1 deletions/mutations
JAK mutations

T-

предшественник HUX/TLZ (TLX3) rearrangement

HOXA rearrangement

Early T-cell precursor

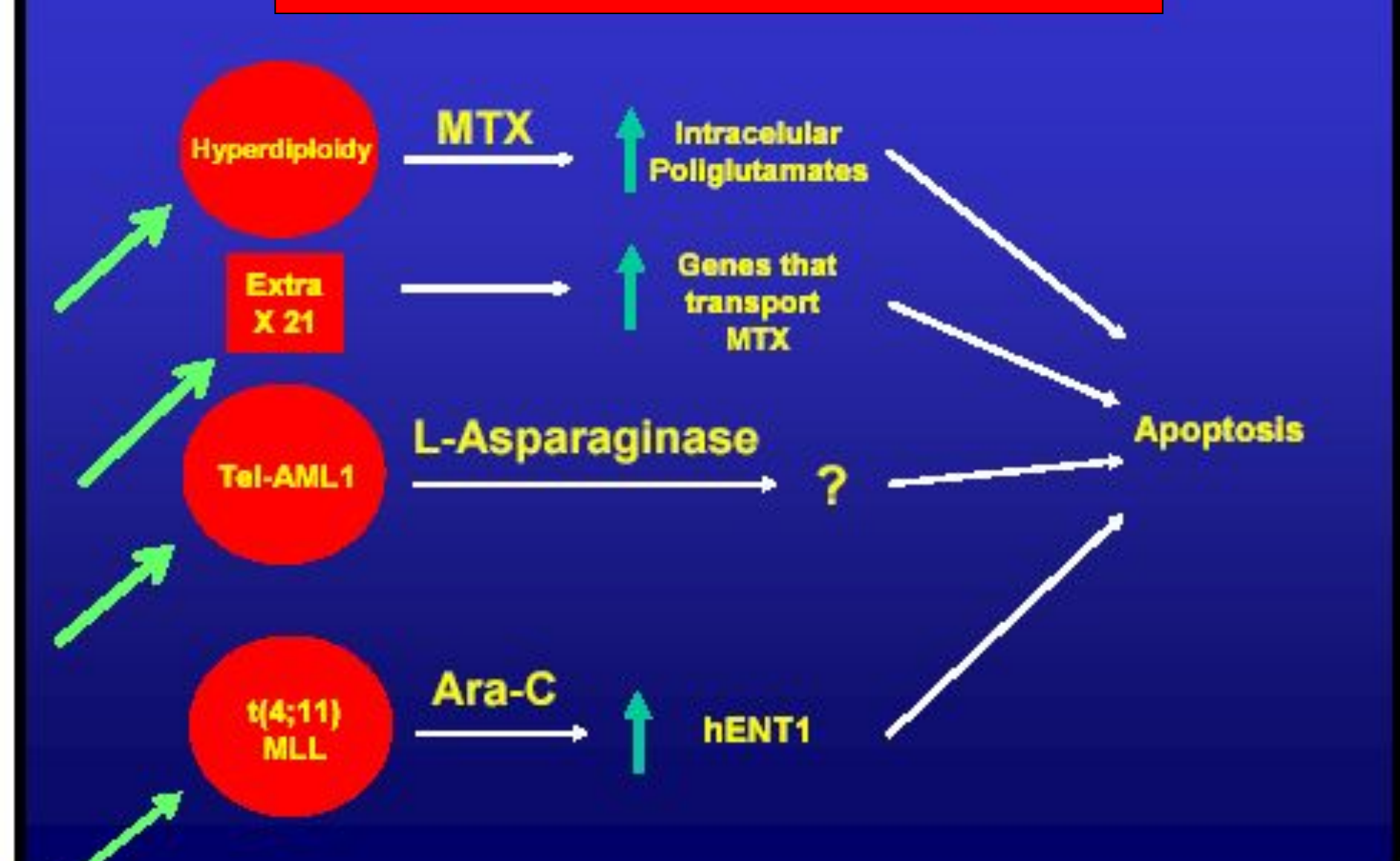
PTEN-P13K-AKT pathway

Т-*М№ДЩА®*Т**Вещув€**твительны к ИТК В-предшественники

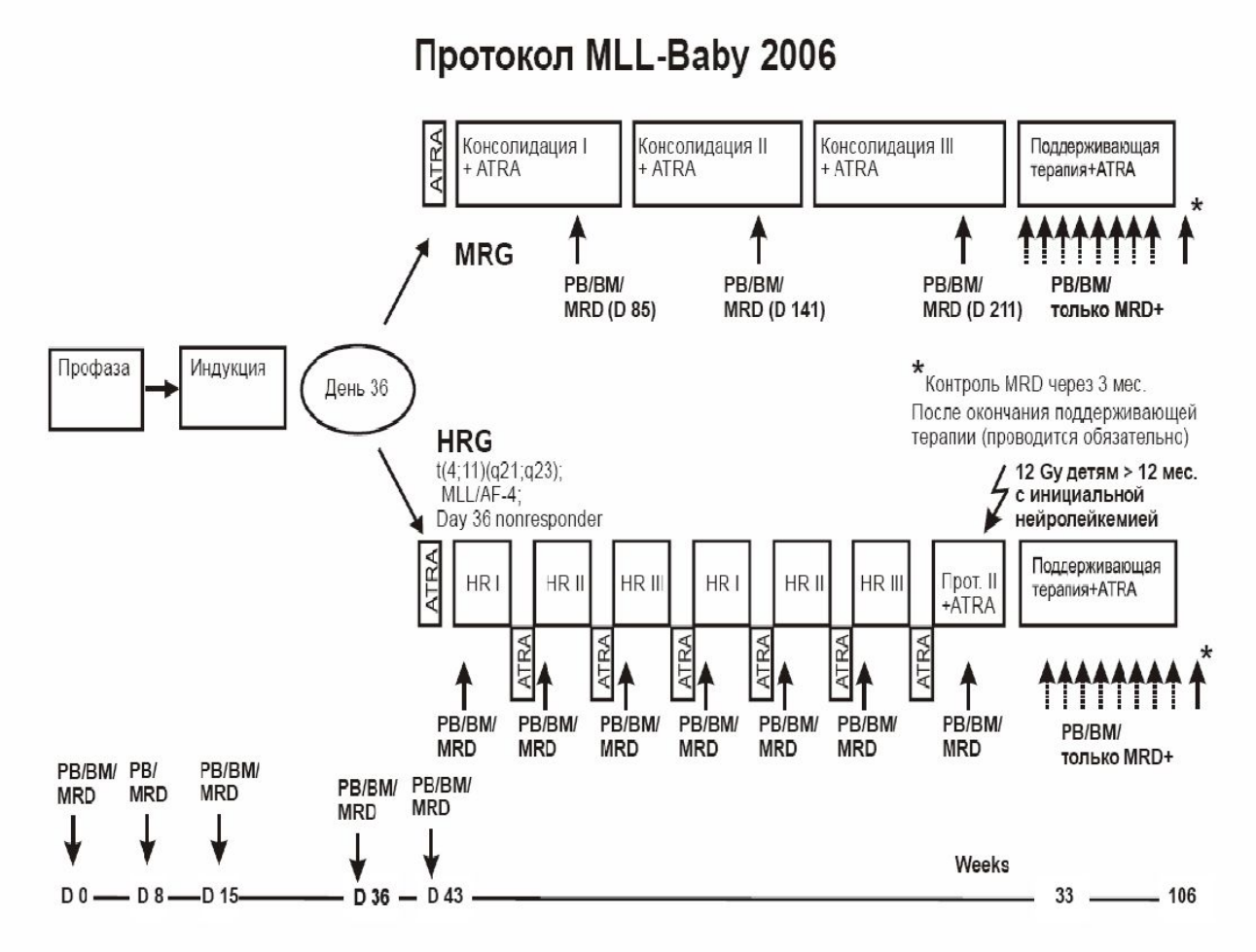
JAK mutation – потенциально чувствительны к ингибиторам JAK2

Biology, Risk Stratification, and Therapy of Pediatric Acute Leukemias: An Update

Генотип ОЛЛ и терапевтический ответ



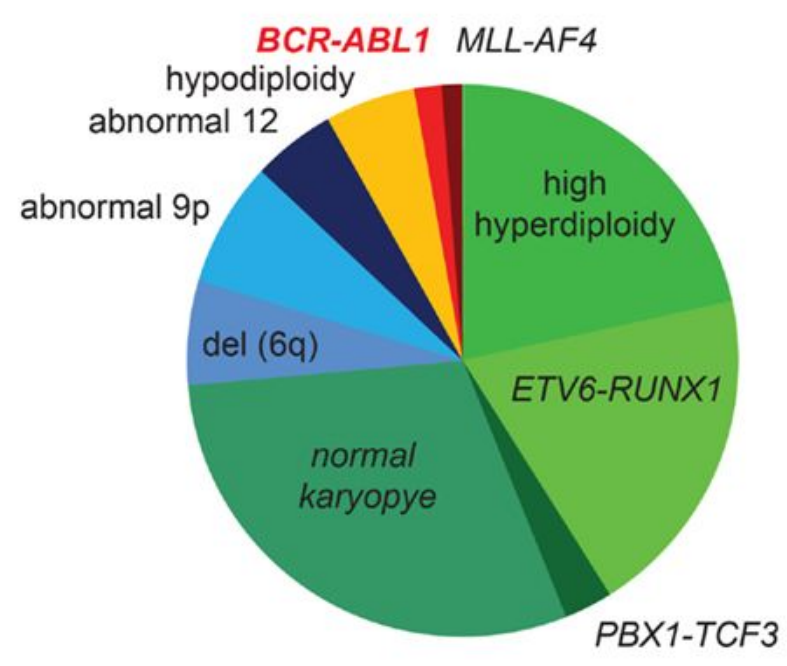
ОЛЛ у детей до 1 года



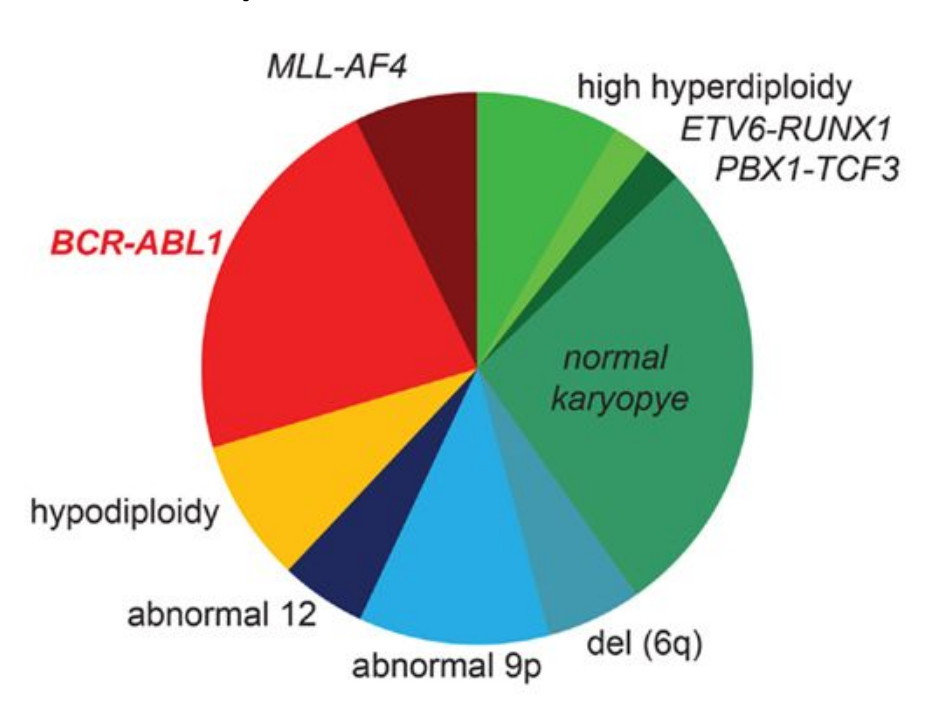
- 3-5% от ОЛЛ
- Неблагоприятн ый прогноз (5-летняя ОВ 35-40%)
- Часто исходный лейкоцитоз
- Часто поражение ЦНС

Ph+ ОЛЛ у детей и взрослых

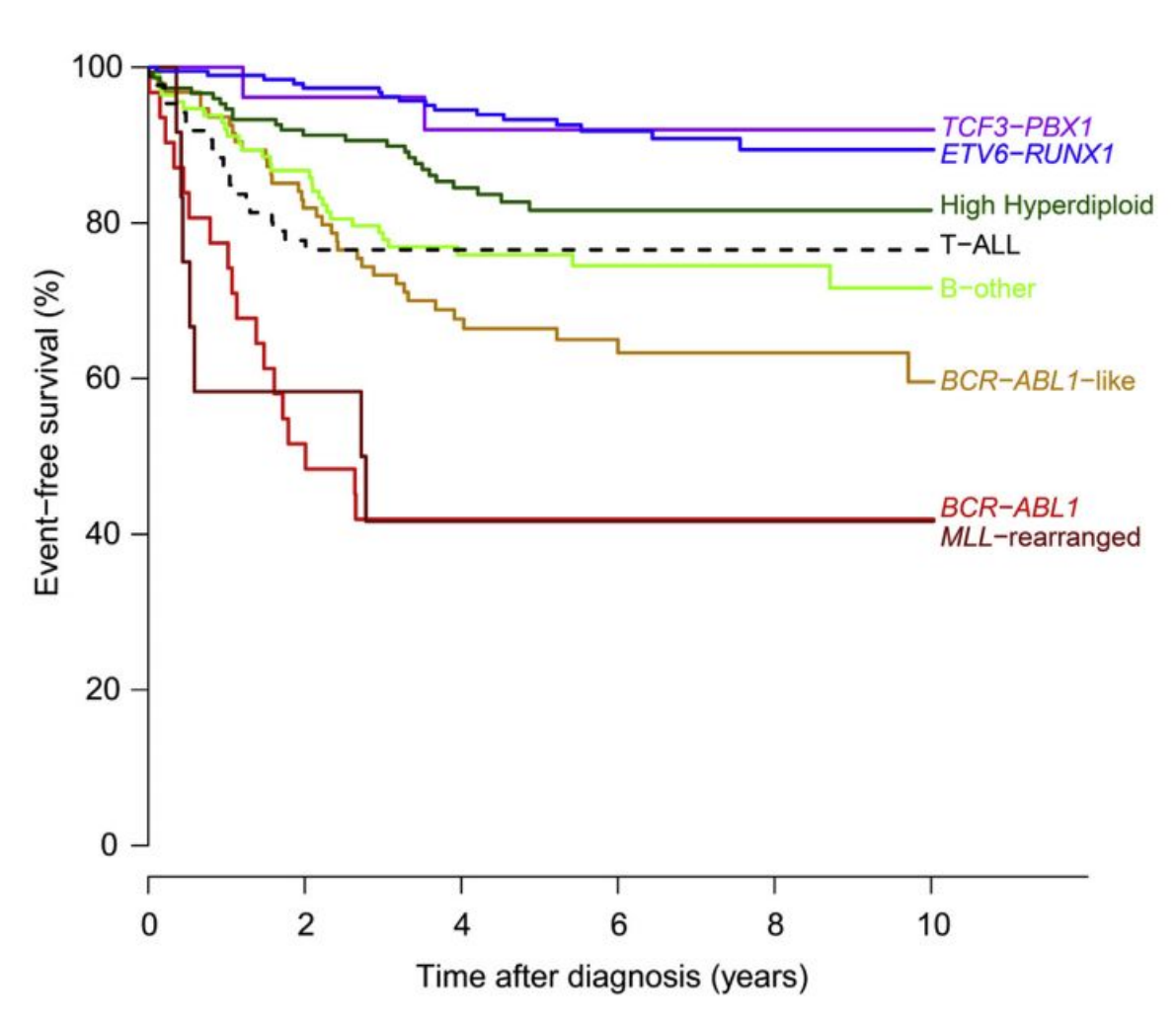




Частота у взрослых (>18 лет)



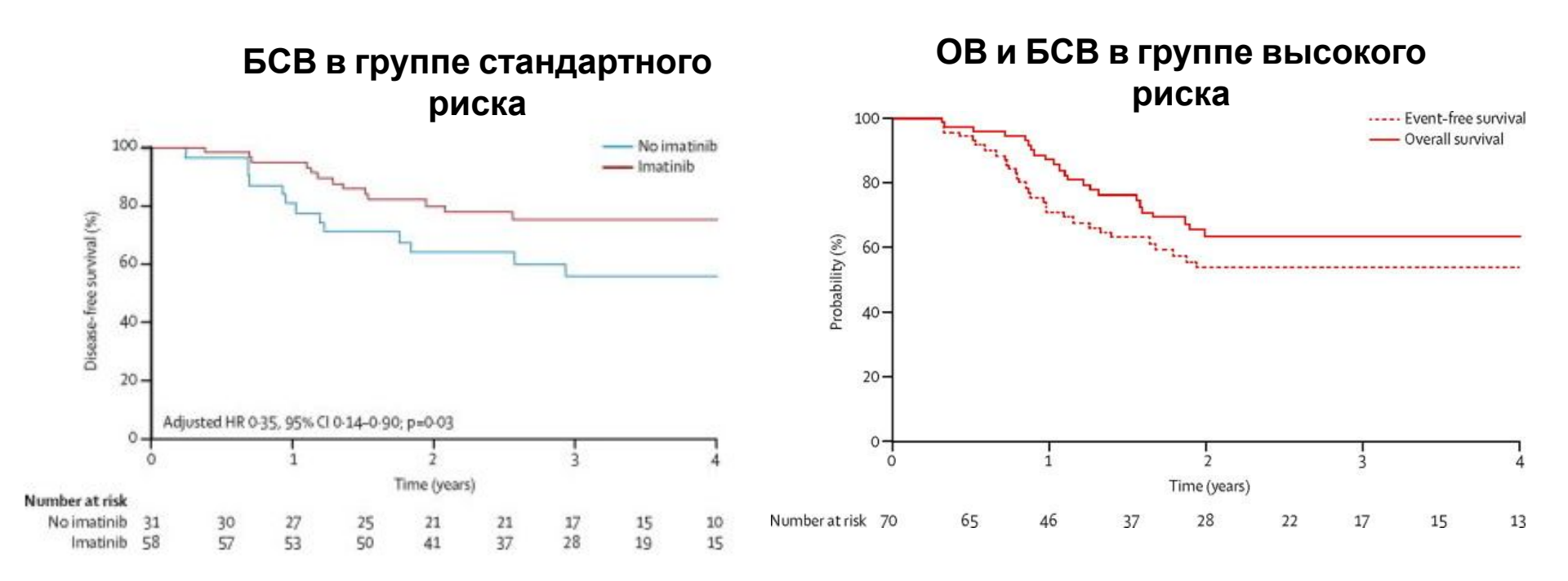
Прогноз до эпохи ИТК



Данные голландской группы DCOG и немецкой COALL до введения в практику ингибиторов тирозинкиназ.

Van der Veer A et al. Blood 2013;122(15):2622e9

Результаты исследования EsPhALL



Минимальная остаточная болезнь (МОБ)

- Материал для исследования КМ, для Т-ОЛЛ КМ и перифер. кровь.
- Методы выявления МОБ:

Проточная цитометрия – 1:104 (80%)

Молекулярно-биологическая детекция продуктов реарранжировки генов иммуноглобулинов и Т-клеточного рецептора -1:10_{5 (98%)}

Молекулярно-биологическое выявление химерных генов- 1:10₆

Влияние МОБ на безрецидивную выживаемость пациентов с ОЛЛ

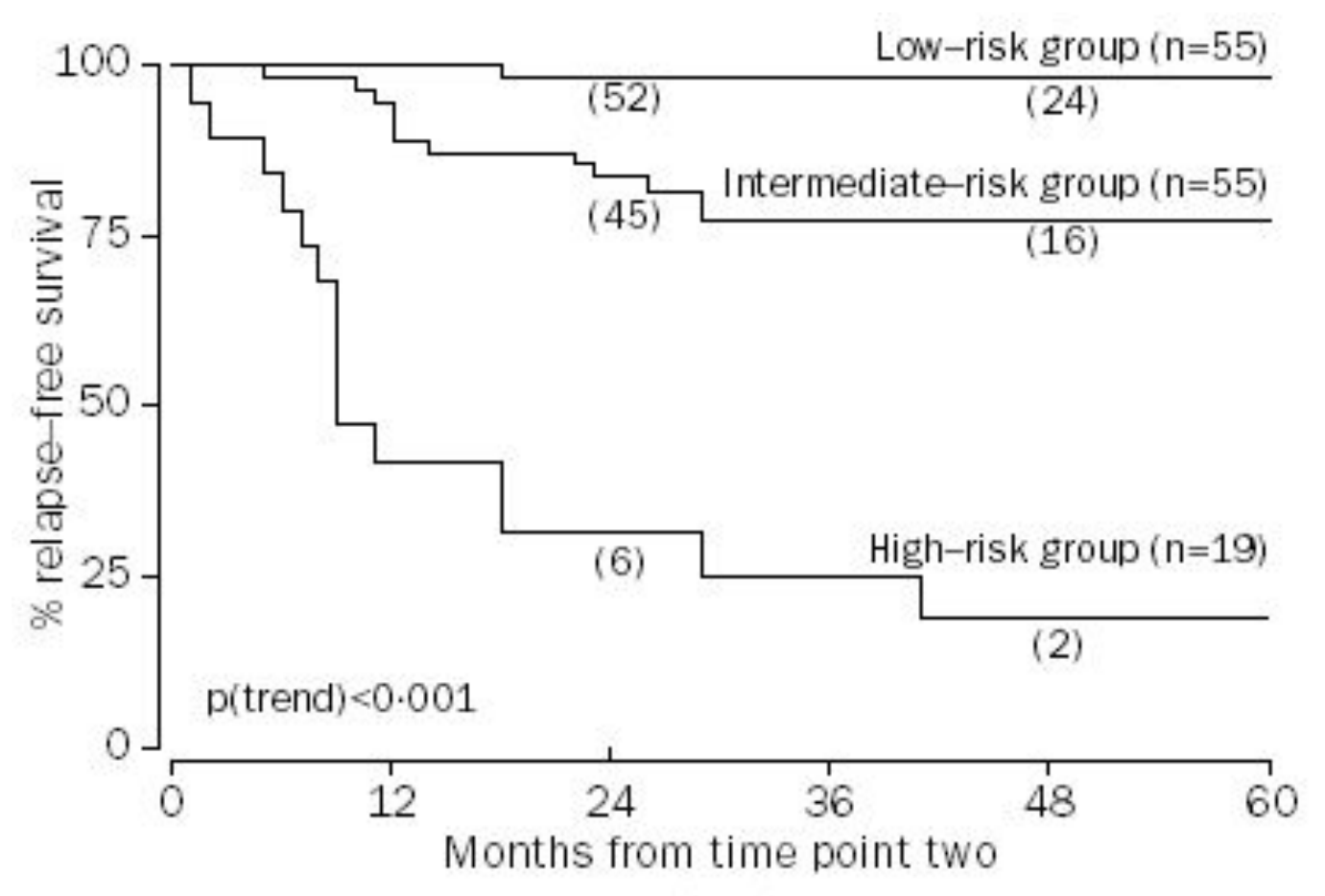
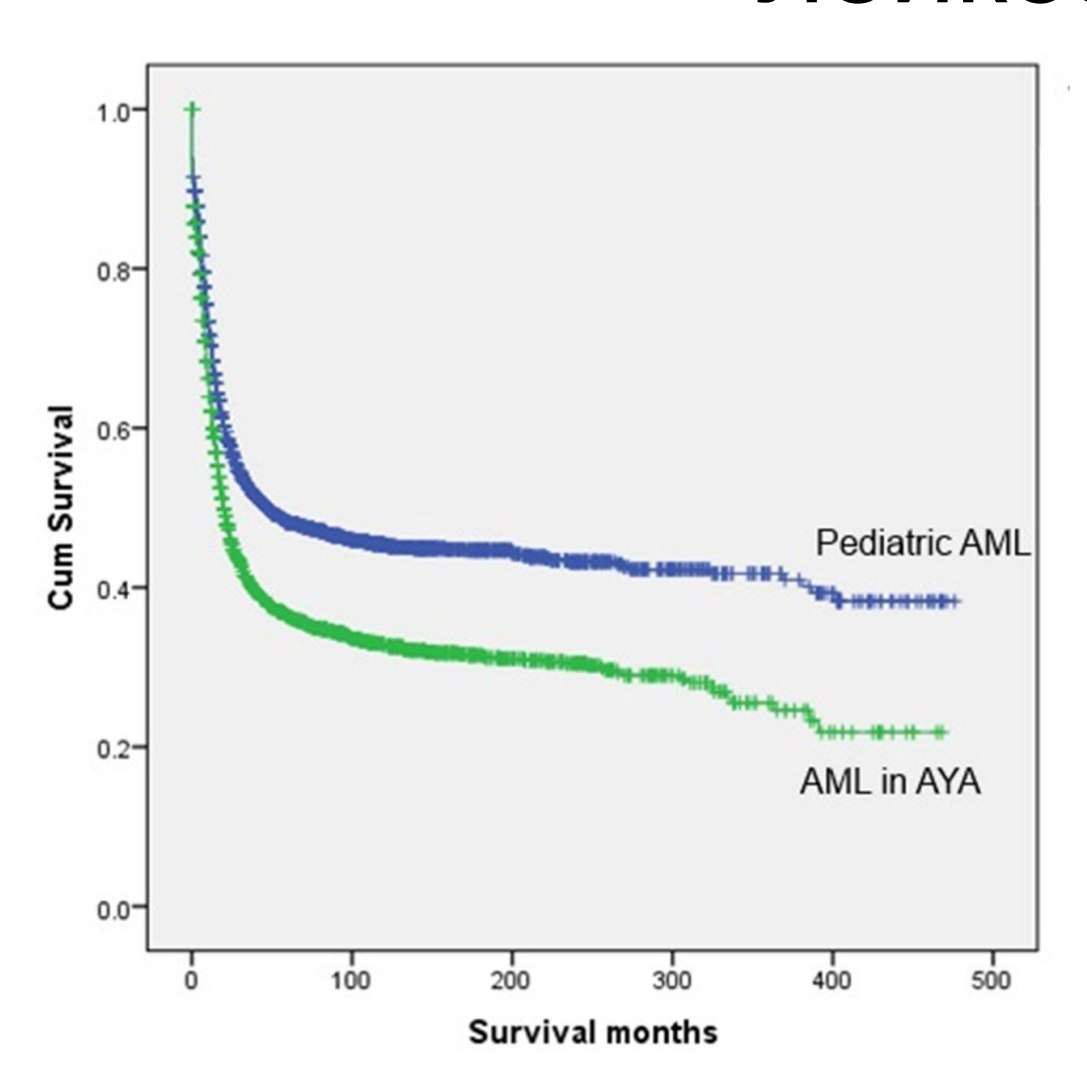
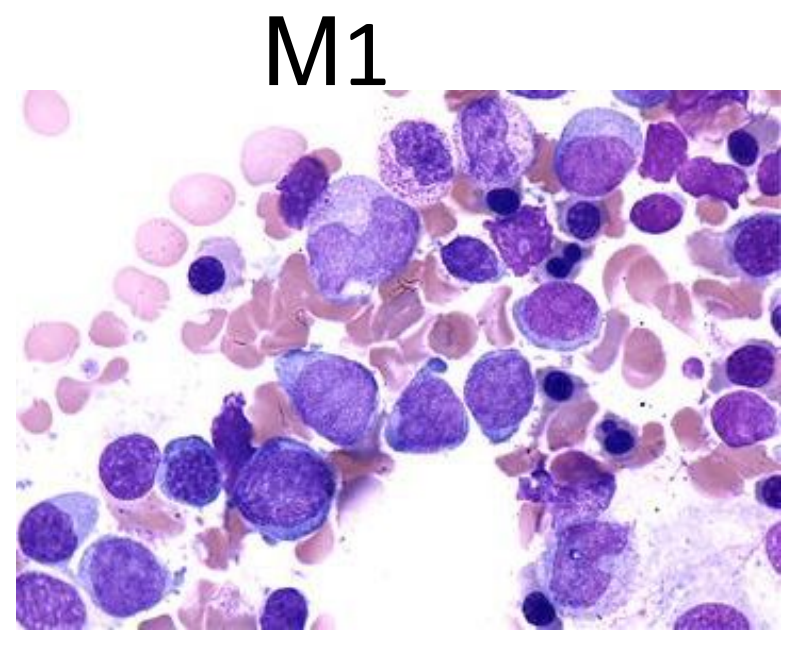


Figure 4: Relapse-free survival of the three MRD-based risk groups, as defined by MRD information at time points one and two

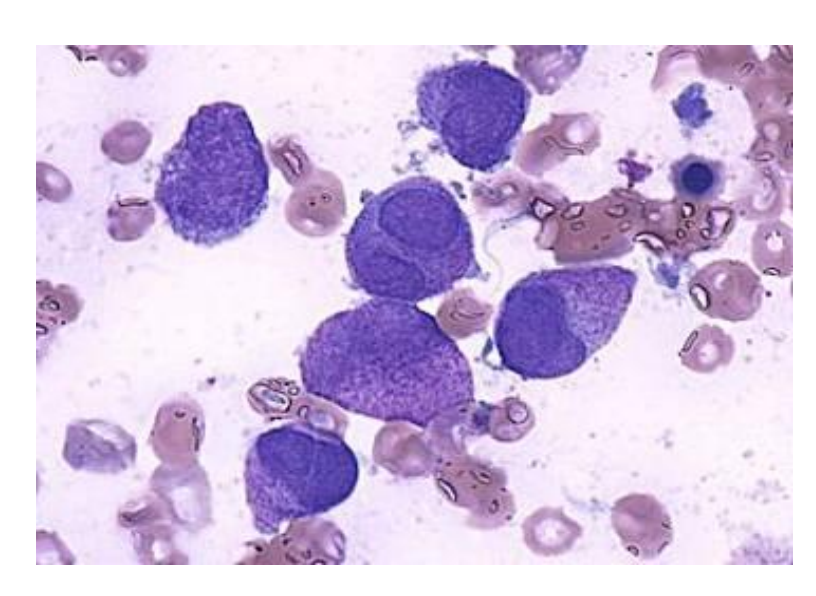
Острый миелобластный лейкоз



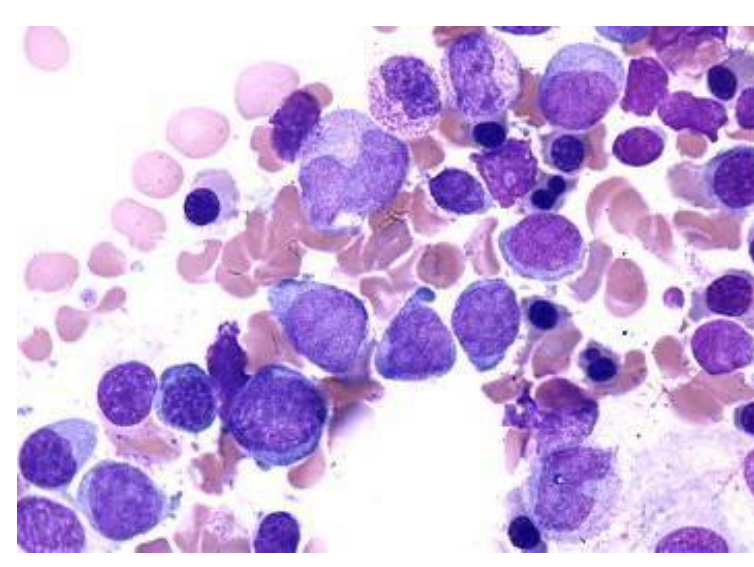
- 15-20% пациентов с острыми лейкозами
- Прогноз хуже, чем при ОЛЛ: 5-летняя общая выживаемость 40-50%
- 10-20% пациентов с первичной резистентностью



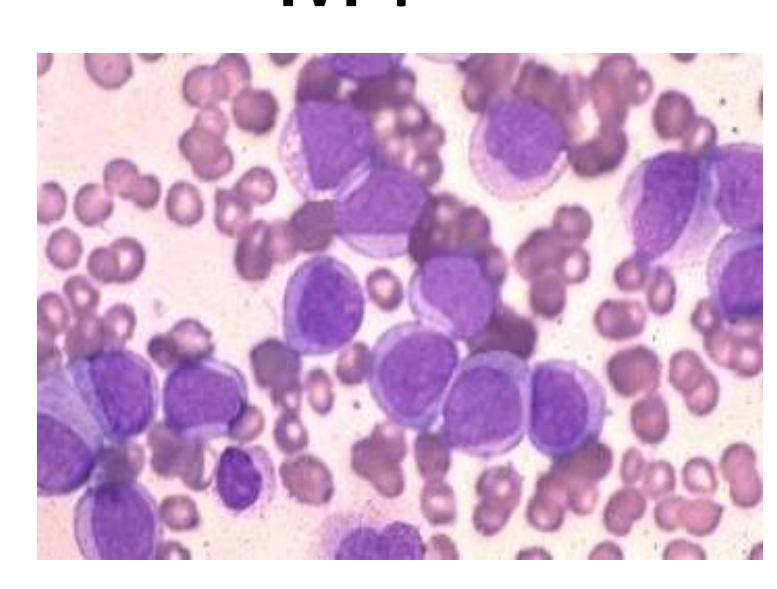




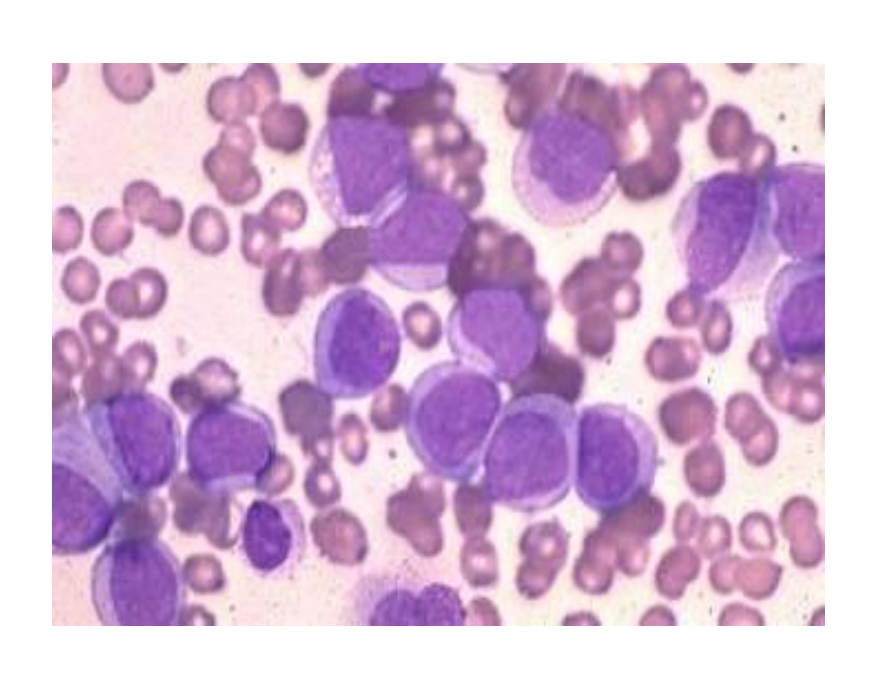
M2

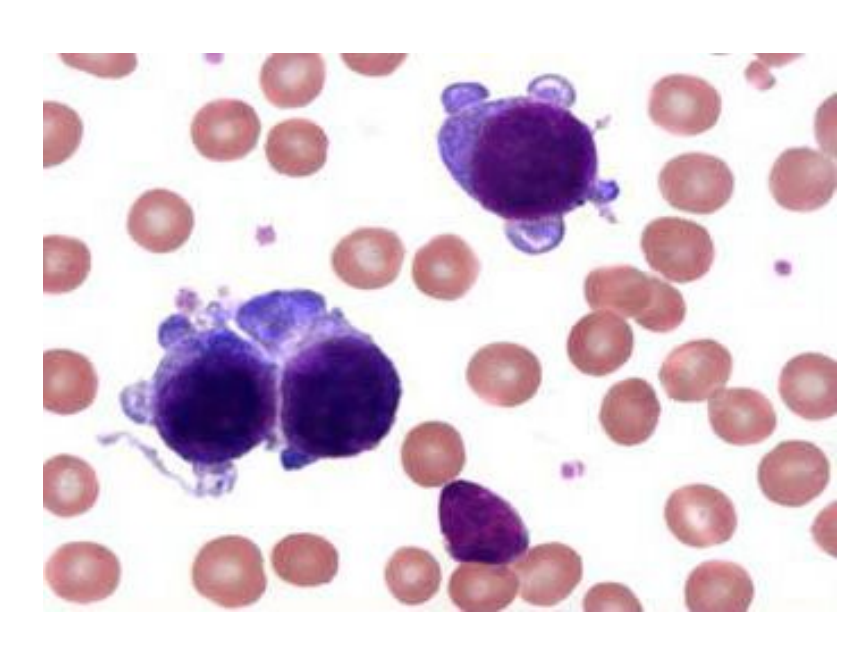


M4

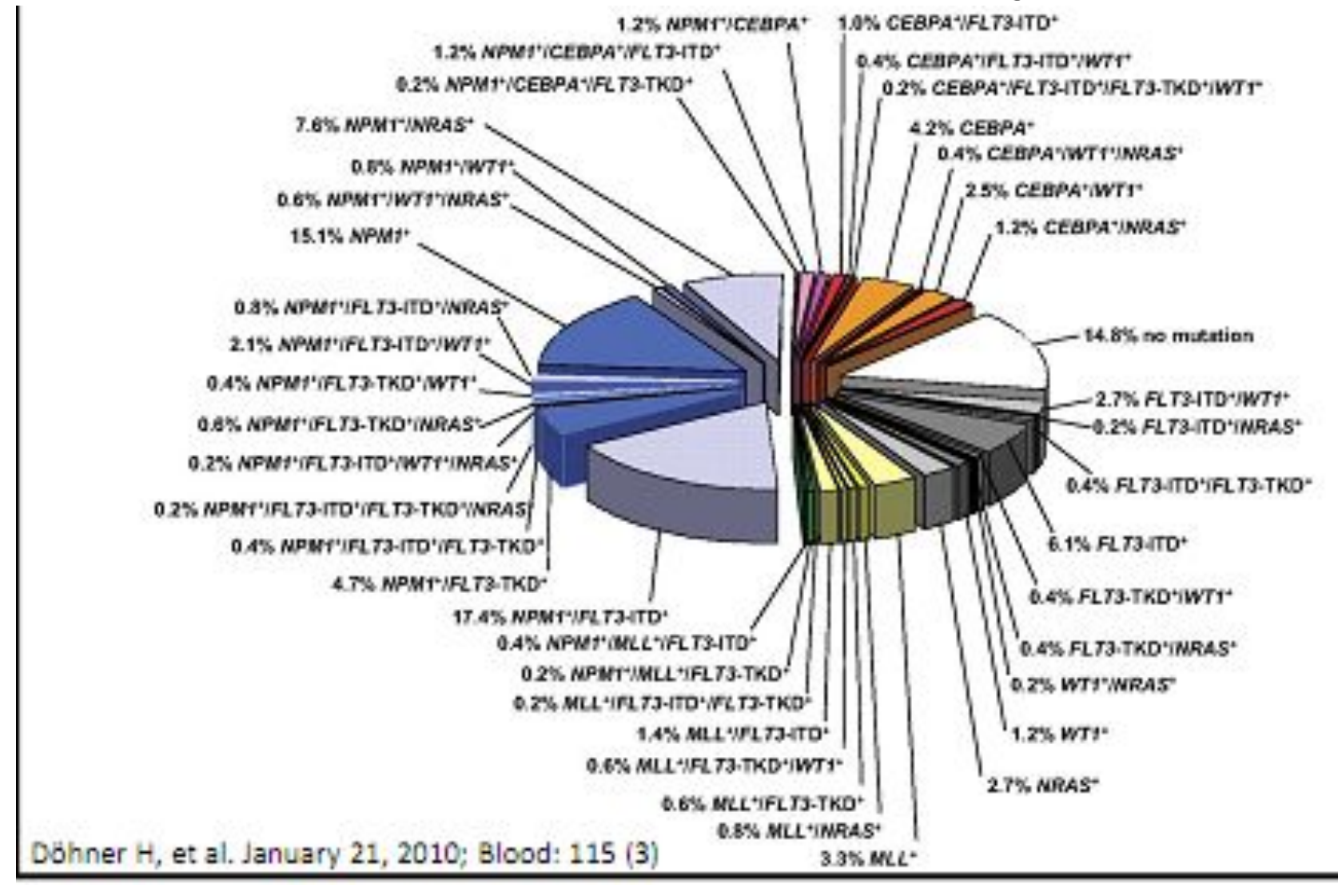


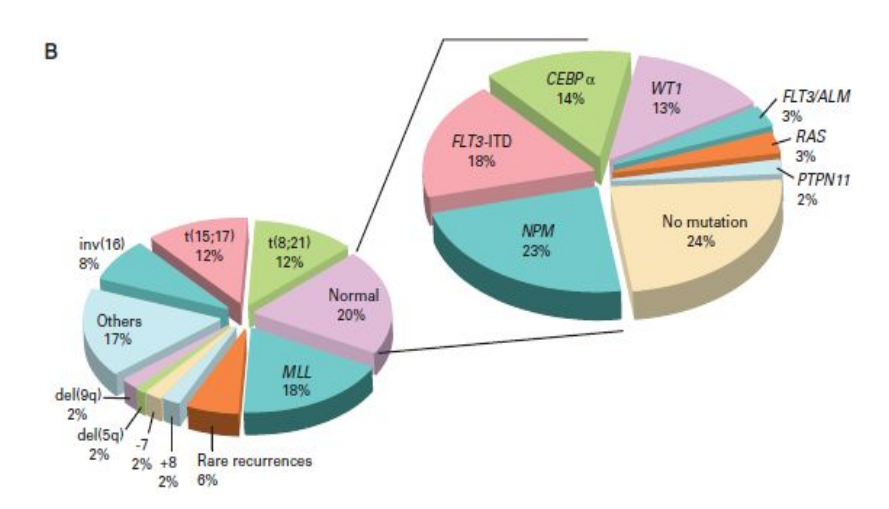
M6 M7





Классификация ОМЛ у детей





Хороший прогноз

FAB: M3 (APL)

Возраст – не имеет

значения

Синдром Дауна Молекулярные изменения, связанные с хорошим прогнозом:

t(8;21) (RUNX1-RUNX1T1):

inv(16) (CBFB-MYH11):

t(15;17) (PML-RARA):

Nucleophosmin (NPM1)

CEBPA

Факторы прогноза при

ОМ прогноз

FAB: M0, или с минимальной дифференцировкой M7 (megakaryocytic leukemia)

Индекс массы тела:

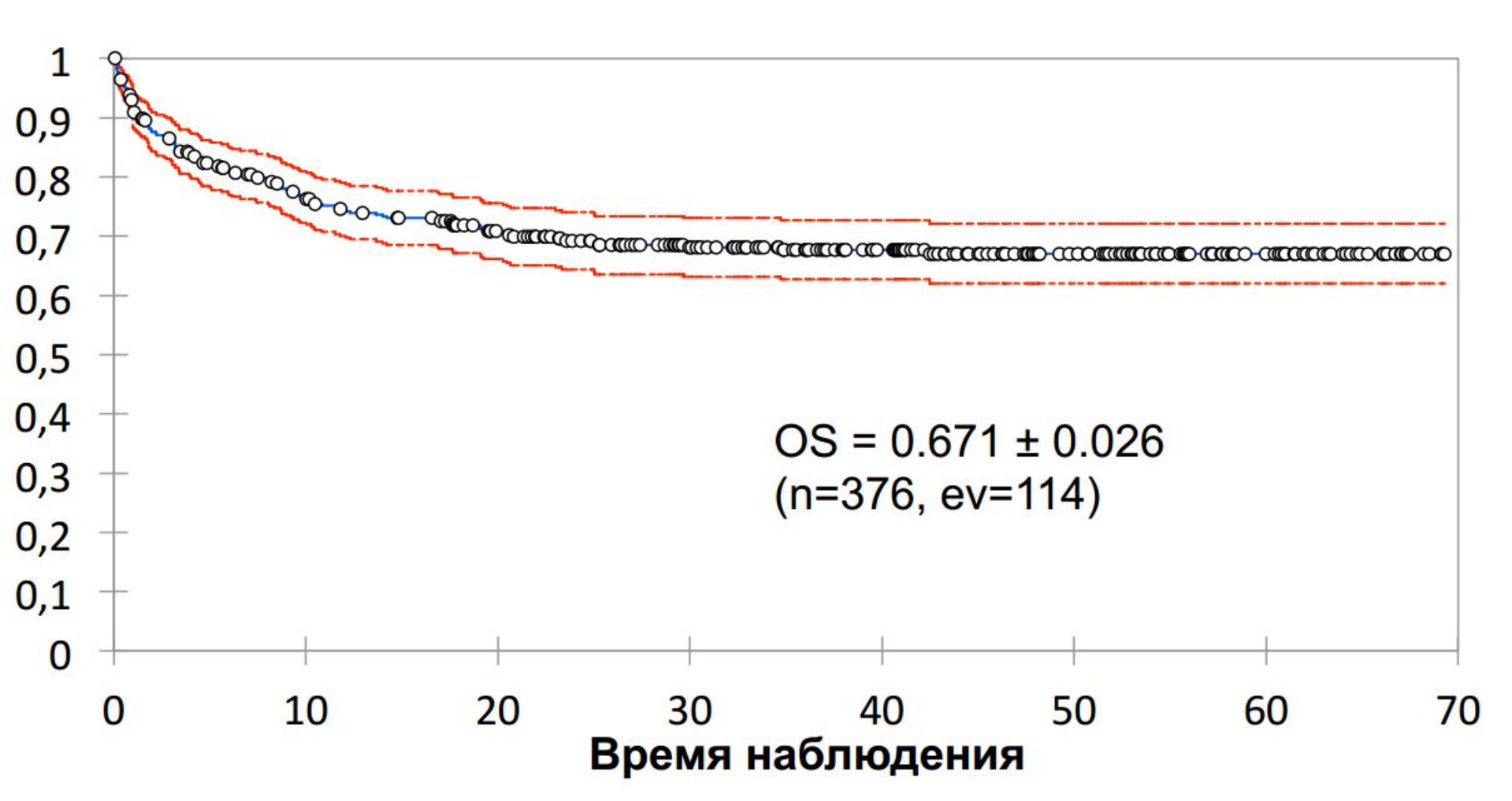
избыточный вес по возрасту более 95% **Лейкоцитоз** более 50 х 10⁹/л **ЦНС** – нейролейкемия

Плохой ответ >15% бластов после 1 индукции

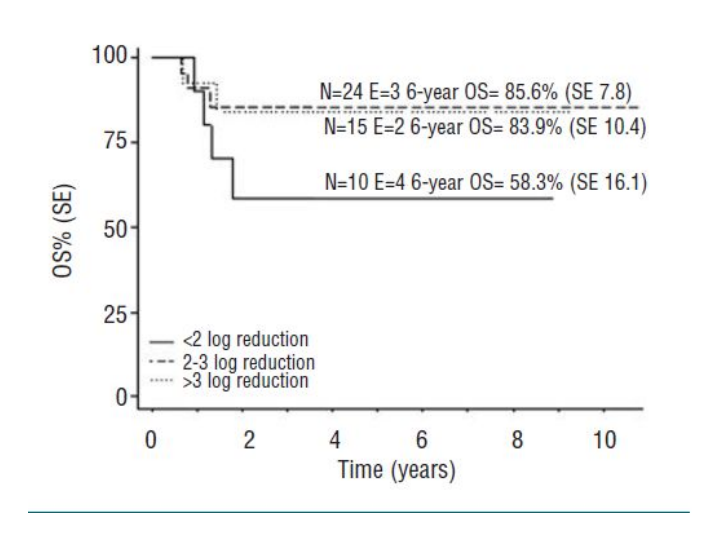
Молекулярные изменения, связанные с плохим прогнозом :

Chromosomes 5 and 7 abnormalities Chromosome 3 (inv(3)(q21;q26) or t(3;3)(q21;q26)) and *EVI1* overexpression *FLT3*

Общая выживаемость детей с ОМЛ в РФ



Стратификация на группы риска пациентов с ОМЛ в зависимости от цито/молекулярно-генетических маркеров и МОБ

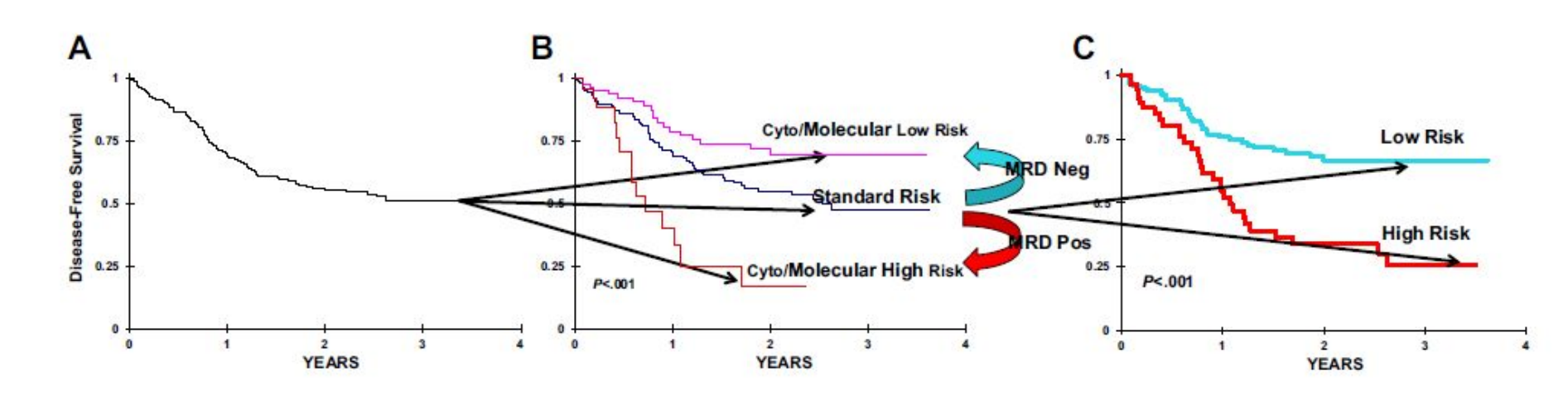


Общая выживаемость в зависимости от снижения

MRD (log reduction) у детей с ОМЛ RUNX1-RUNX1T1 (благоприятный прогноз)

Martina Pigazzi,' Elena Manara,' Barbara Buldini,' Valzerda Beqiri,' Valeria Bisio,' Claudia Tregnago,' Roberto Rondelli,' Riccardo Masetti,' Maria Caterina Putti,' Franca Fagioli,' Carmelo Rizzari,' Andrea Pession,' and Franco Locatelli' and Giuseppe Basso'*

haematologica 2015; 100:e99



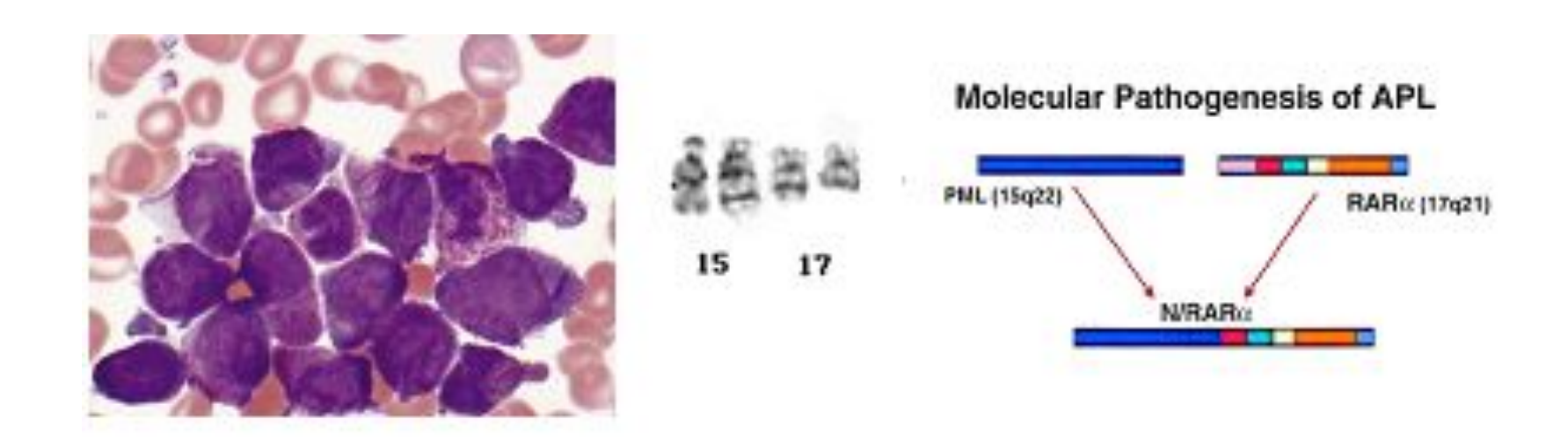
Принципы терапии

- ОМЛ
- Интенсивные циклы XT (цитозар+антрациклины)
- Профилактика нейролейкемии
- ТГСК у 50% детей

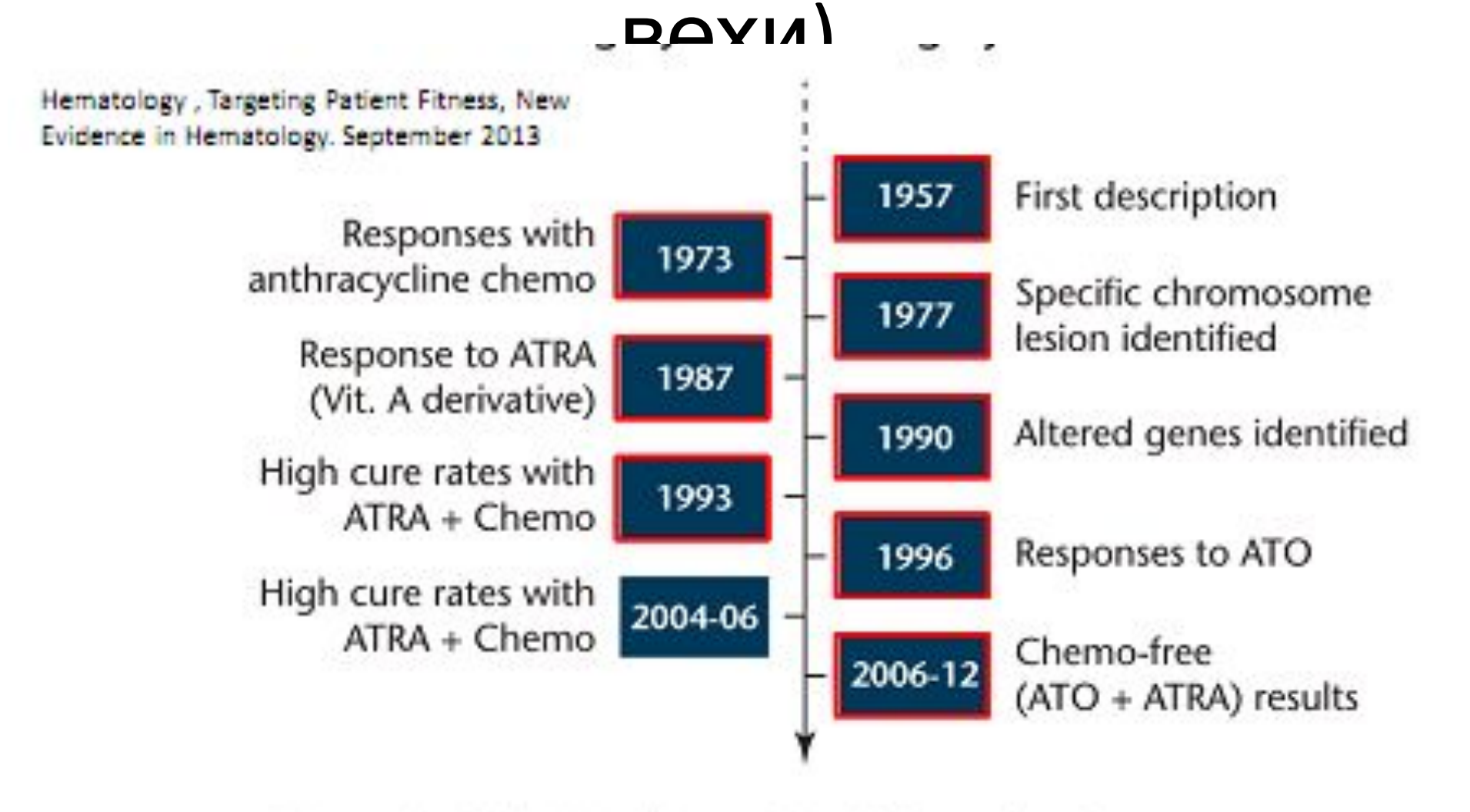
Риск-адаптированная терапия

Промиелоцитарный лейкоз у детей

- 3-5% от всех ОМЛ
- Высокая частота развития лейкостаза и коагулопатии

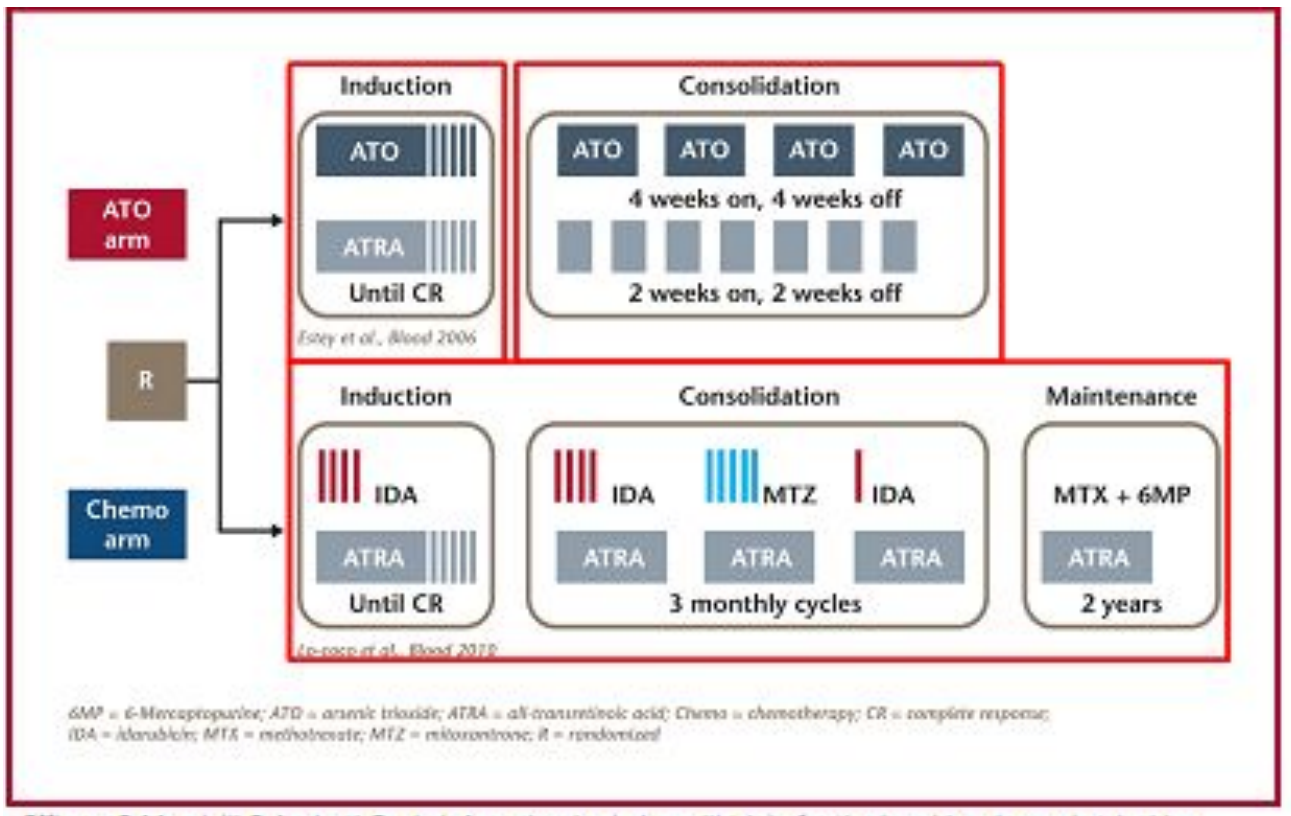


Терапия ОПЛ (исторические



ATO = arsenic trioxide; ATRA = all-transretinoic acid; Chemo = chemotherapy Adapted from Dr. Lo-Coco's presentation at AMHOQ, 2013

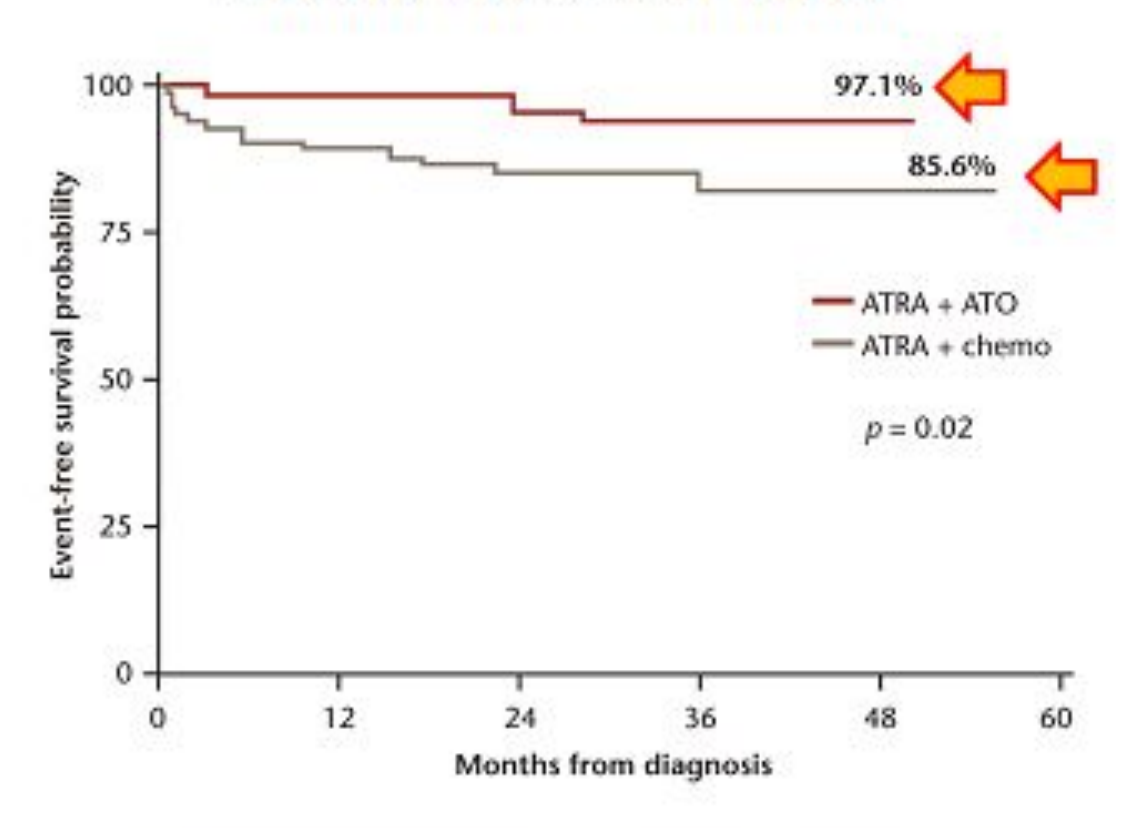
Дифференцировочная терапия ОПЛ



Efficace F, Mandelli F, Avvisati G, et al. A randomized phase III trial of retinoic acid and arsenic trioxide versus retinoic acid and chemotherapy in acute promyelocytic leukemia patients: Health-related quality of life outcomes. EHA Congress Abstracts 2014-51330

Бессобытийная выживаемость пациентов с ОПЛ

Event-Free Survival



ATO = arsenic trioxide; ATRA = all-transretinoic acid; Chemo = chemotherapy

Hematology, Targeting Patient Fitness, New Evidence in Hematology. September 2013

ОМЛ при синдроме Дауна

- Риск развития ОЛ в течении первых 5 лет жизни увеличивается в 50 раз
- Более 50% лейкозов миелоидные
- Изменения в костном мозге, характерные для МДС
- Более высокая чувствительность к ПХТ
- У 10% транзиторный аномальный миелопоэз (ТАМ) возникает на первой неделе жизни, не требует лечения, в 70% случаев спонтанная регрессия



ОМЛ при синдроме Дауна

- Риск развития ОЛ в течении первых 5 лет жизни увеличивается в 50 раз
- Более 50% лейкозов миелоидные
- Изменения в костном мозге, характерные для МДС
- Присутствует мутация в GATA-1 гене
- Более высокая чувствительность к ПХТ

Транзиторный аномальный миелопоэз (TAM)

- Диагностируется у 10% новорожденных с синдромом Дауна
- Дебют заболевания: первая неделя жизни
- Клинико-морфологическая картина ОМЛ
- Бласты имеют антигенные характеристики мегакариобластов
- Спонтанная ремиссия у 70% в течении 3-х месяцев
- У 30% пациентов трансформируется в ОМЛ (чаще М7)

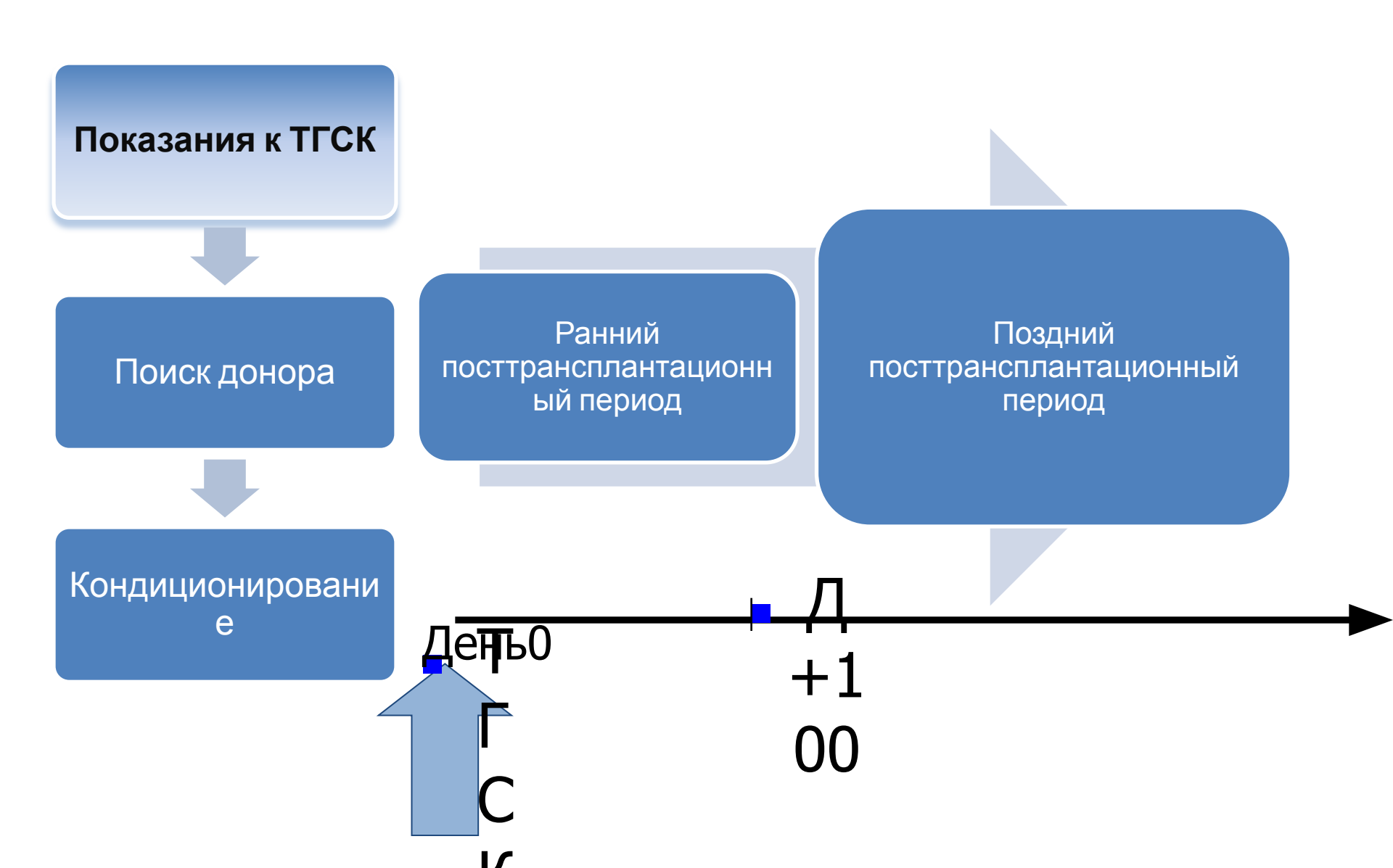
Трансплантация костного мозга:

гемопоэтических • Трансплантацией стволовых клеток (ТГСК) называется введение реципиенту для замещения кроветворения полученных от донора гемопоэтических стволовых клеток (ГСК) (аутологичных, аллогенных) назначения миело(немиело)-аблативных и иммуноаблативных доз цитостатических препаратов и/или лучевой терапии (тотального облучения тела).



Проф. Эдвард Доналл
Томас –
Нобелевский лауреат (1990)
за разработку метода
лечения с помощью
трансплантации костного
мозга

Схема ТГСК



Исторические этапы развития РК

- 1960-1970: ТГСК как мера «спасения» после летальной дозы облучения, первые режимы кондиционирования основаны на ТОТ в сочетании с циклофосфаном
- 1970-1980:Попытки замены ТОТ «радиомиметиками» и цитостатиками, продемонстрировавших эффективность в стандартных режимах терапии (цитозар, кармустин, тиогуанин, этопозид)
- 1980-1990: понятие дозоинтенсивности, использование максимально переносимых доз (до достижения дозолимитирующей токсичности), снижение числа рецидивов с повышением трансплантационной летальности
- Большая часть режимов исследовано в рамках КИ I-II фазы, пр рандомизации Bu-Cy vs. ТВІ-Су продемонстрирована разница в профиле токсичности без явных различий в долгосрочных результатах

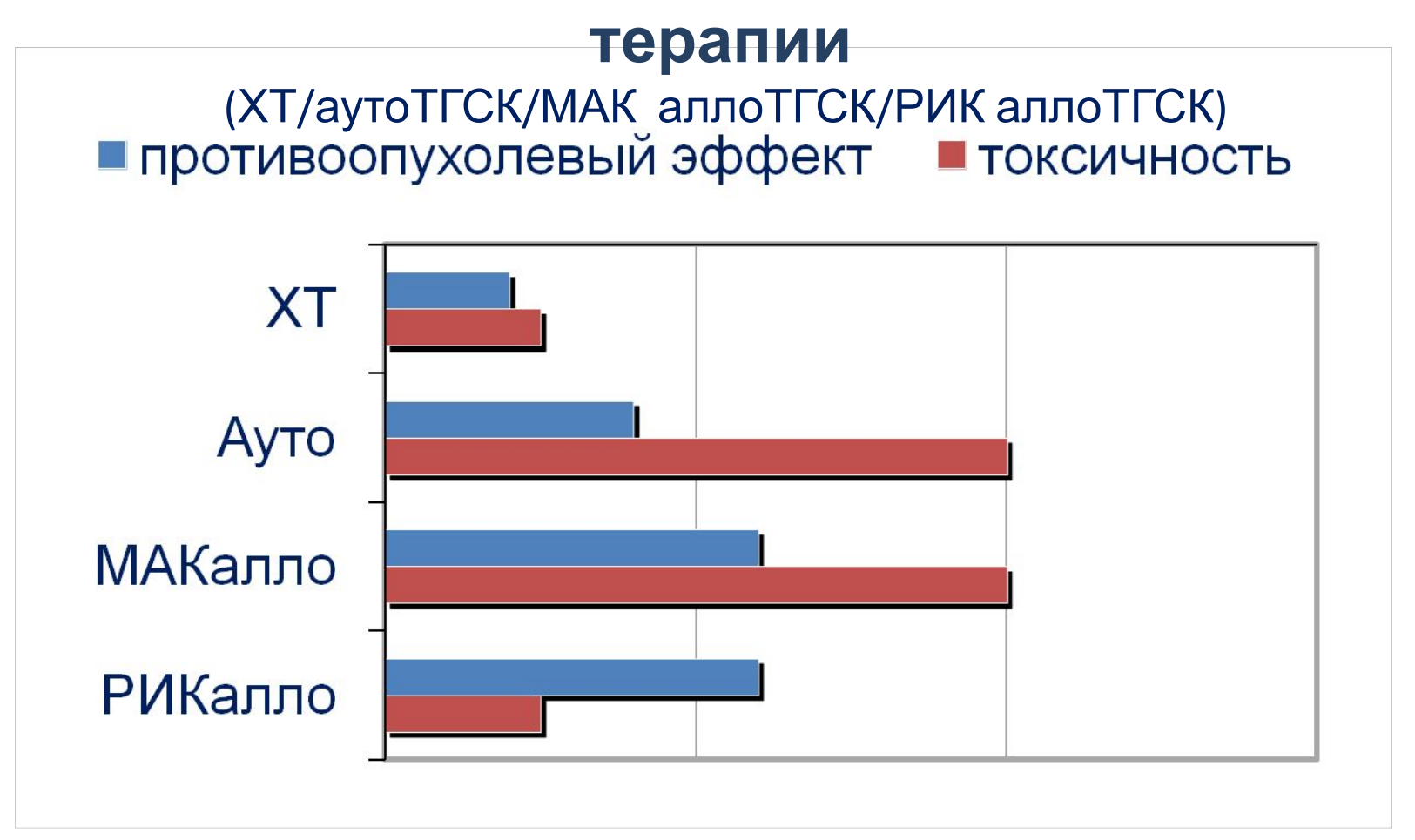
Концепции, лежащие в основе РК

- «Высвобождение места»: высвобождение гемопоэтических ниш от ГСК реципиента. Аргументы: более быстрое приживление при РИК алло-ТГСК у пациентов с аплазией
- «Иммуносупрессия»: предотвращение реакции «хозяин-против-трансплантата». Необходимость в иммуносупрессии зависит от степени HLAнесовместимости.
- «Эрадикация опухоли»: Зависит от степени злокачественности заболевания





Соотношение противоопухолевого эффекта и токсичности при различных вариантах



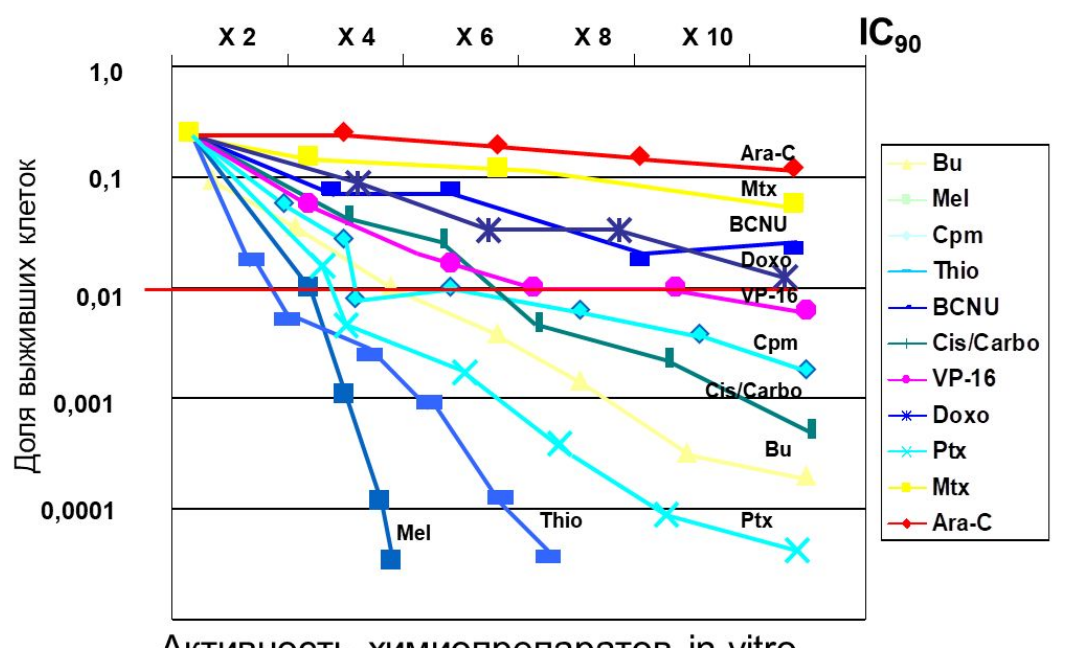
Выбор препаратов для режима кондиционирования

Данные CIBMTR 2009-2012

Adhible Cibirin 2003-2012								
Аллогенные (n=26538)			Аутологичные (n=27005)					
Препарат	N	%	Препарат	N	%			
Флударабин	14438	54	Мелфалан	21488	80			
Циклофосфан	13765	52	Этопозид	11162	41			
Бусульфан	11673	44	Кармустин	8486	31			
АТГ	8301	31	Цитозар	6694	25			
Мелфалан	4147	16	Циклофосфан	4297	16			
MAT	2065	8	Бусульфан	1943	7			
Этопозид	1430	5	Карбоплатин	1486	5			
Тиотепа	1193	4	MAT	1214	4			
Цитозар	679	3	Тиотепа	987	4			
Кармустин	479	2	Гемцитабин	214	1			
Клофарабин	315	1	РФП	205	1			
Треосульфан	311	1	Бортезомиб	195	1			
Пентостатин	154	1	Ломустин	151	1			

- Исходно использовалась эмпирическая комбинация ТОТ + Циклофосфан
- В дальнейшем чаще всего использовалась комбинация бусульфанциклофосфан (Santos, Tutschka)
- Постепенная замена концепции «высвобождения пространства» концепцией «трансплантат-противопухоли»

Выбор препаратов для режима кондиционирования



Клинически оправдано использование высокодозных режимов, позволяющих увеличить цитотоксичность препарата для опухолевых клеток не менее, чем на 3 порядка по сравнению со стандартными дозами.

Активность химиопрепаратов in vitro

 IC_{90} — концентрация препарата, уменьшающая количество клеток на 90% (log kill)

Дозолимитирующая токсичность

Препарат	Гемат.	Мукозит	Нейро	Нефро	Кардио	Пульмо	воб	иД¹
Циклофосфан	+				+			8 x
Мелфалан	+	+						6 x
Тиотепа	+	+	+					8-10 x
Бусульфан	+						+	8 x
BCNU	+					+	+	3 x
Цисплатин			+	+				3 x
Карбоплатин				+				4-5 x
Этопозид	+	+						3-6 x
Доксорубицин	+	+			+			3-4 x
Паклитаксел	+	+	+					5 x

¹ Увеличение интенсивности дозы, допустимое при последующей ауто-ТГСК



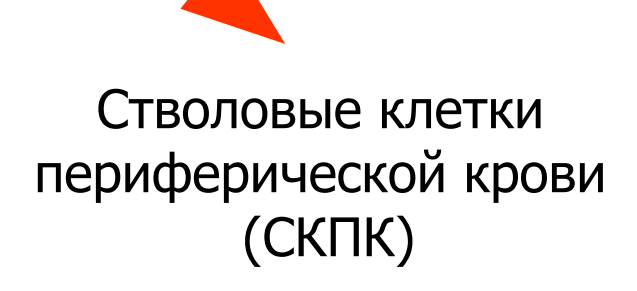


Источники СТВОЛОВЫХ **Гемопоэтических** клеток











Пуповинная кровь (**ПК**)





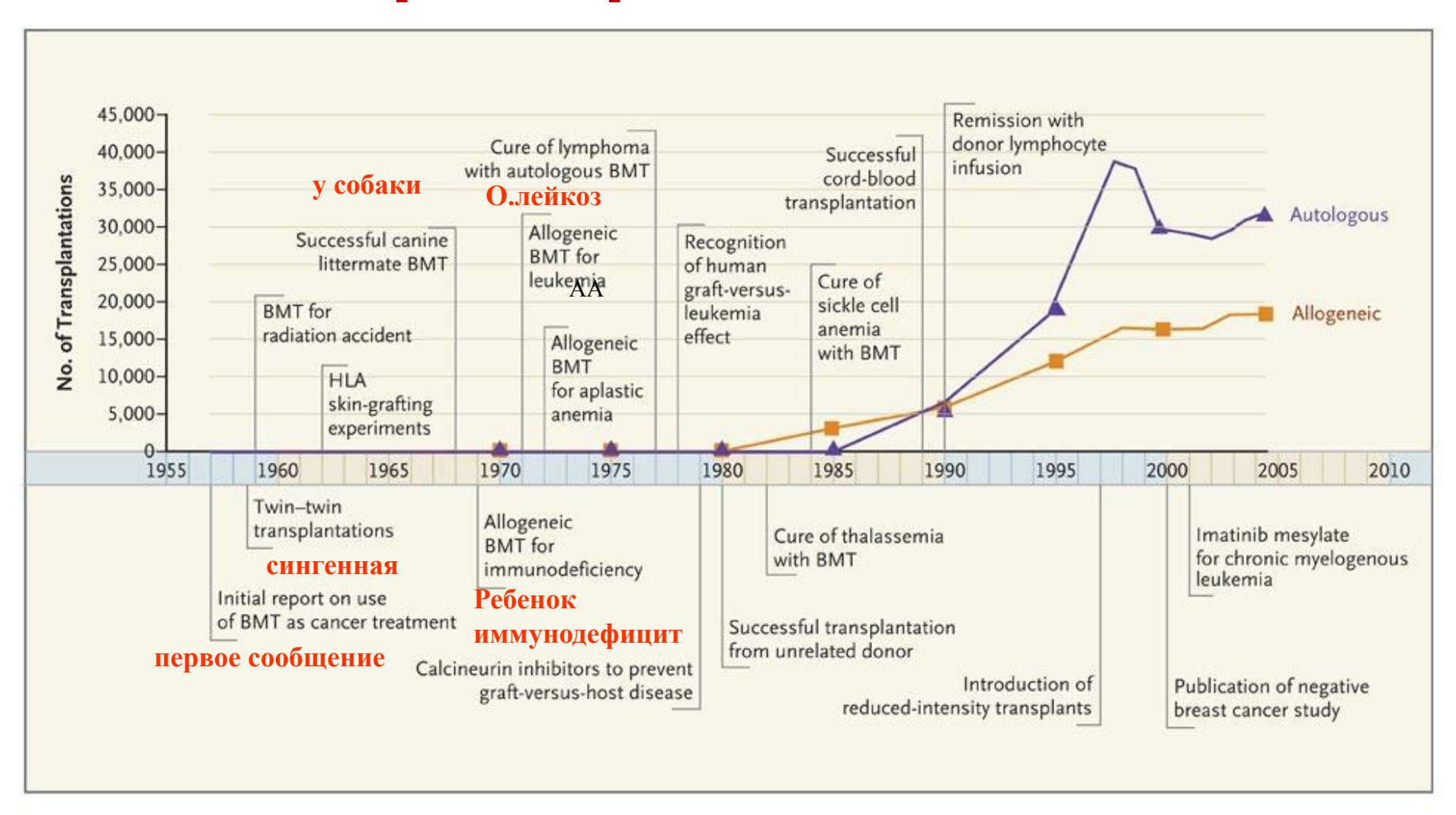
Виды трансплантаций гемопоэтических стволовых клеток

- Аллогенная трансплантация
 - Родственная
 - Сингенная
 - Неродственная

<u>В зависимости от степени совместимости по HLA-</u> <u>системе:</u>

- Полностью совместимая по основным антигенам HLA-системе
- Частично (не)совместимая по антигенам HLA-системы (по 1, 2 антигенам)
- Гаплоидентичная

История применения ТГСК



Timeline Showing Numbers of Bone Marrow Transplantations and Advances in the Field, 1957–2006.

Кафедра факультетской терапии 1-го Ленинградского медицинского института им.акад. И.П.Павлова



Ланг Г.Ф. (1975-1948)

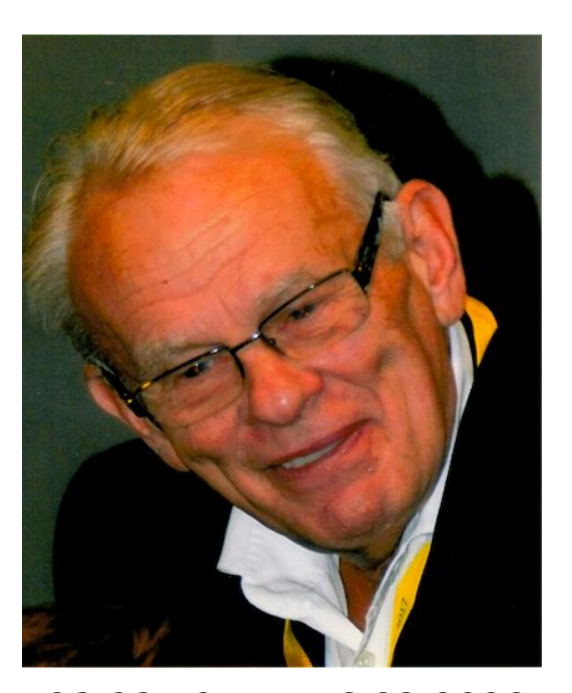


Истаманова Т. С. (1900-1986)



Алмазов В. А. (1931-2001)

Профессор Афанасьев Борис Владимирович



28.08.1947 - 16.03.2020

Направления исследований

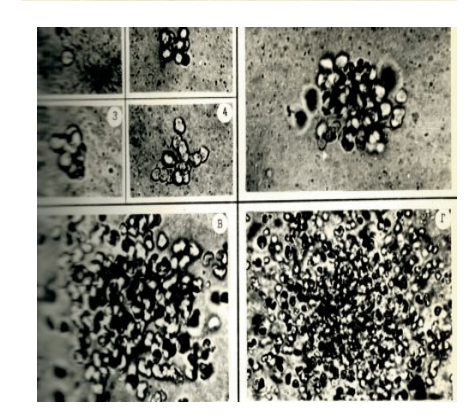
- Изучение типов роста при бластном кризе ХМЛ
- Изучение дифференцировки и роста лейкозных клеток под действием цитостатиков
- Изучение In vitro культур клеток лейкоза у детей
- МДС у взрослых и детей
- Первичная и вторичная костномозговая

нелостаточность

применение сыворотки плацентарной крови для культивирования гемопоэтических клеток человека в полутвердой агаровой среде

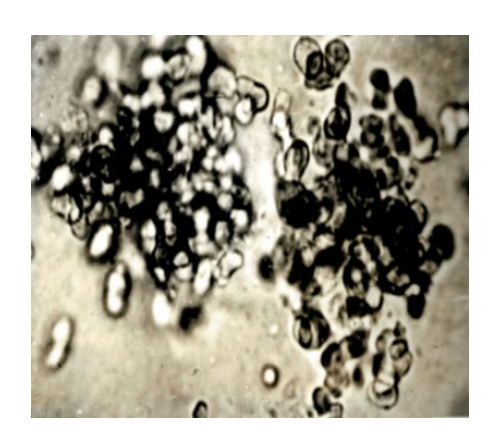
Б. В. Афгнасьев, А. Ю. Зарицкий, Т. С. Забелина

1 Ленинерадский медицинский инститит им. Н. П. Павлова, МЗ СССР



КОЛОНИЕОБРАЗУЮЩАЯ СПОСОБНОСТЬ КОСТНОГО МОЗГА ГЕМАТОЛОГИЧЕСКИ ЗДОРОВЫХ ЛИЦ В ПОЛУТВЕРДОЙ АГАРОВОЙ СРЕДЕ

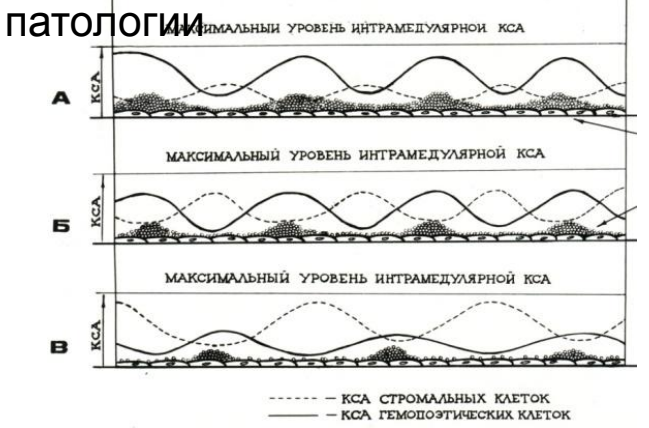
Б. В. Афанасьев, А. Ю. За рицкий, Т. С. Забелина
1. Ленинградский медицинский институт им. И. П. Павлова, МЗ СССР



С разрешения проф. Л.С.Зубаровской

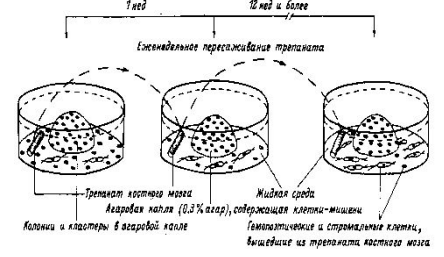
Первая монография в мировой литературе, посвящённая стволовым (родоначальным) клеткам человека в норме и различных заболеваниях

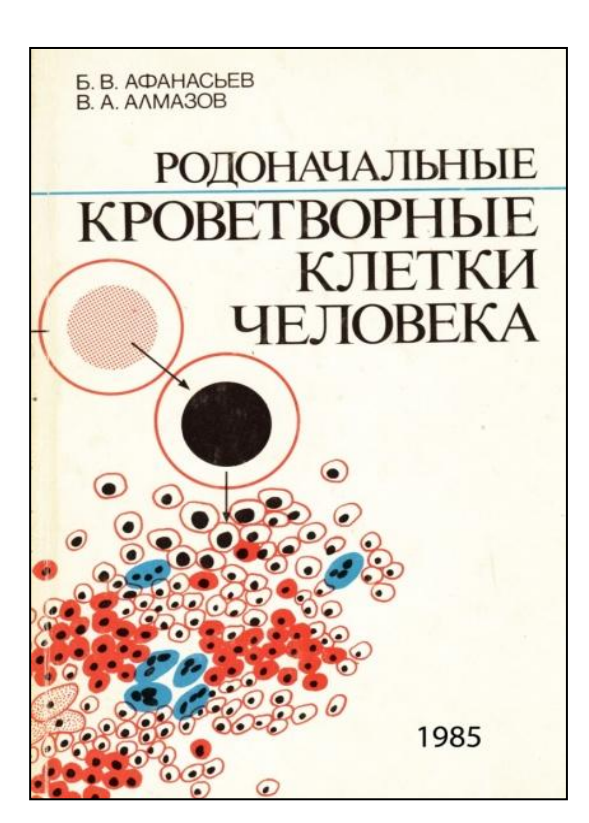
Изучение интрамедуллярной регуляции кроветворения в норме и



Гуморальная и стромальная регуляция

гемопоэза в норме и патологии





Б.В.Афанасьев, В.А.Алмазов, 1985



Б.В.Афанасьев, Г.Вагемакер, Л.С. Зубаровская, 2006

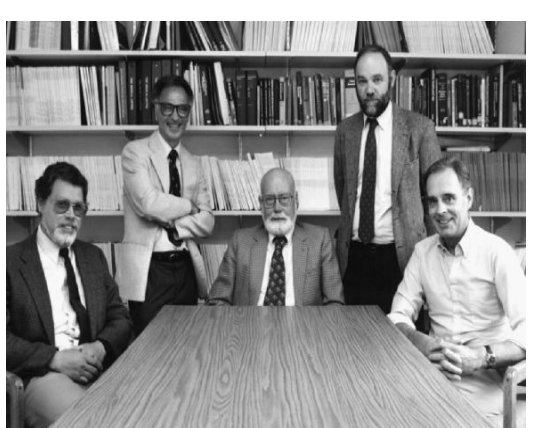
Подготовка к началу программы по ТГСК в России: стажировка Б.В.Афанасьева (Ленинград) и В.Г.Савченко (Москва) в Раковом Центре Фрэда Хатчинсона (Сиэтл, США), 1986



1986



Лауреат Нобелевской премии 1990 года за разработку метода трансплантации костного мозга Д.Томас (1920-2012)





Профессор Р. Хикман, изобретатель катетеров для центрального венозного доступа Сиэтл, 1986 год

Основные достижения проф. Афанасьева Б.В.

- 1980 Первое применение циклофосфамида у пациента с AA без алло-ТГСК
- 1982 Первое исследование, подтвердившее МДС у детей
- 1983 ХМЛ, варианты бластного криза (одно из первых исследований)
- 1985 Монография «Родоначальные кроветворные клетки человека»
- 1990 Первая ауто-ТГСК в России
- 1991 Первая аллогенная ТГСК у ребёнка в России
- 1992 Первая трансплантация периферический стволовых клеток в России
- 2000 Открытие первой университетской клиники трансплантации в России
- 2000 Первая регистрация алло-ТГСК от неродственного донора из России в EBMT
- 2002 Первая аутологичная ТГСК у рациента с опхолью ЦНС в России
- 2003 Открытие первой кафедры по подготовке специалистов в области ТГСК
- 2006 Начало программы по трансплантации от гаплоидентичного жонора
- 2009 Первый международный журнал "Cellular Therapy and Transplantation" в России
- 2009 Первая алло-ТГСК у пациента с HIV в России
- 2012 Новый этап программы по созданию Регистра неродственных доноров (registry)
- 2016 Первая трансплантация ребенку после предимплантационной_{С разрешения проф. Л.С.Зубаровской} диагностики в России



Родственная аллогенная ТКМ выполнена 17.12.1991 Диагноз: ОЛЛ, Ph(+), 3 рецидив (снимок сделан в 1999 г.)



Проф.Бюхнер Т. Университет г. Мюнстера (Германия) 1992

Награды

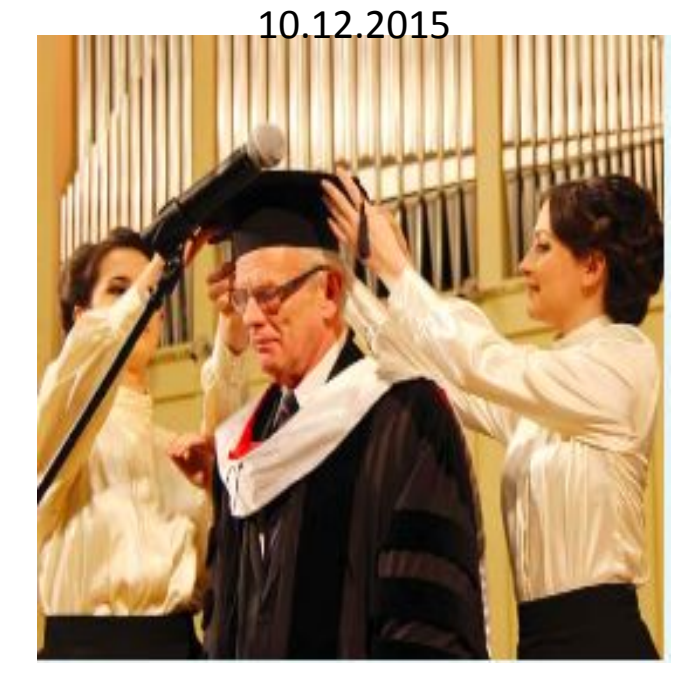
Clinical Achievement Award EBMT, 2018
Премия «Высших Клинических достижений»,

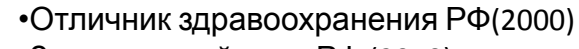
EBMT, 2018

М.Мохти, Президент EBMT 2015-2018, Афанасьев Б.В., М.Абекасис, Президент 44th Annual EBMT Meeting, Лиссабон, 2018 (слева направо)



Почетный доктор ПСПбГМУ им.акад.И.П.Павлова,





- •Заслуженный врач РФ (2010)
- •Медаль "За заслуги перед здравоохранением РФ" (2015)



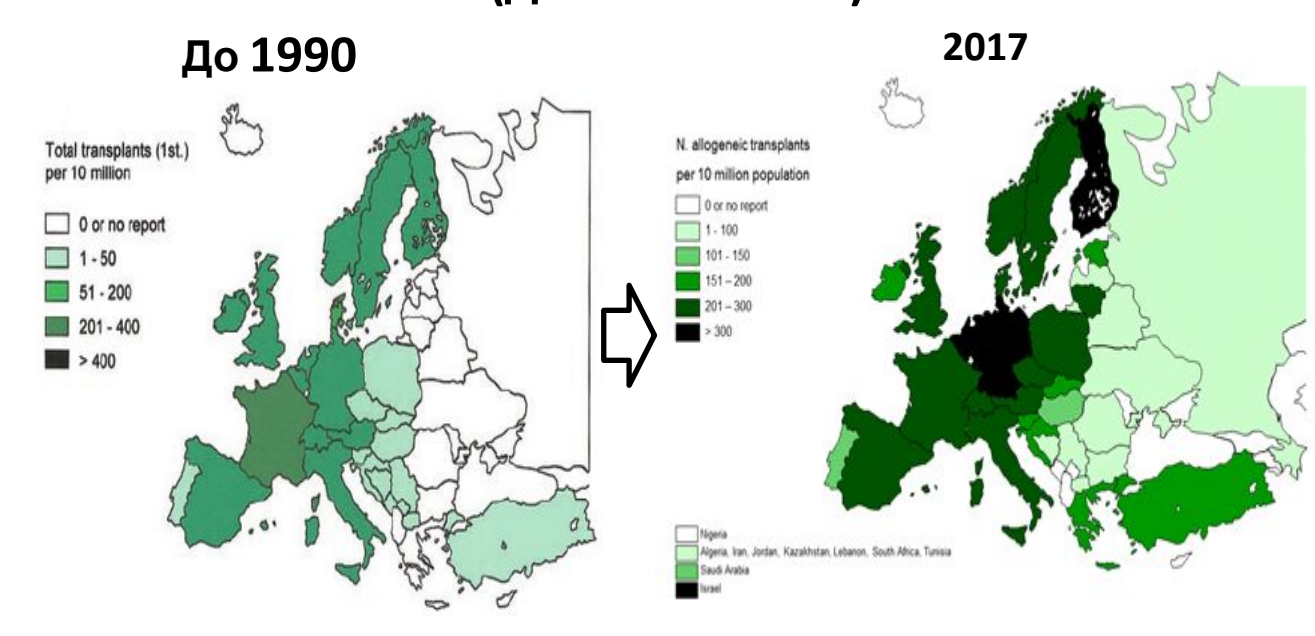
НИИ ДОГиТ им. Р.М.

Горбачевой число алло-ТГСК в Европе

(данные ЕВМТ)

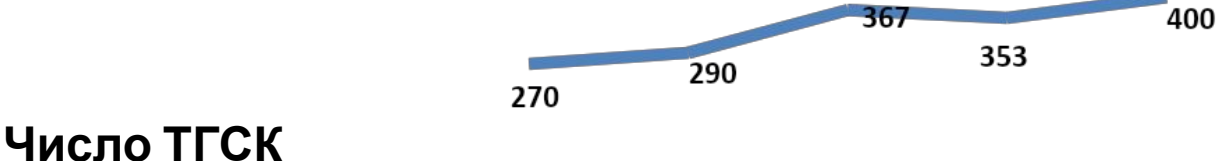


Онкологии, Гематологии и Трансплантологии им. Р.М.Горбачевой (2008)

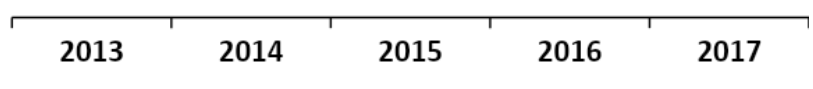


Bone Marrow Transplant Vol 39: 71–87 (2007)

Bone Marrow Transplant Vol 52: 811-817 (2017)

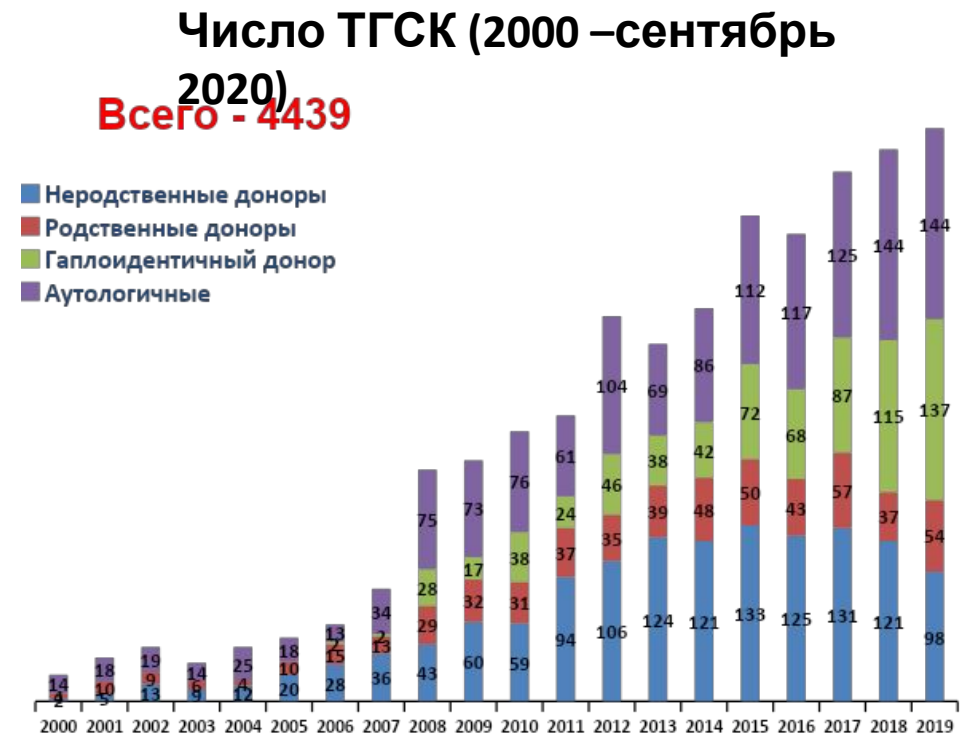


2013-2017



Число трансплантаций



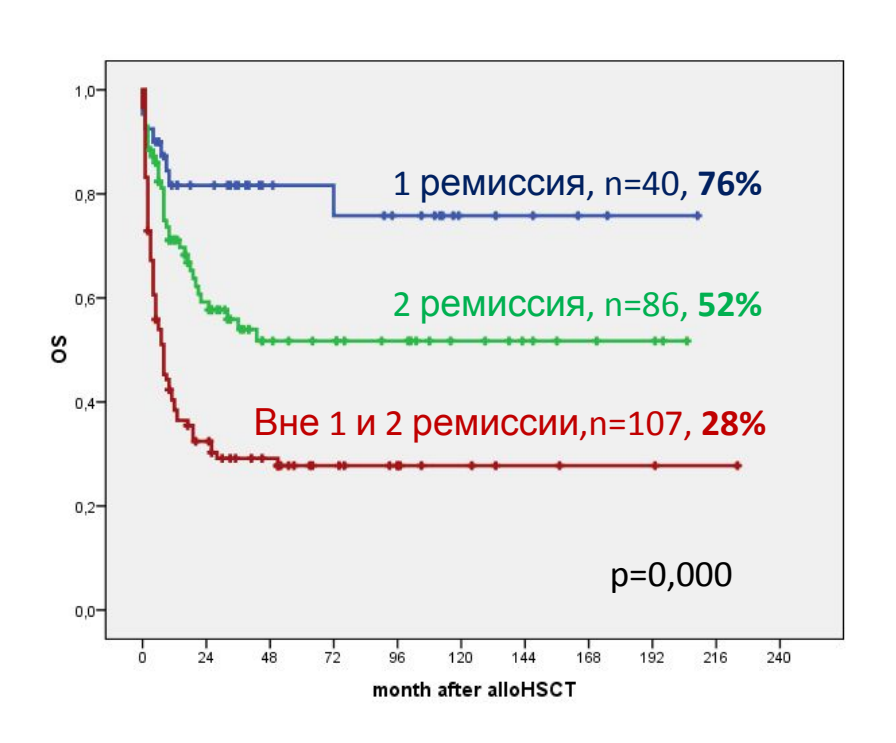


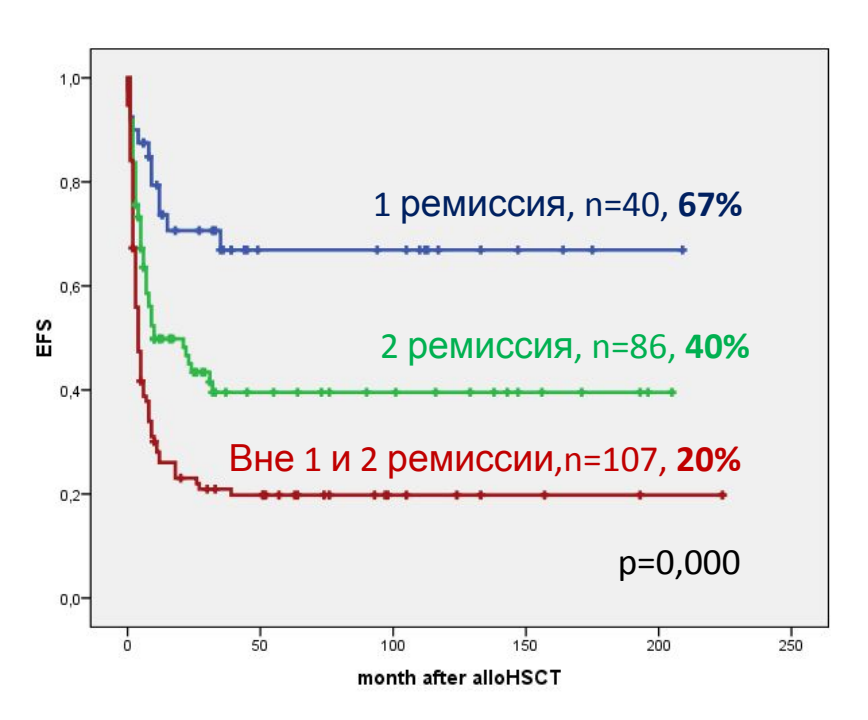
С разрешения проф. Л.С.Зубаровской

4439 трансплантаций костного мозга, около 30% из них у детей

Общая и бессобытийная выживаемость детей (0-18 лет) с ОЛЛ(высокий риск) после алло-ТГСК

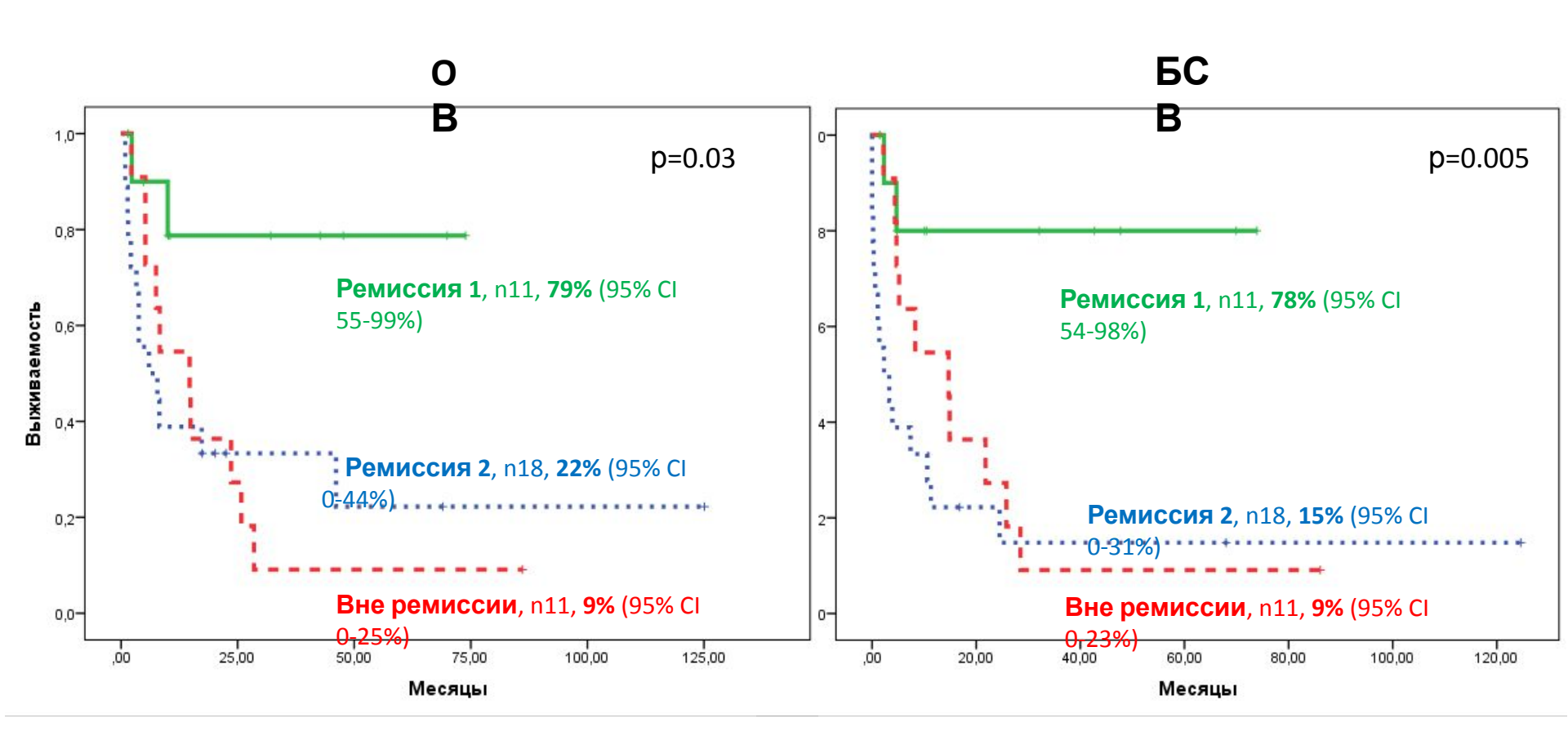
n=233



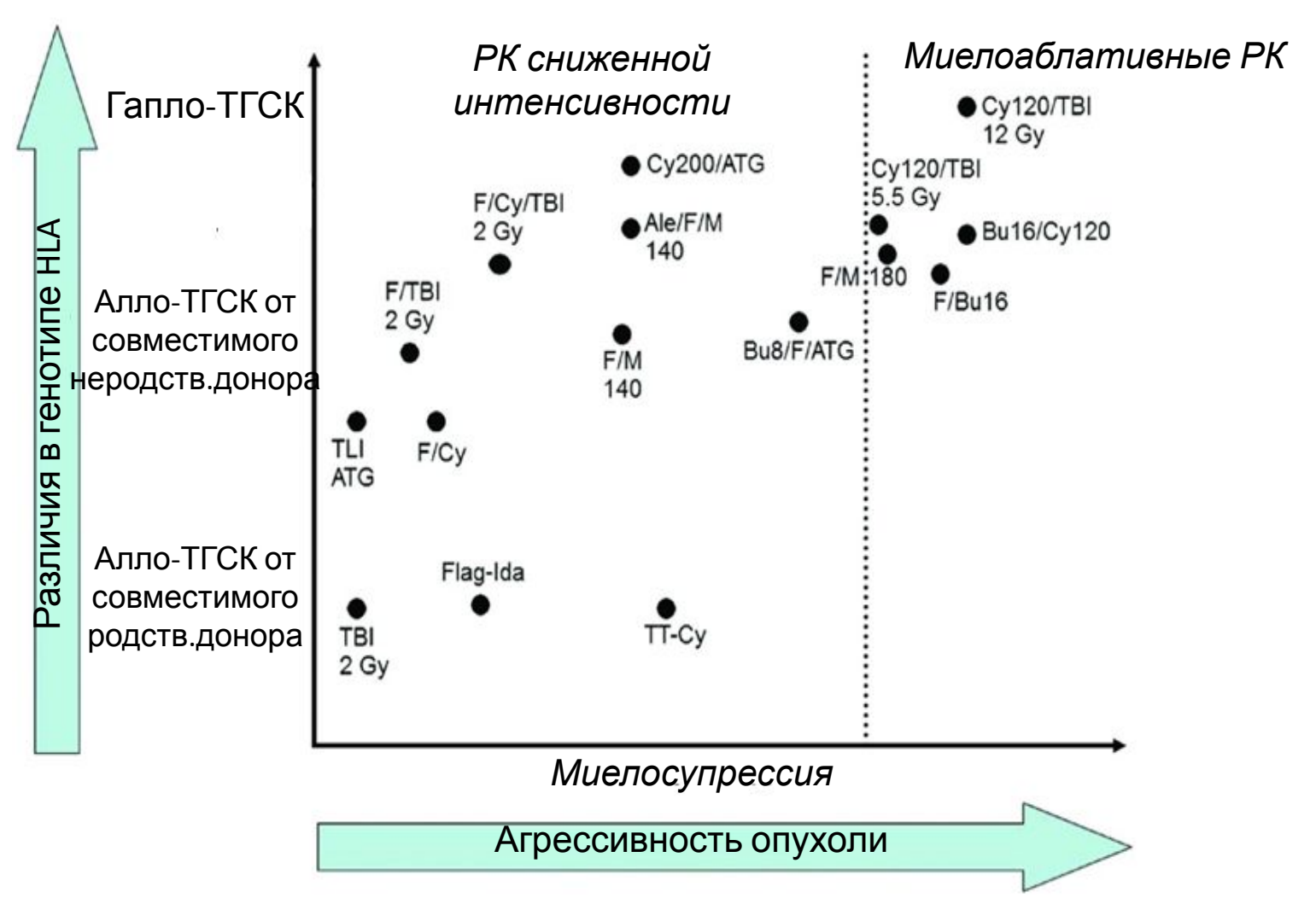




Общая и бессобытийная выживаемость после аллоТГСК подростков (14-21 год) с ОМЛ в зависимости от ремиссионного статуса



Интенсивность режимов кондиционирования

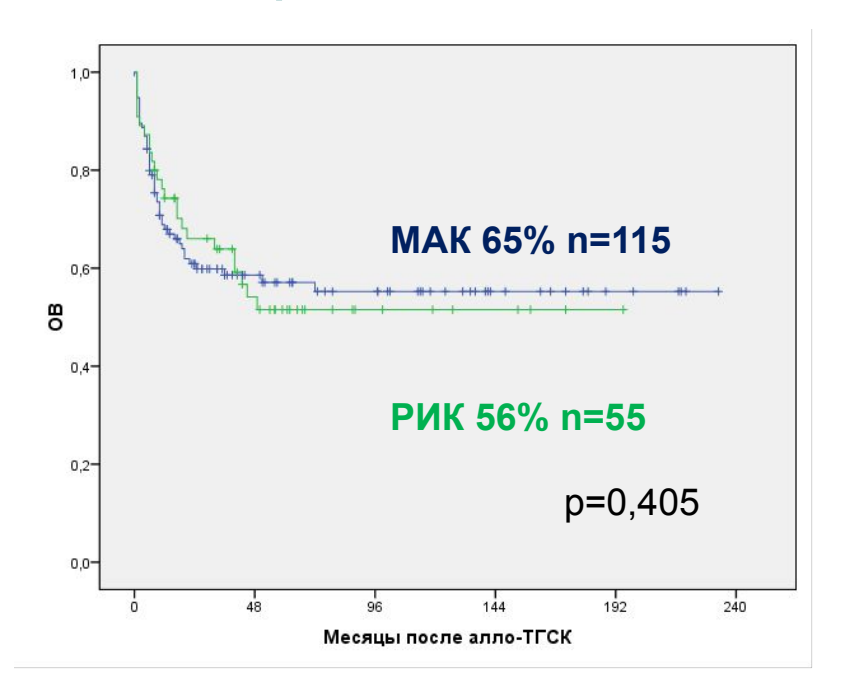


Долгосрочные результаты: 20-летняя выживаемость пациентов (0,5-18 лет) с ОЛЛ (рем)

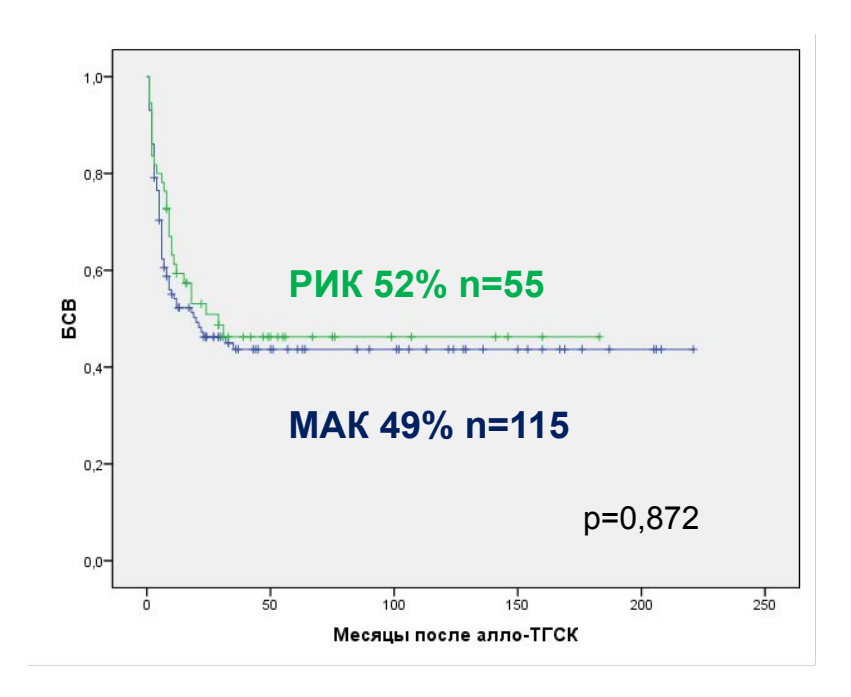
после алло-ТГСК в зависимости от интенсивности режима кондиционирования

РИК vs MAK

Общая выживаемость



Бессобытийная выживаемость





Гаплоидентичная алло-ТГСК







BM harvest,

PBSC pheresis











CD34+ stem cells

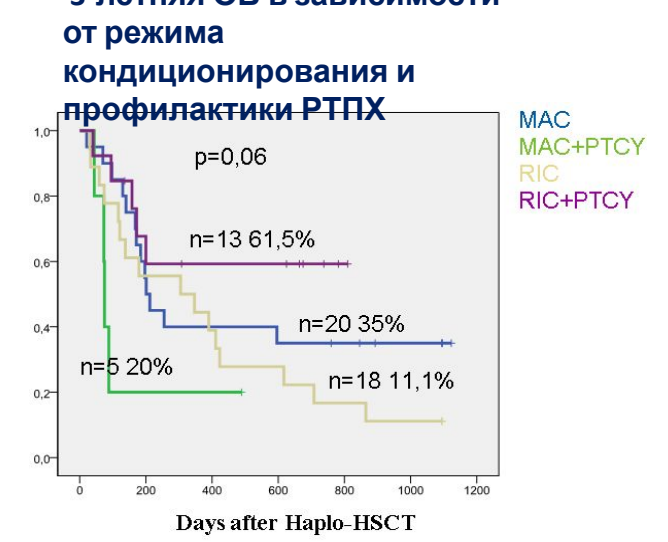


Общая выживаемость у детей с продвинутыми стадиями

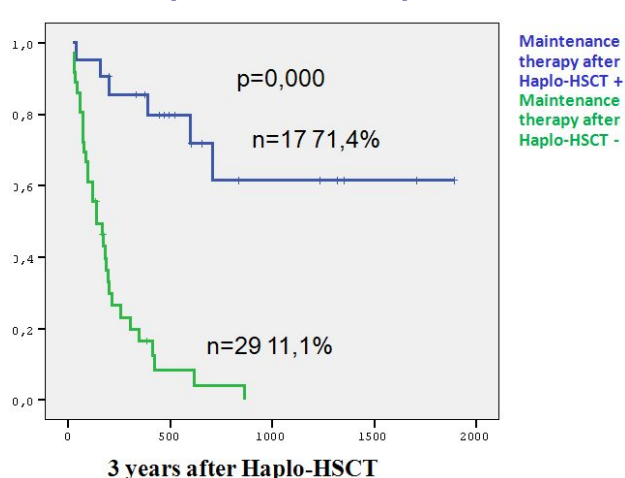
Фактор



3-летняя OB в зависимости и трем острых пейкозов после гаплоидентичной ТГСК



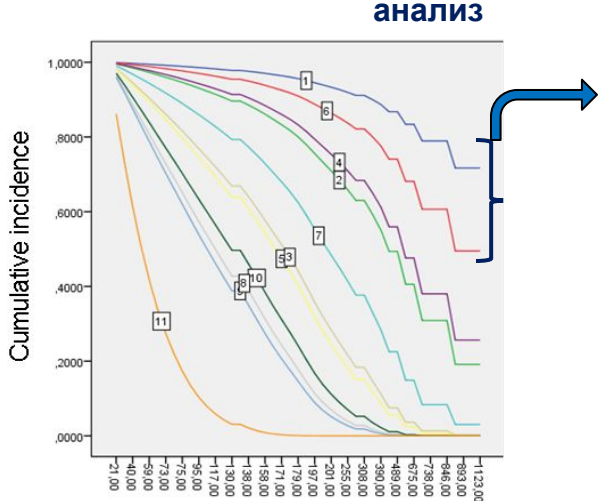
3-летняя ОВ в зависимости от посттрансплантационной поддерживающей терапии





3-x **OB**

Ρ



Days after Haplo-HSCT

иногофакторный анализ		
Возраст на момент ТГСК <9 лет	p=0,01	
Приживление	p=0,01	
Поддерживающая терапия после гапло- ТГСК	p=0,00	
Лимфоциты (>0,3x10 ⁹ /л) на Д+30	p=0,02	

Миогофакториий анапиа

Острые лейкозы у детей Перспективы

- Общая выживаемость достигла 90% при ОЛЛ и 65% при ОМЛ
- С 1990 годов значимых улучшений не было
- Интенсификация терапия не привела к улучшению эффективности, но значимо ухудшила качество жизни.

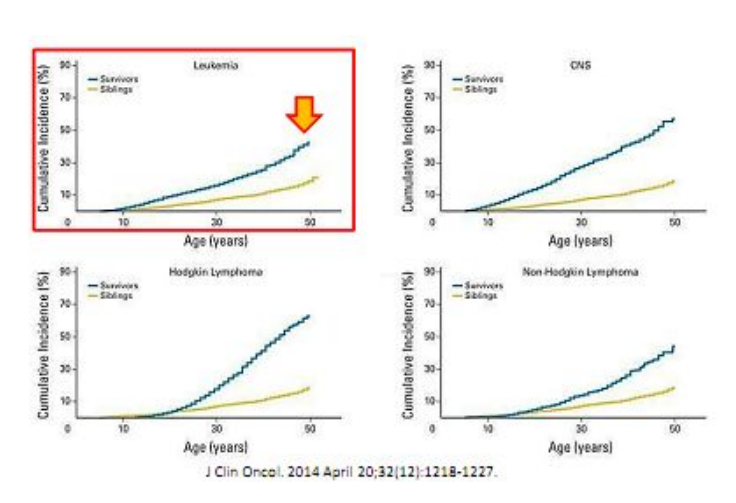






• 1. Рецидивы

• 2. Отдалённые осложнения



Частота возникновения тяжелой сердечной недостаточности, обусловленной лечением онкологических заболеваний, возникших в детском возрасте



Figure 2. Identical Twins at 26 Years of Age.

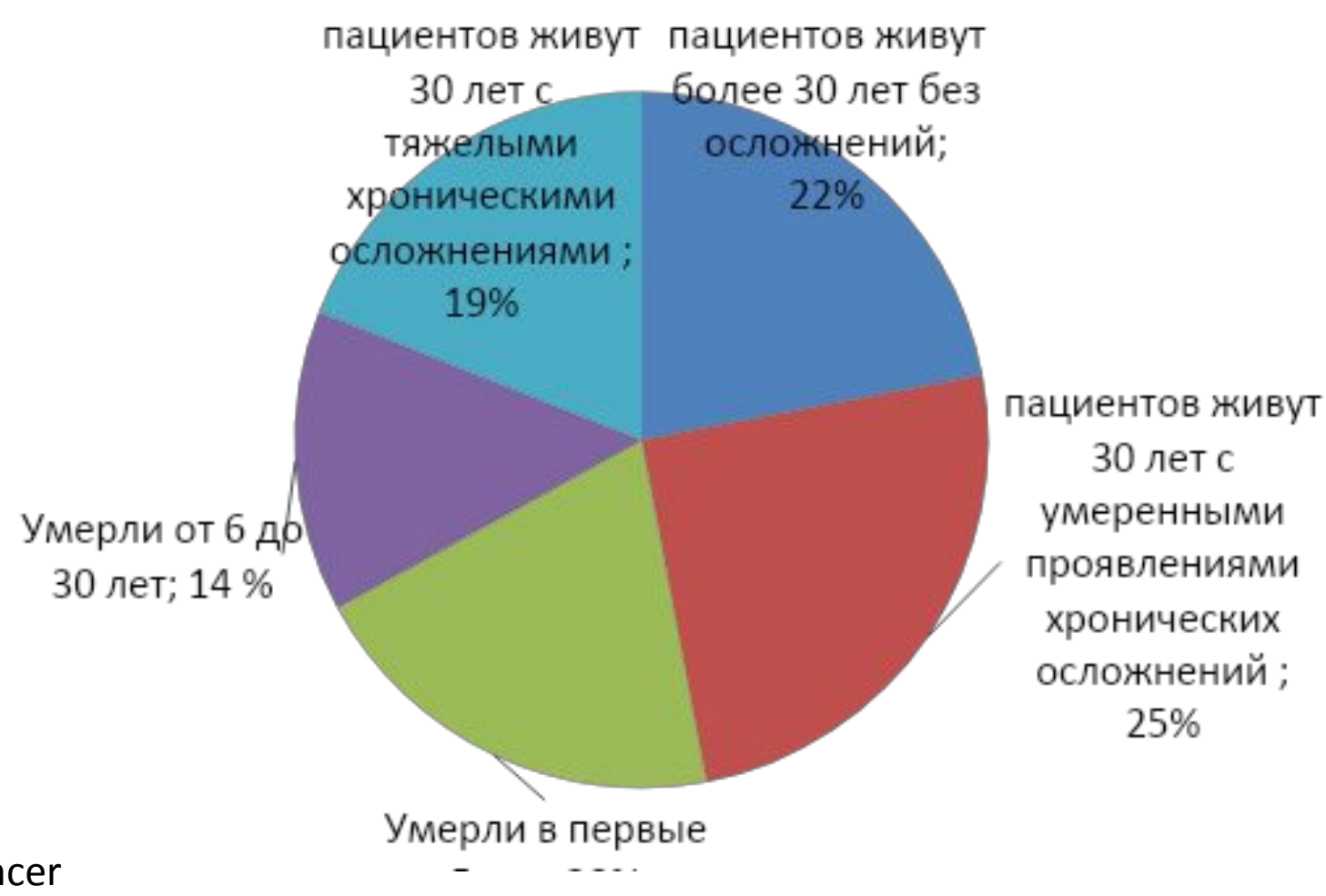
The twin on the right was treated for childhood acute lymphoblastic leukemia at 4 years of age. She received many of the therapies that were described in the text, including 24 Gy of cranial radiation.

Сестры-близнецы, 26 лет
Одна из сестер в возрасте 4 лет лечилась от ОЛЛ
(XT+лучевая терапия)

Lisa Diller, M.D.

N ENGLJ MED 365;15 NEJM.ORG OCTOBER 13, 2011

Результаты длительного наблюдения за пациентами. перенесшими онкологические заболевания в детском возрасте



J Natl Cancer Inst (2008) 100 (19): 1368-1379



Основные направления терапии

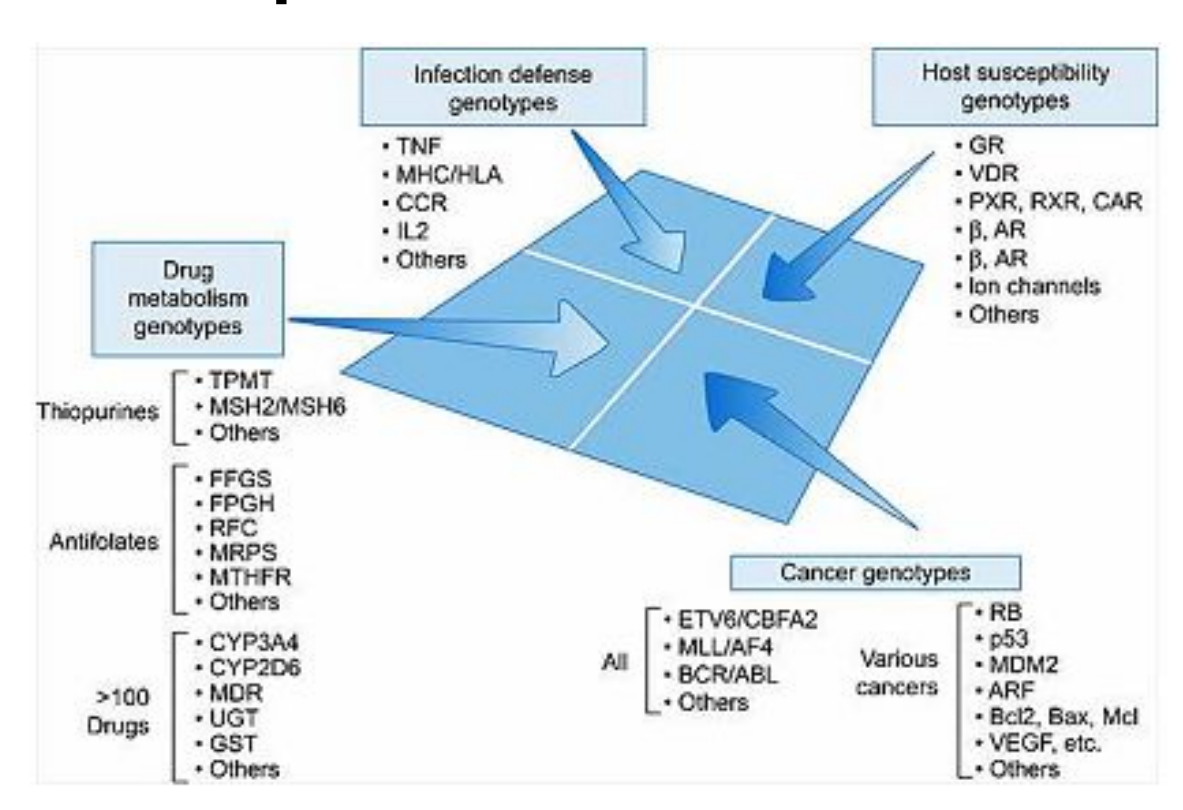


- Увеличение дозы химиопрепаратов и лучевого воздействия не может рассматриваться в перспективе повышения результатов лечения
- Разработка и внедрение новых препаратов неларабин, клофорабин и др.
- **Новые схемы лечения** XT + ИТК + G-CSF (CLAG) 2-CDA+Ara-C+G-CSF
- Таргетная терапия ингибиторы тирозинкиназ (иматиниб, нилотиниб, дазатиниб), ингибиторы цитокиновых рецептеров FLT3/ITD, c-KIT: CEP-701 (Cephalon), MLN518 (Millenium), PKC412 (Novartis), ингибитор протеосом (бортезомиб), ингибитор m-TOR (сиролимус, эверолимус), Fms-like тирозин-киназы (лестауртиниб), NOTCH1 ингибиторы, JAK2 ингибитор (лестауртиниб)
- Эпигенетическая терапия: ATPA, гипометилирующие препараты (децитабин, азацитидин), ингибитора гистонацетилазы (вориностат, вальпроевая кистота)

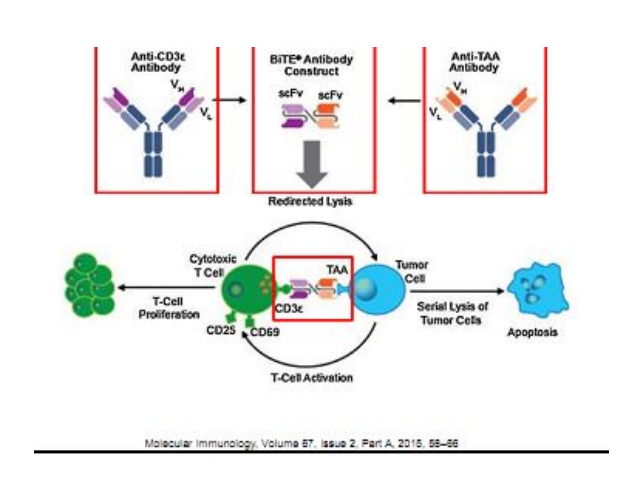
Иммунотерапия - не имеет перекрестной резистентности с цитостатической, лучевой и таргетной терапией

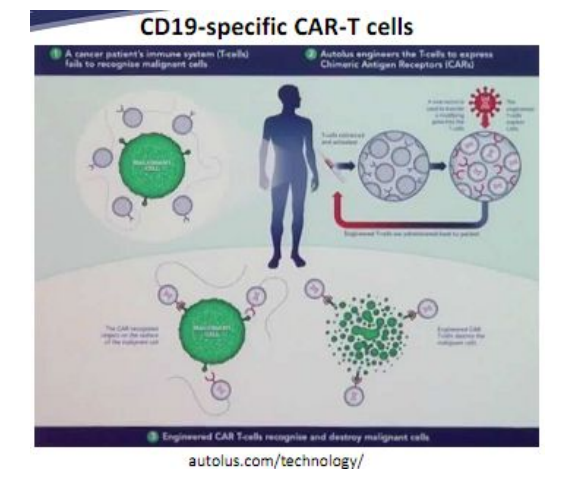
- 1. Моноклональные антитела epratuzumab, rituximab, alemtuzumab, Brentuximab Blinatumomab
- 2. CAR, CIK (индуцированные цитокинами NK), регуляторные T-cells, CAR NK, CAR CIK, дендритные клетки
- 3. Интерлейкины, цитокины, иммуномодуляторы (IL2, GM-CSF, interferon)
- 4. Вакцины
- 5. Алло-ТГСК с последующей иммуноадоптивной терапией

Персонализация терапии ОЛ



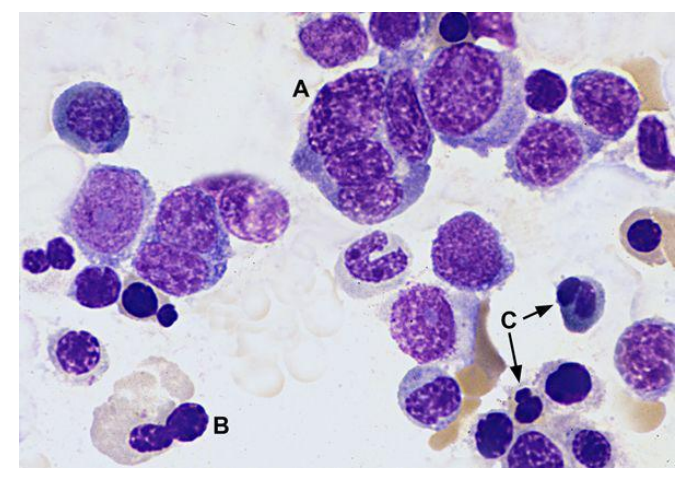
Имунноадоптивн ая терапия (алло-ТГСК)

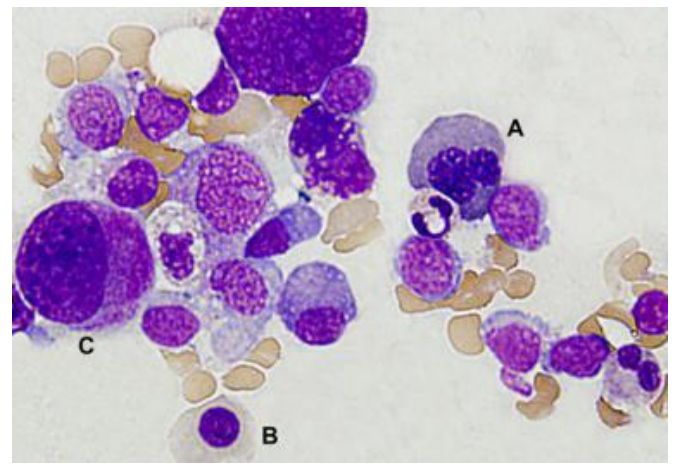




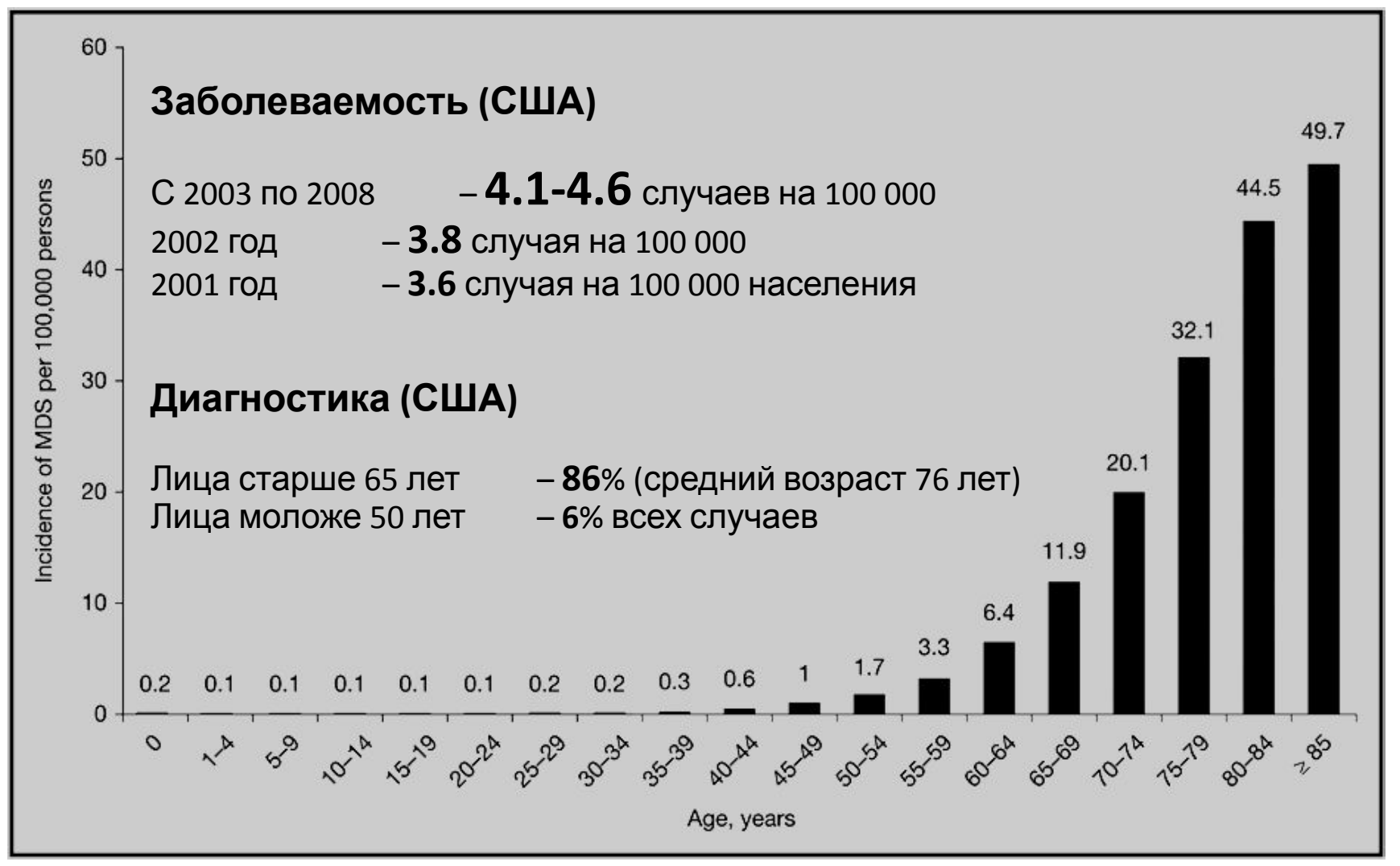
МИЕЛОДИСПЛАСТИЧЕСКИЙ СИНДРОМ (МДС)

- МДС у детей составляет 5% от всех системных заболеваний крови.
- Первичный обычно на фоне наследственных заболеваний, вторичный после воздействия внешних факторов (химиотерапия, облучение)
- Клиническая картина: анемия (25%), нейтропения (50%), тромбоцитопения (90%) + гепатоспленомегалия
- Единственный эффективный метод лечения аллогенная трансплантация гемопоэтических стволовых клеток.





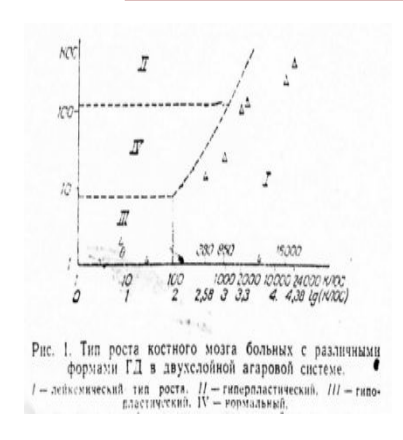
Эпидемиология МДС

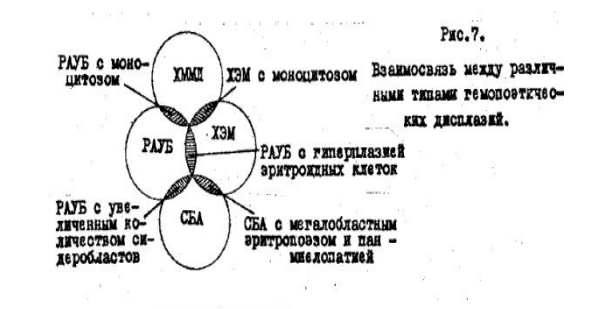


МДС у детей



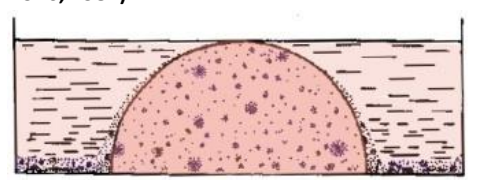
1982 – Первая публикация в России, подтвердившая существование МДС у детей







Клонирование ГСК в двух-слойной агаровой системе (Pike&Robinson) и системе "агаровая капля-жидкая среда" (модификация Афанасьев Б.В., 1976, 1982)



Система Marbrook культивирования в жидкой среде (Golde&Cline, 1973, модификация Афанасьев Б.В., 1979)



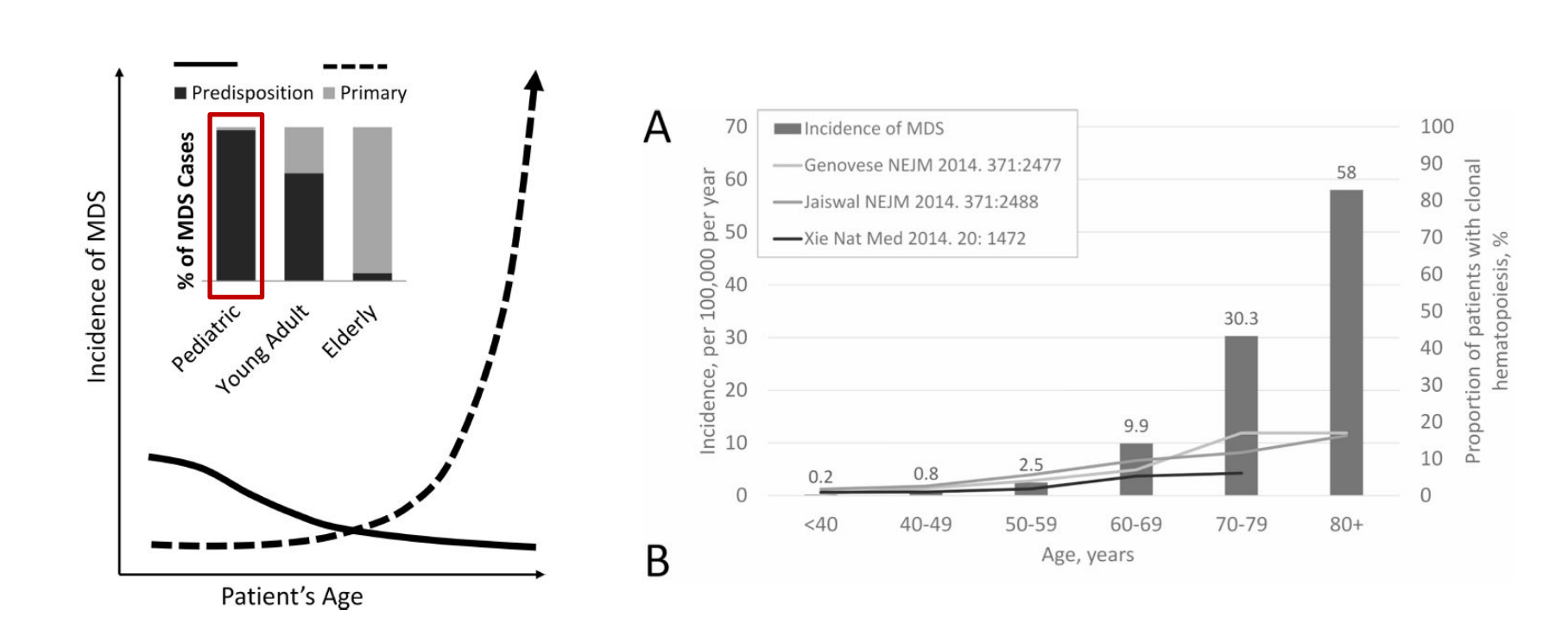
УДК 616.155.02-036.3-053.2

С. А. Тиранова, Н. А. Алексеев, Э. М. Петрова, А. Г. Пустовалова, А. Г. Бессонова, Л. С. Зубаровская, Б. В. Афакасьев К ВОПРОСУ О СУЩЕСТВОВАННИ ГЕМОПОЭТИЧЕСКИХ ДИСПЛАЗИЙ (ПРЕЛЕЙКЕМИЙ) У ДЕТЕЙ

Отделение гематологии летского возраста (руководитель — проф. Н. А. Алексеев) .Понингралского НИИ гематологии и передивания крози (дир. — проф. В. Н. Шебалии), кафеара факультетской терапии (зав. — проф. В. А. Алмасоз) I Ленингралского медишиского института им. И. П. Павлова

Терапевт. архив, 1982, № 8, 1-160

Эпидемиология МДС



Genetic predisposition to myelodysplastic syndrome and acute myeloid leukemia in children and young adults

Babushok D., Bessler M. Best Pract Rec Clin Haematol. 2015; 28 (1), 55-68

Наследственные синдромы

Врожденные синдромы костно-мозговой недостаточности

Анемия Фанкони Анемия Блекфана-Даймонда Синдром Швахмана-Даймонда Теломеропатии Врожденная амегакариоцитарная тромбоцитопения Врожденные нейтропении

Наследственная предрасположенность к тромбоцитарным расстройствам

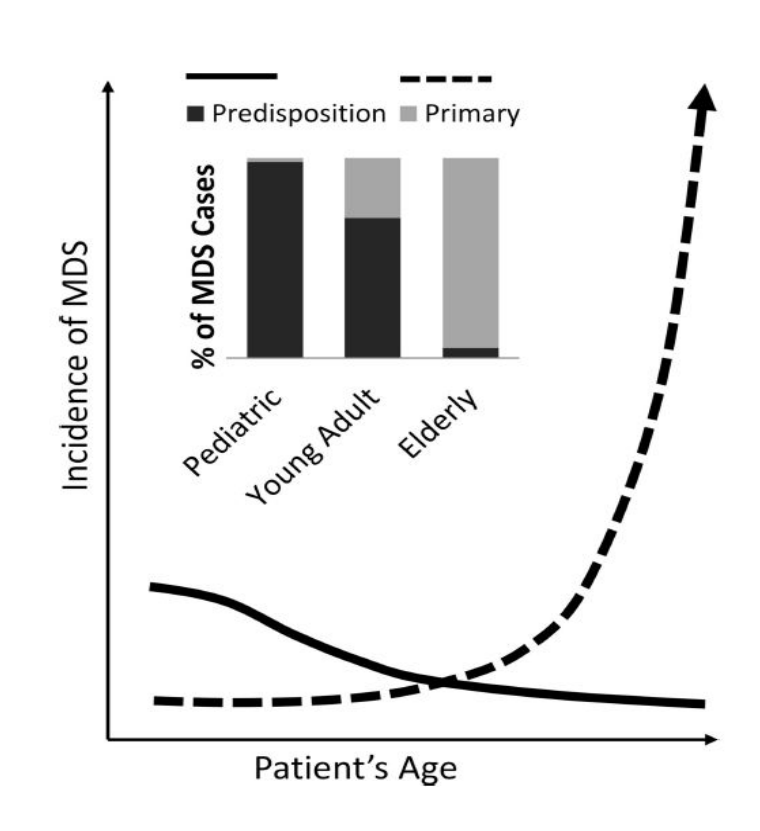
Миелоидные неоплазии с зародышевой линией RUNX1 мутацией

Миелоидные неоплазии с зародышевой линией ANKRD26 мутацией

Миелоидные неоплазии с зародышевой линией ETV6 мутацией

Миелоидные неоплазии с наследственной предрасположенностью

Миелоидные неоплазии с зародышевой линией GATA2 мутацией MДС с зародышевой линией SAMD9/SAMD9L мутацией



Babushok D., Bessler M. Best Pract Rec Clin Haematol. 2015; 28 (1), 55-68

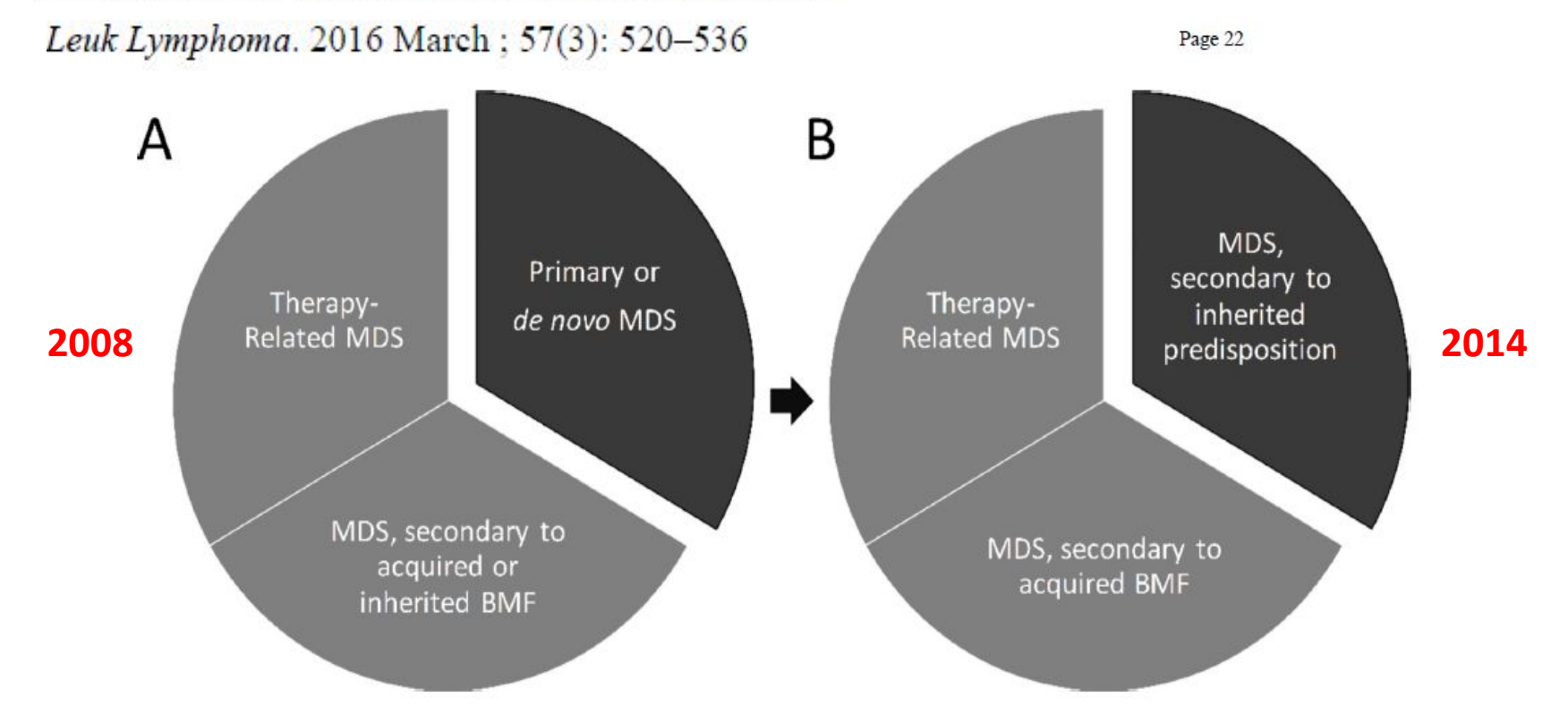
How I treat myelodysplastic syndromes of childhood Franco Locatelli and Brigitte Strahm.

Blood 2018 131:1406-1414.

109

Классификация у детей и молодых взрослых

Daria V. Babushok^{1,2}, Monica Bessler^{1,2}, and Timothy S. Olson^{2,3}



Swerdlow, SH.; Campo, E.; Harris, NL.; Jaffe, ES.; Pileri, SA.; Stein, H. WHO Classification of Tumours of Haematopoietic and Lymphoid Tissues. Lyon, France: IARC Press; 2008.

Genovese G, Kahler AK, Handsaker RE, et al. Clonal hematopoiesis and blood-cancer risk inferred from blood DNA sequence. The New England journal of medicine. 2014; 371:2477–2487.

Различия МДС у детей и взрослых

Характеристика	Дети	Взрослые
Встречаемость на 1,0 млн.	1-2	40
Наследственная генетическая предрасположенность	1/3	< 5%
Морфологические группы		
Рефрактерная анемия с кольцевыми сидеробластами	< 2%	25%
Гипопластический вариант МДС	Часто	Редко
МДС/МПН	ЮММЛ	ХММЛ
Цитогенетические изменения	60%	40%
-7/del(7q)	30-40%	10%
-5 del(5q)	1-2%	20%
Мутация в <i>RAS</i> гене	Редко (кроме ЮММЛ)	Часто
Гиперметилирование	>50%	>50%
Сплайсосомная генная аберрация	<2%	Часто
Цель лечения	Выздоровление	Часто паллиативное

Hasle H. Myelodysplastic and myeloproliferative in childhood. Hematology, 2016, p.598-604.

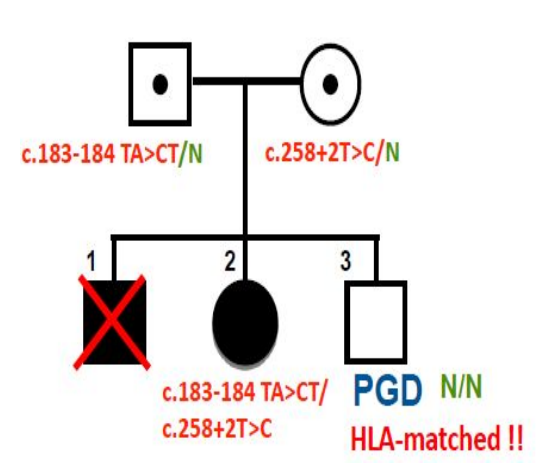
Клинический случай



- Пациентка А., 7 лет
- В неонатальном периоде тяжелая анемия, нейтропения, экзема, задержка развития
- Брат перенес сепсис в 2 мес, умер от пневмонии в 4 года
- 2009 год: зафиксирована стеаторея, снижение сывороточного уровня панкреатических ферментов, в миелограмме гипоклеточный костный мозг с повышением количества бластов до 15%
- Выявление мутации гена SBDS c.183-184 TA>CT/c.258+2T>C
- 2010 год: нарастание тяжести цитопении, инфекционные осложнения
- Выполнена алло-ТГСК с немиелоаблативным РК от гаплоидентичного донора (отец); осложнения: оРТПХ, реактивация ЦМВ
- Отторжение трансплантата на Д+135 с восстановлением собственного гемопоэза
- Персистирующая цитопения, инфекции

Клинический случай





- 2016 год: алло-ТГСК от совместимого по HLA-системе брата, рожденного методом инвитро фетилизации-преимплантационной диагностики
- РК сниженной токсичности:
 Флюдарабин 150 мг/м² +
 Треосульфан 42 г/м² + Тиотепа 10 мг/кг
- Источник ГСК: Костный мозг + пуповинная кровь
- На Д+25 зафиксирован полный донорский химеризм
- Отсутствие значимой токсичности и признаков РТПХ

Лаборатории НИИ детской онкологии, гематологии и трансплантологии им.Р.М. Горбачёвой





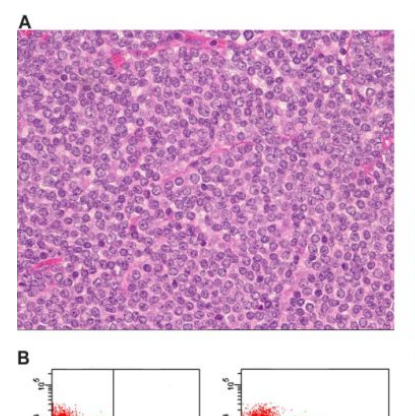


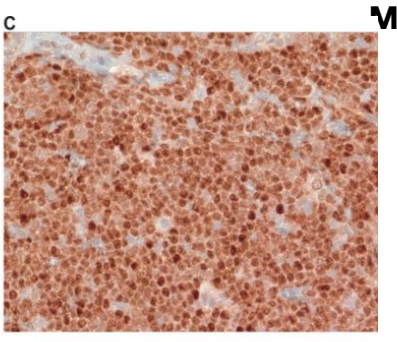


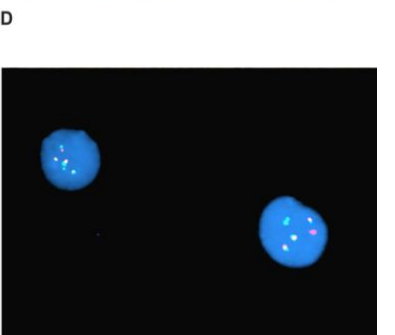


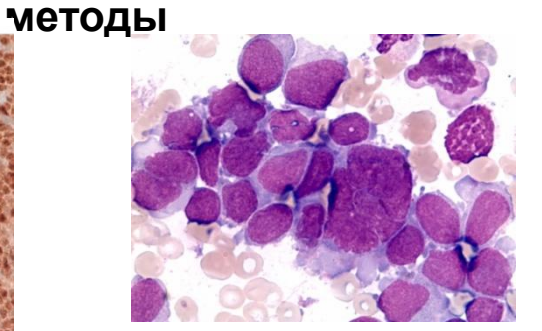


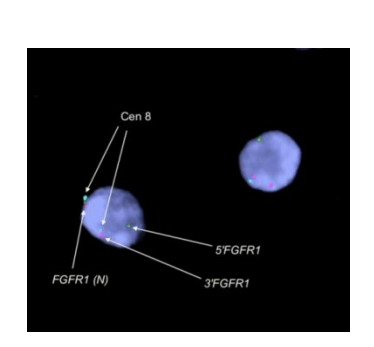
Методы диагностики: морфология, гистология, иммуногистохимия, стандартная цитогенетика, FISH, молекулярно-биологические

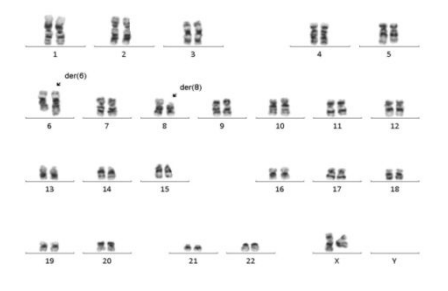














Цитология: дисплазия в периферической крови и костном мозге согласно диагностическим критериям ВОЗ

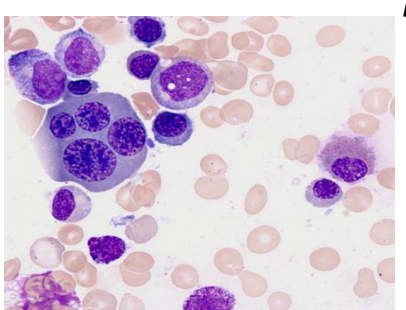
Дизэритропоз

<u>Ядро</u>

Межъядерные /цитоплазматич мостики

Кариорексис Многоядерность «budding»-формы

Мегалобластоидность хроматина

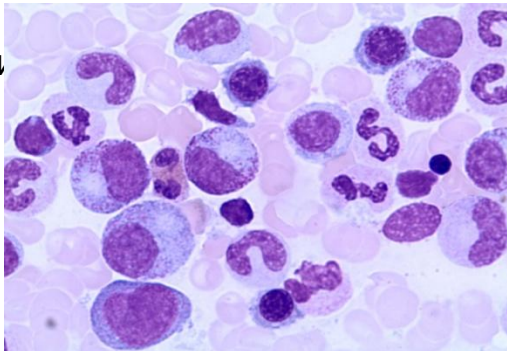


Дисгранулопоэз

Маленькие или чрезмерно большь клетки

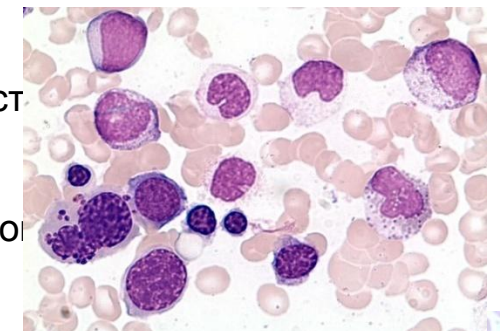
Гиполобулярность ядер с псевдопельгеровскими формами Гиперсегментация Гипо-/дегрануляция цитоплазмы

Гранулы псевдо Чедиак-Хагаси Палочки Ауэра



<u>Цитоплазма</u>

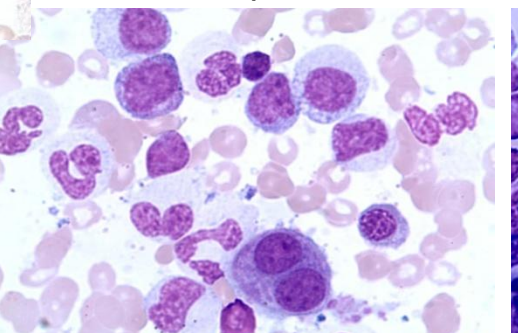
Кольцевые сидеробласт Вакуолизация ПАС р-ция с Шифф-йодной кислото

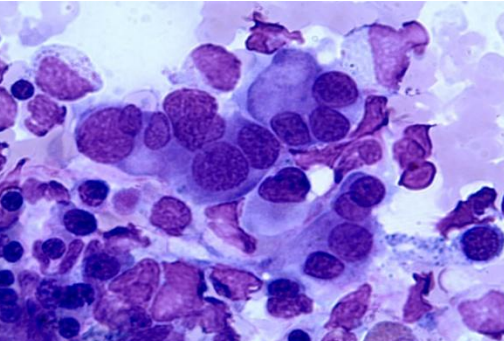


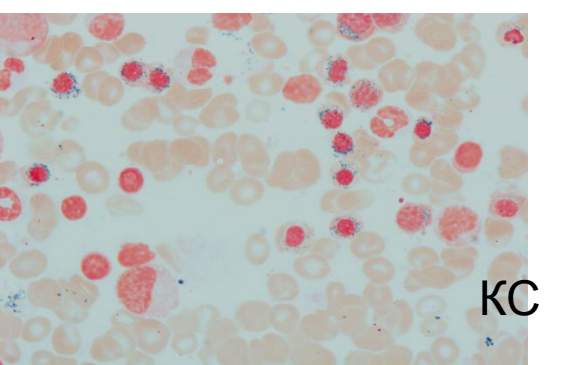
Дисмегакариоцитопоэз

Микромегакариоциты Гиполобулярные ядра

Многоядерность с полиплоидией







Biologi and Prognastic Factors of Myelodysplastic Syndrome, Raphael Itzykson, Lionel Ades, ASCO, 2011 Educational book June 3-7, 2011.





Санкт-Петербургский государственный медицинский университет им. акад. И.П. Павлова Институт детской гематологии и трансплантологии им. Р.М. Горбачевой Лаборатория цитогенетики и диагностики генетических заболеваний Тел.: (812) 233-12-43, Факс: (812) 233-96-01

РЕЗУЛЬТАТ ЦИТОГЕНЕТИЧЕСКОГО ИССЛЕДОВАНИЯ

ФИО пациента: Войтенко О.В.

No. препарата: B206

Диагноз: ХММЛ

Возраст: 35 лет

Материал: юстный мозг (культура 24 часа)

Дата взятия материала: 17.03.10

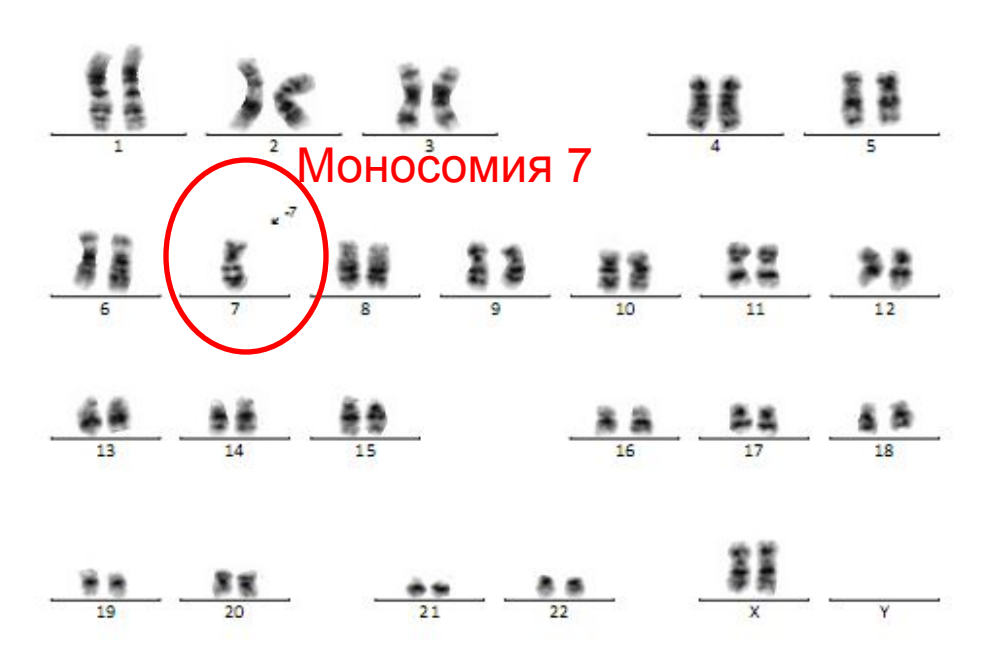
Отделение: ОТКМ

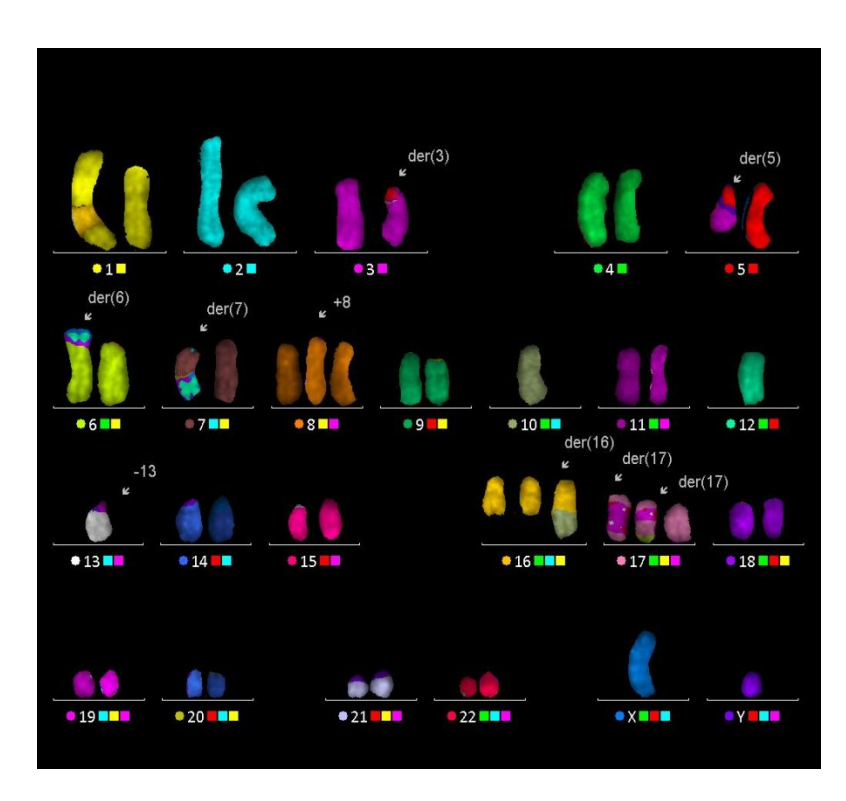
Палата:

Стационар: СПБГМУ ИДГиТ

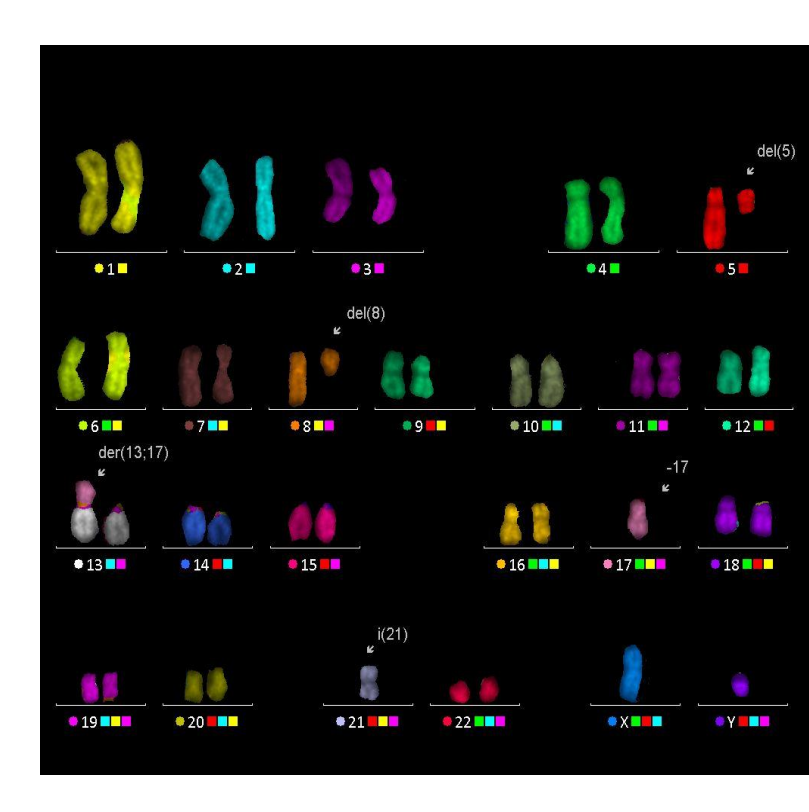
ФИО леч. врача: Рудницкая Ю.В. Кариотип: 45, ХХ,-7[20]

Заключение: Патологический клон с моносомией 7 хромосомы выявлен в 100% метафаз.





А. несбалансированные транслокации t(3;5), t(6;12), t(7;12), t(10;16), трисомия 8, моносомия 13, два деривата 17 хромосомы с инсерциями 13 хромосомы



Б. делеция длинного плеча 5 хромосомы, делеция длинного плеча 8 хромосомы, несбалансированная транслокация t(13;17), изохромосома 21 по длинному плечу i(21)

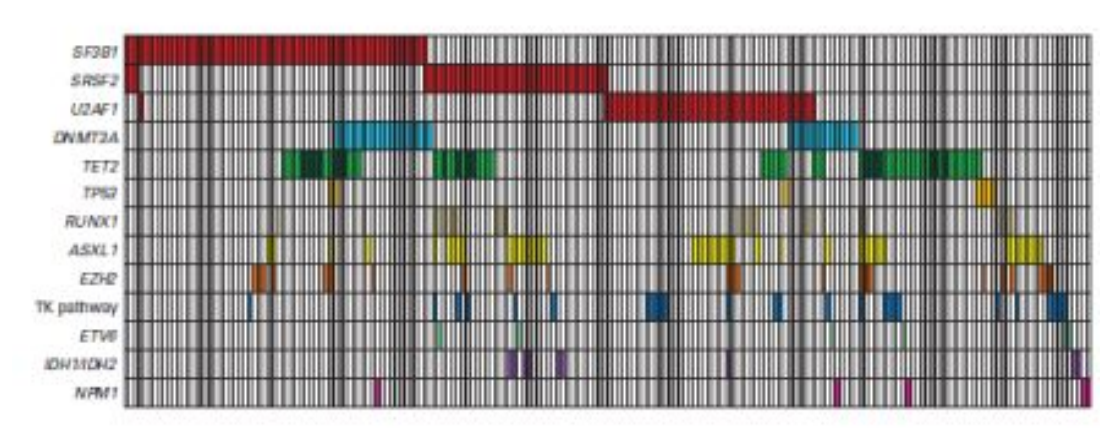
Комплексные хромосомные аберрации у пациентов с РАИБ-т mFISH

Данные предоставлены к.м.н.Гиндиной Т. Л.

Молекулярная генетика

Gene	N	%
TET2	90	21%
ASXL1	63	14%
RUNX1	38	9%
TP53	33	8%
EZH2	28	6%
NRAS	16	4%
IAK2	13	3%
ETV6	12	3%
CBL	10	2%
IDH2	9	2%
NPM1	8	2%
IDH1	6	1%
KRAS	4	1%
GNAS	3	
PTPN11	3	
BRAF	2	
PTEN	1	
CDKN2A	1	

Определен ряд повторяющихся мутаций



51% пациентов с МДС имеют хотя бы одну мутацию

52% пациентов с МДС с нормальным кариотипом имеют хотя бы одну мутацию

Соматические мутации у детей с миелодиспластическим синдромом

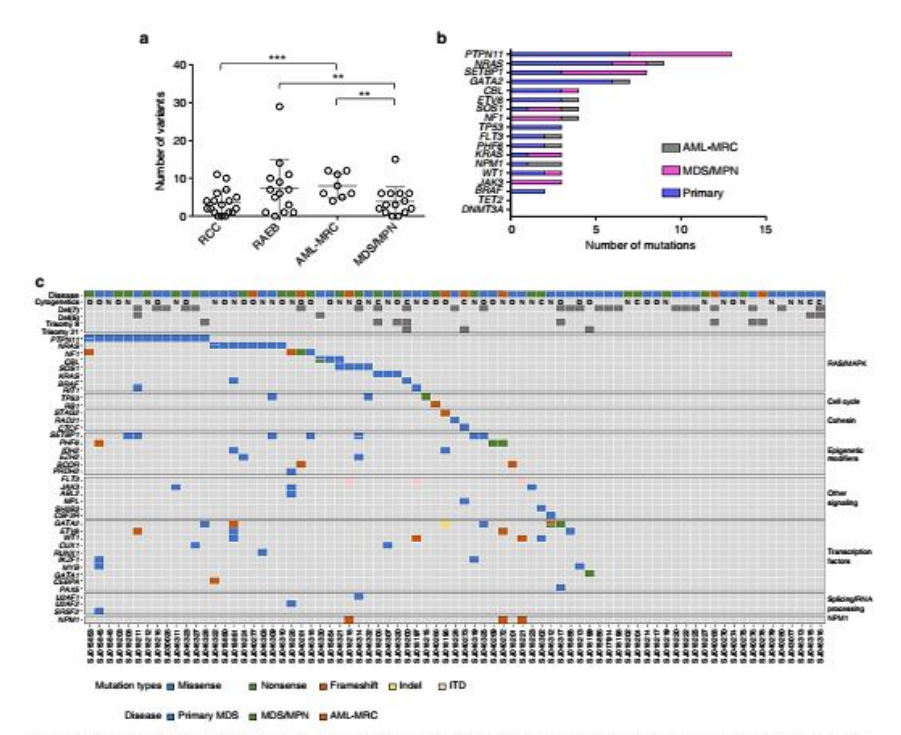


Fig. 2 Somatic mutations in pediatric MDS and related neoplasms. a Total number of somatic variants per patient in the S4 patients with WES data (includes silent, nonsense, missense, frame shifts, indets, ITD, and mutations within 3' and 5' UTR). ": p = 0.02; "": p = 0.02 (student's t-test). b The most common genes with somatic mutations in the full cohort of 77 patients (includes WES and targeted amplicon sequencing). Only somatic mutations with presumed functional consequences are shown. c Heat map showing the somatic mutational profile of the pediatric MDS cohort separated by gene functional groups. Only somatic mutations with presumed functional consequences are shown. Split cells indicate multiple mutations. O, other karyotype findings not listed separately (c. complex karyotype; N, normal karyotype

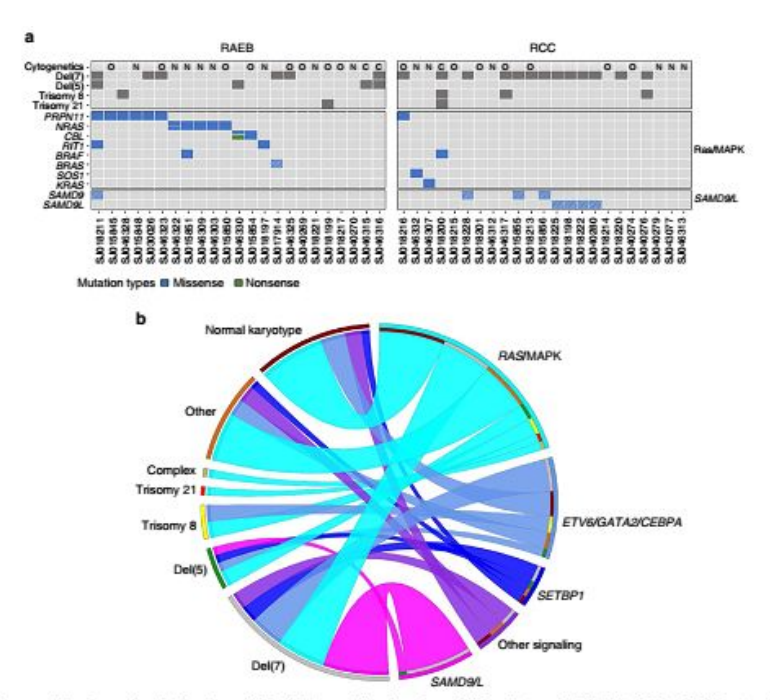


Fig. 6 The genomic landscape of pediatric primary MDS. a Heat map indicating primary MDS patients, subdivided into RCC and RAEB categories, with somatic mutations, germline variants (cells with hatched lines), and transcript fusions. Ras/MAPK mutations are enriched in the RAEB subgroup (65% vs 17%, p = 0.002, Fisher's exact test) b Ribbon plot showing associations between cytogenetic abnormalities and recurrent mutations in myeloid neoplasms. Data from WES and targeted amplicon sequencing of the primary MDS cohort (n = 46) was used to build the plot. Associations between a cytogenetic abnormality and a mutation are connected by a ribbon, the width of which is proportional to the frequency of that association

По мере повышения доступности молекулярной диагностики, в частности панелей для таргетного секвенирования генов, мутации в которых

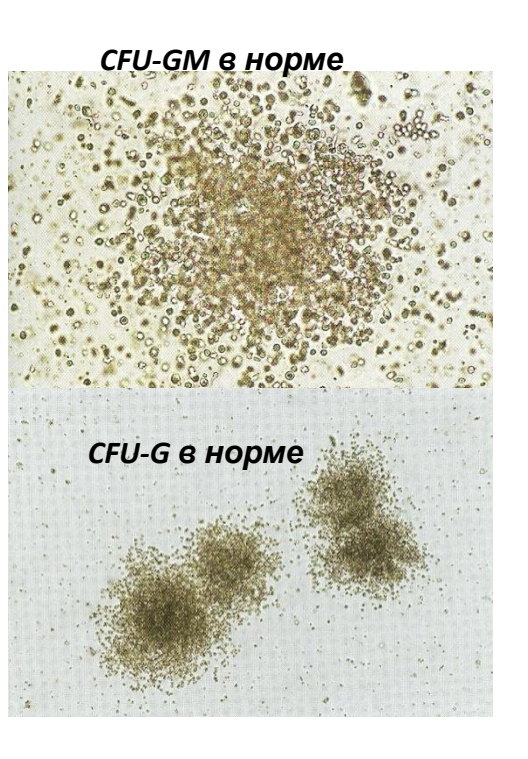
для таргетного секвенирования генов, мутации в которых ассоциированы

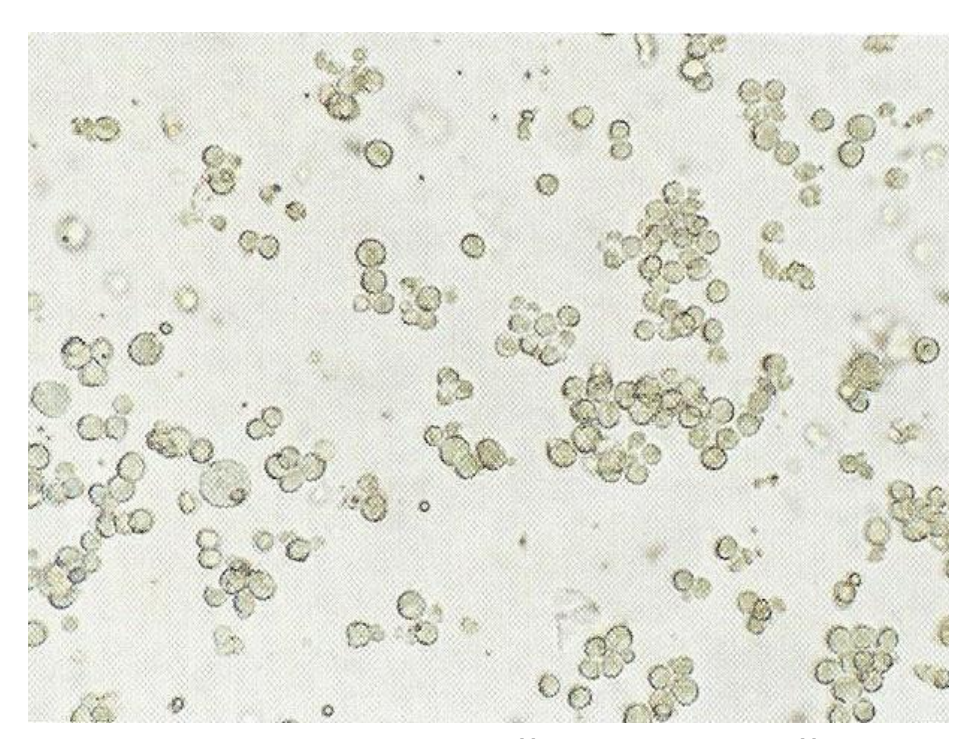
с предрасположностью к онкогематологическим заболеваниям, появляется

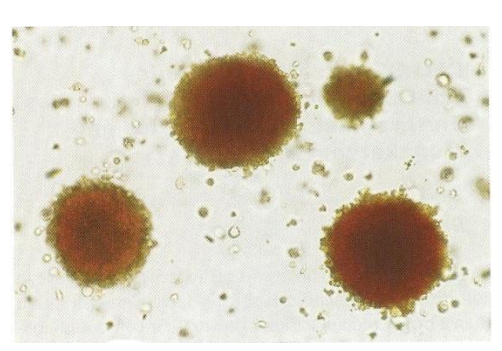
все больше пациентов и целых семей с лабораторным подтверждением

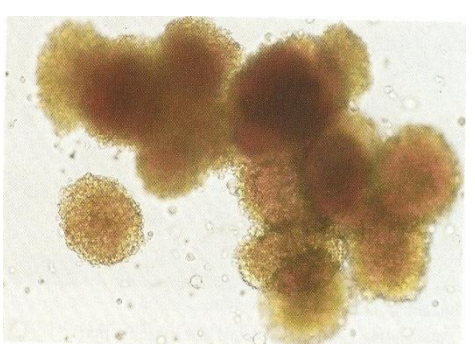
The запистания вероятно ассоциирован с развитием

Культивирование клеток костного мозга









Лейкемический рост

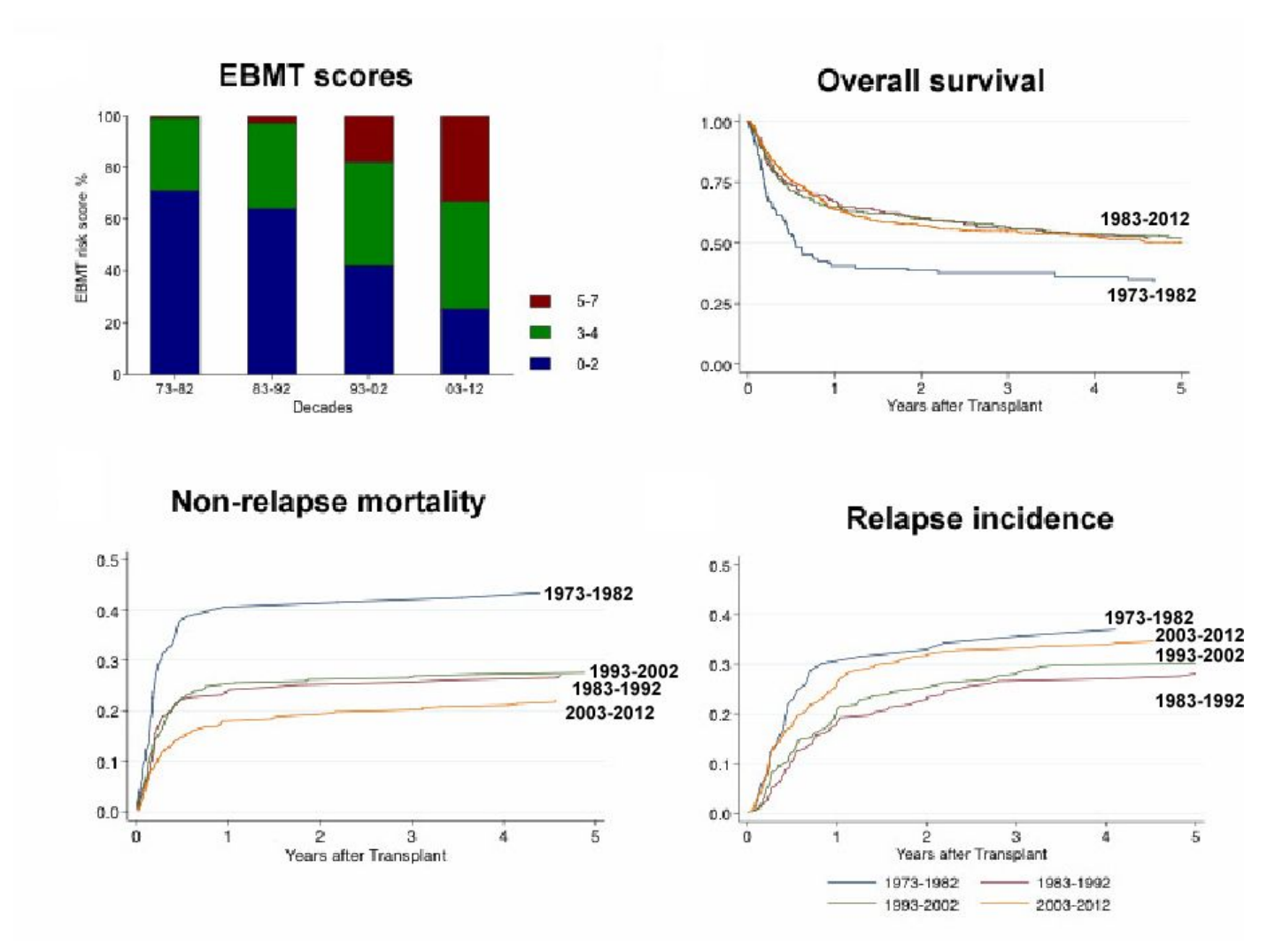
BFU-Er в норме

Данные предоставлены Бабенко E. B.

МДС. Варианты терапии



Повышение общей выживаемости пациентов за 1973-2012 гг. связано со снижением летальности, связанной с алло-ТГСК



Хронический миелолейкоз у детей

Эпидемиология

ОЛЛ

ОМЛ

Болезнь Ходжкина

Неходжкинские лимфомы

Опухоли ЦНС

Нейробластома

Ретинобластома

Нефробластома

Гепатобластома

Остеогенная саркома

Саркома Юинга

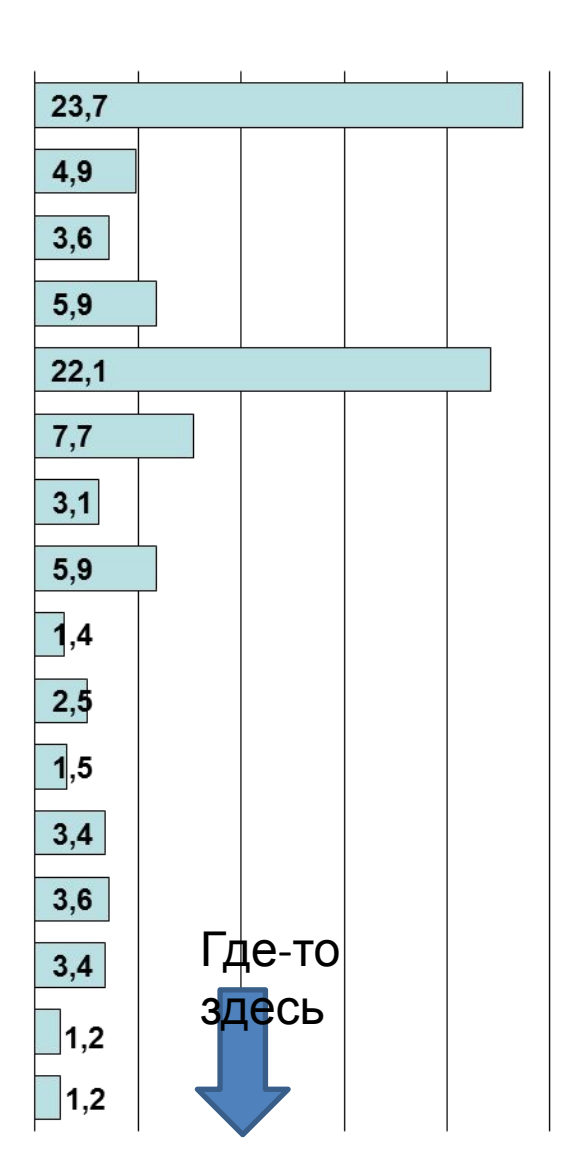
Рабдомиосаркома

Саркомы мягких тканей

ГКО

Рак щитовидной железы

Меланома

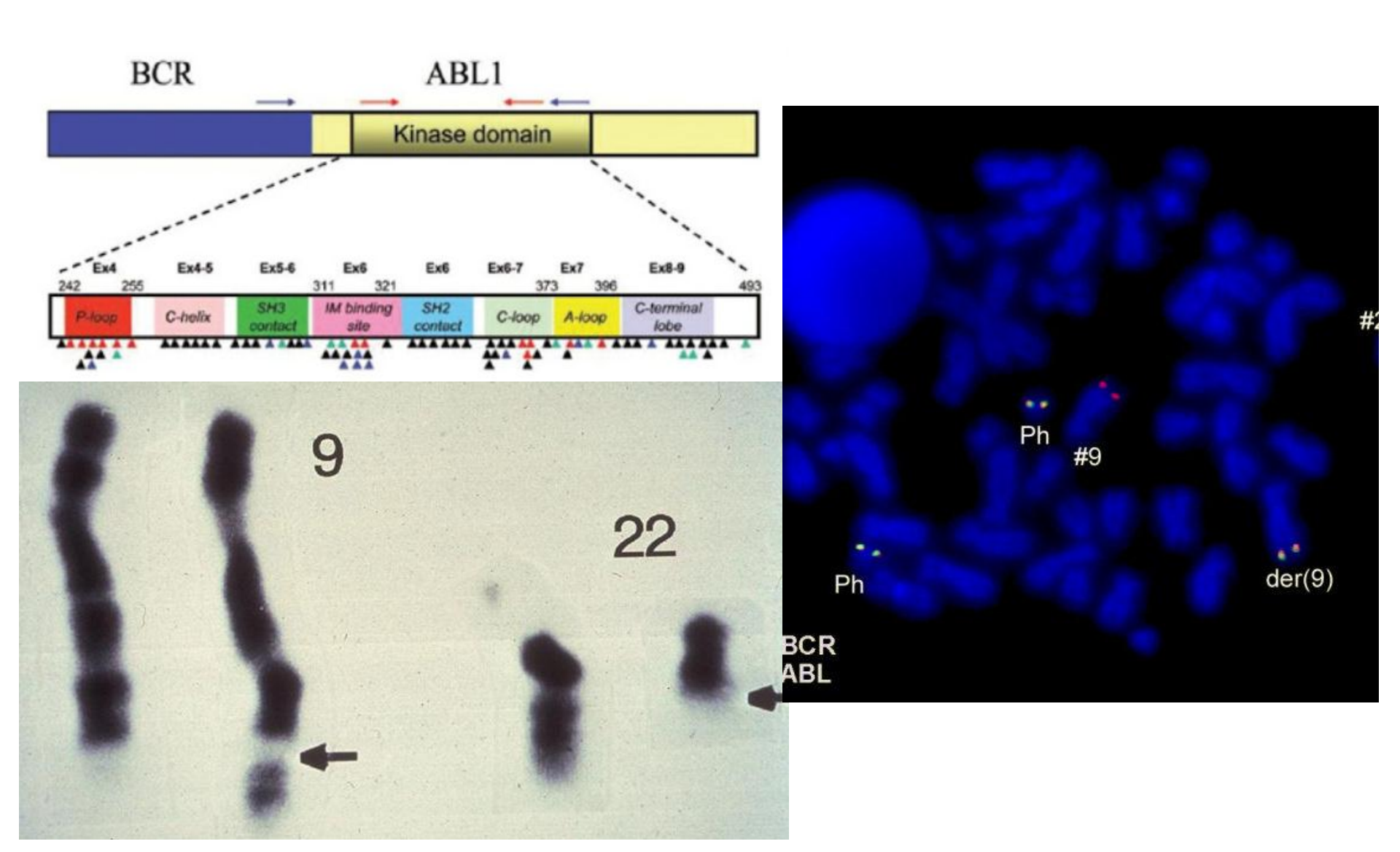




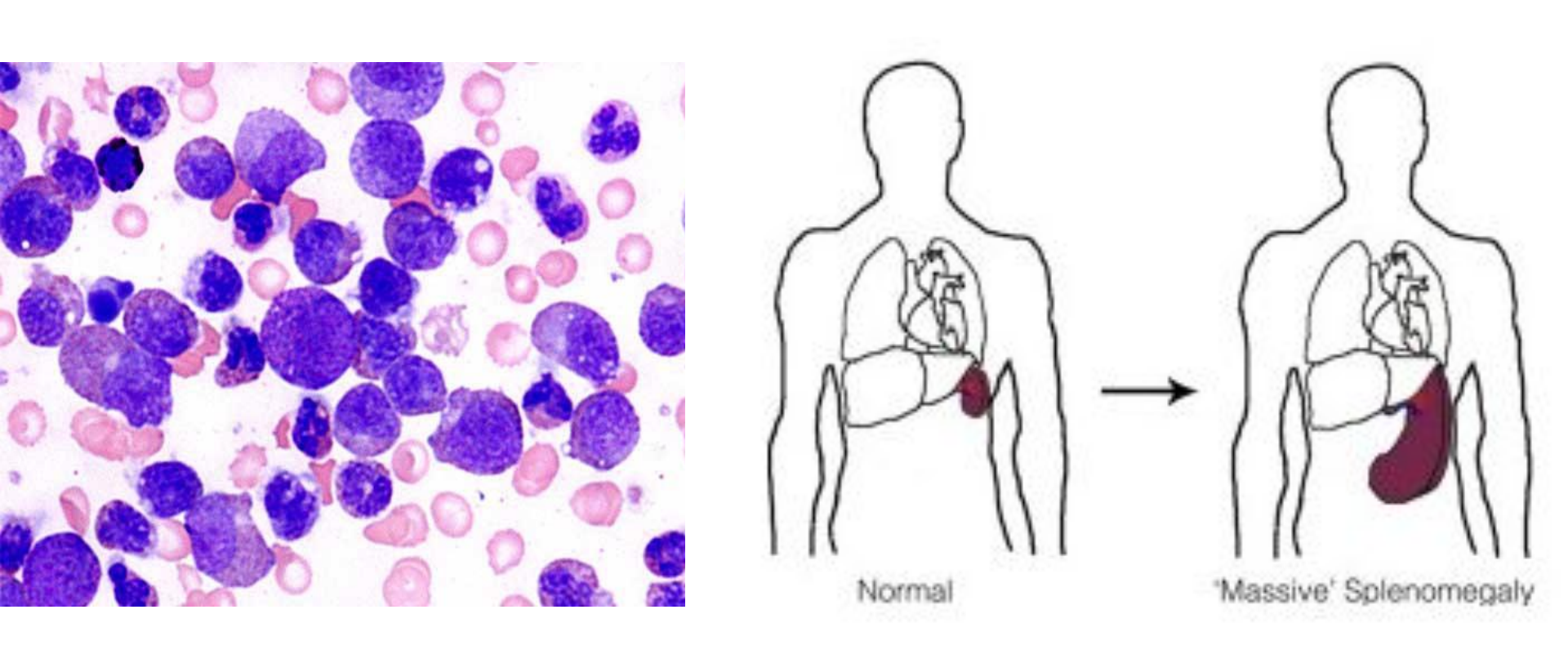
- Менее 3% от детских лейкозов
- Заболеваемость 0,7
 на 1 млн в возрасте
 до 14 лет, 1,2 на 1 млн
 в возрасте 14-18 лет
- Медиана возраста 11-13 лет

www.euro.who.int/ENHIS

Филадельфийская хромосома



Клинические проявления



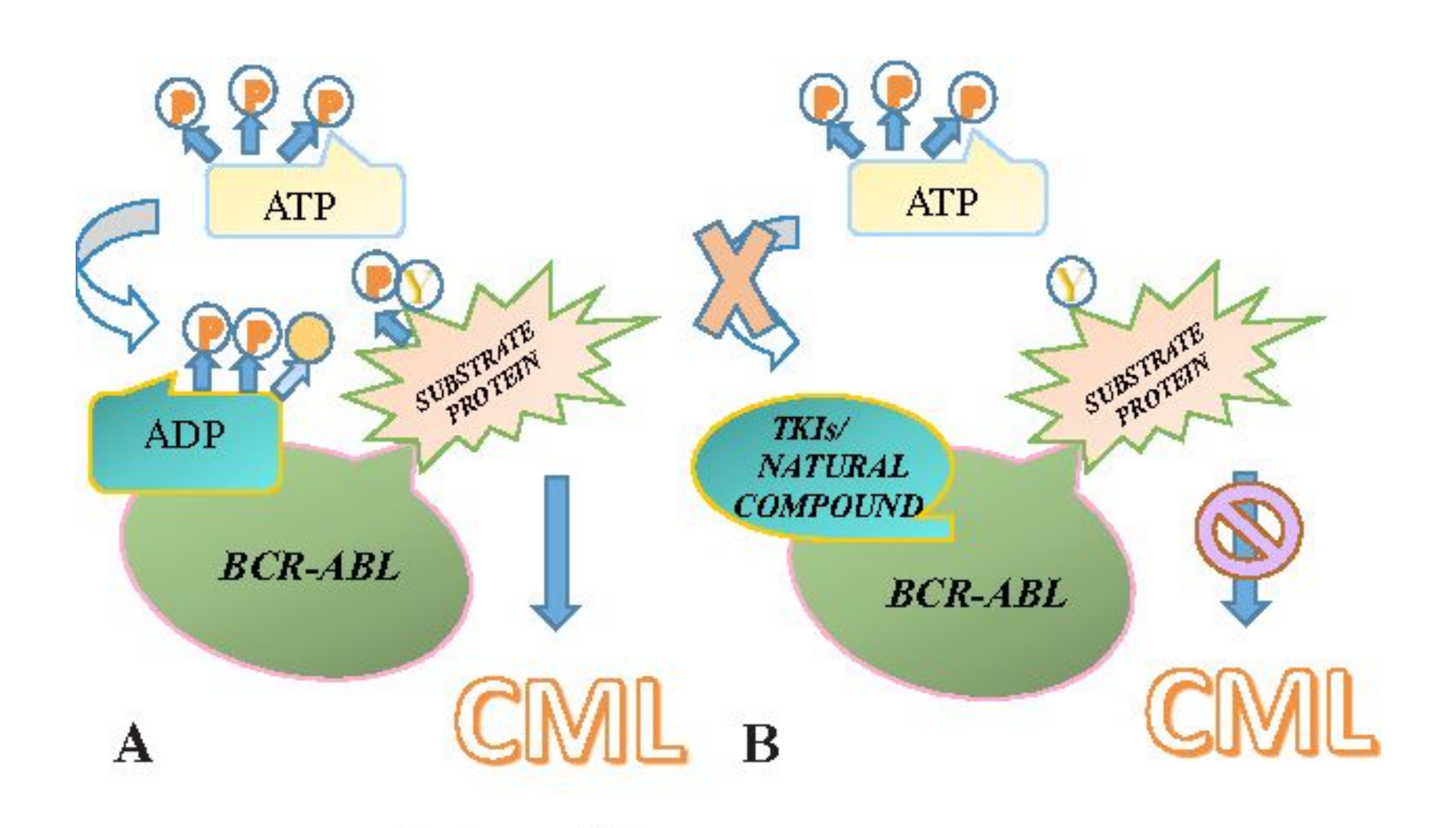
Фазы ХМЛ

ХМЛ-ХФ	ХМЛ-ФА	ХМЛ-БК
Диагноз устанавливают при наличии всех критериев	Диагноз устанавливают при наличии 1 или более критериев	Диагноз устанавливают при наличии 1 или более критериев
Обнаружение t (9;22) или химерный ген Bcr-Abl	10–19 % бластных клеток в периферической крови или костном мозге	Наличие в периферической крови и/или в костном мозге ≥ 20 % бластных клеток
Бласты в периферической крови или костном мозге < 10%	Количество базофилов в крови ≥ 20 %	Экстрамедуллярные инфильтраты бластных клеток
Отсутствие критериев ФА или БК	Персистирующая тромбоцитопения с числом тромбоцитов <100 x 10 ⁹ /л, не связанная с терапией или не отвечающая на терапию	Крупные скопления бластных клеток в костном мозге
	Увеличение размеров селезенки, лейкоцитоз	
	Клональные цитогенетические аномалии в Ph-позитивных клетках на фоне лечения	
	Ретикулиновый или коллагеновый фиброз в костном мозге	

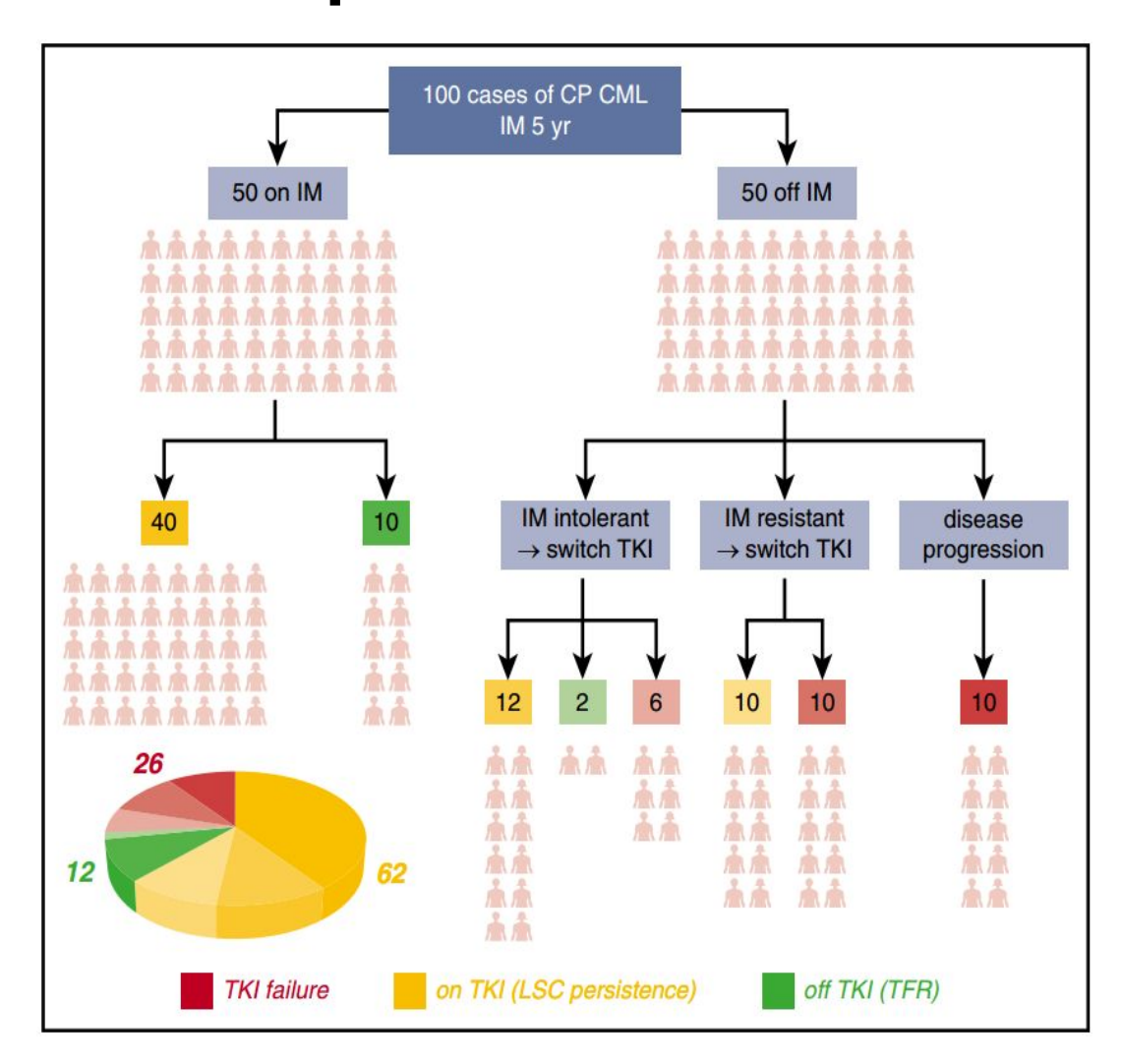
Особенности клинического течения у детей

- Более агрессивное клиническое течение
- Чаще диагностируется на «продвинутых» стадиях
- Более выраженная спленомегалия
- Более выраженный лейкрцитоз (средний 250 x 10⁹)

Ингибиторы тирозинкиназ



Прогноз пациентов с ХМЛ



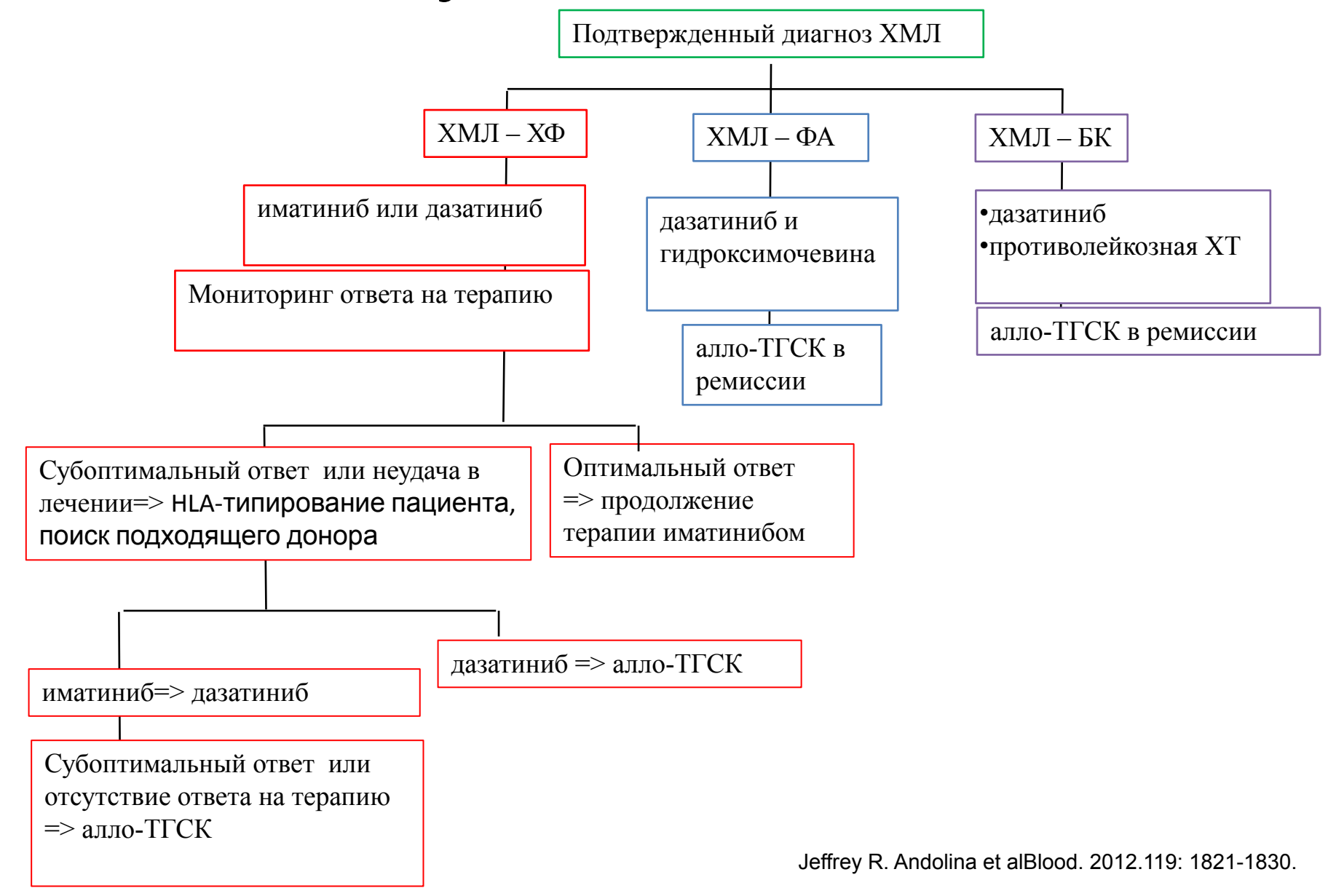
Пятилетнее течение заболевания в условной группе из 100 пациентов в ХФ ХМЛ: ответ на терапию иматинибом, возможность отмены терапии, возможные причины перехода на терапию ИТК второго поколения.

Как правило, через 5 лет с момента начала терапии терапию ИТК можно отменить у 12 пациентов из 100 (зеленый сегмент диаграммы).

Терапия окажется неэффективной у 26/100 пациентов (красный сегмент диаграммы) даже при переходе на следующие линии терапии

В большинстве случаев (62/100, оранжевый сегмент диаграммы) требуется длительная терапия ИТК в связи с персистированием ЛСК в костном мозге ХМЛ.

Тактика у пациентов с ХМЛ



Проблема долгосрочных побочных эффектов

Основная терапевтическая мишень ИТК -> белок p210^{BCR-ABL}

Постоянная ингибиция физиологически активных тирозинкиназ

РDGFR С- КІТ SRC VEGF

побочные

эффекты

эндокринопатии:

- □ Задержка роста, нарушение метаболизма и минерализации костной ткани;
- □ дисфункция щитовидной железы;
- нарушение полового созревания и фертильности

